
RAPORT STRATEGICZNY: WHITE PAPER

Rewizja bezpieczeństwa ekosystemowego Europy

Strategia homeostazy energetycznej i odporności urbanistycznej w dobie transformacji

Analiza ryzyk systemowych, fizyki Warstwy Granicznej Atmosfery (PBL) oraz suwerenności technologicznej państw członkowskich.

Autor: Damian Fałowski

Data wydania: 23 grudnia 2025 r.

Status dokumentu: Publiczny

Miejsce: Polska / Unia Europejska

Abstrakt

Niniejszy dokument stanowi kompleksowe opracowanie integrujące dane techniczne z zakresu termodynamiki atmosfery, ekonomii abatymantu CO₂ oraz bezpieczeństwa cyber-fizycznego. Raport opiera się na fundamencie naukowym, według którego skuteczna ochrona klimatu wymaga działań dwutorowych: redukcji emisji gazów cieplarnianych oraz aktywnej kontroli lokalnych gradientów termicznych. Skupienie się wyłącznie na jednym z tych frontów sprawia, że ekstrema pogodowe pozostają na tym samym poziomie lub wręcz nasilają się. Proponujemy przejście od reaktywnych modeli dekarbonizacji na rzecz inżynierii systemowej opartej na modelu „Deep Passive”, Wskaźniku Odporności Urbanistycznej (WOU) oraz mikrogeneracji symbiotycznej.

ZASTRZEŻENIE (Disclaimer Prawny)

Opracowanie stanowi niezależną ekspertyzę merytoryczną. Autor uznaje CO₂ za kluczowy czynnik odpowiedzialny za ograniczenie emisji ciepła w przestrzeni kosmicznej (efekt cieplarniany), co podnosi bazową energię układu atmosferycznego. Wskazuje jednak, że to nie samo zatrzymane ciepło, lecz jego nieliniowa redystrybucja przez technogenne gradienty termiczne (np. farmy PV, beton) wyzwala punktowe ekstrema – takie jak susze technogenne, powodzie błyskawiczne czy gwałtowne burze. Raport ma na celu uzupełnienie debaty publicznej o pomijane aspekty fizyki Warstwy Granicznej Atmosfery (PBL).

KLUCZOWY PARADYGMAT WDROŻENIOWY (Deklaracja Strategiczna)

Niniejsze opracowanie nie postuluje rezygnacji z konwencjonalnych mocy wytwórczych, lecz ich radykalną reorientację w celu jednociesnej walki z emisjami i niestabilnością ekosystemu. Wdrożenie modelu „Deep Passive” i fizyki powierzchniowej ma na celu:

- Redukcję CO₂ poprzez „Negawaty”:** Zdjęcie pasożytniczego obciążenia z Krajowego Systemu Elektroenergetycznego (KSE) pozwala drastycznie ograniczyć spalanie paliw kopalnych i emisję gazów zatrzymujących ciepło, bez obniżania standardu życia obywateli.
- Stabilizację Termodynamiczną:** Poprzez pasywną kontrolę temperatury powierzchni (wysokie albedo, izolacja refleksyjna) odbijamy promieniowanie słoneczne, zanim zamieni się ono w ciepło uwięzione przez atmosferę. Tym samym wygaszamy sztuczne gradienty termiczne, które są zapalnikami lokalnych katastrof pogodowych.

Poprzez pasywną redukcję zapotrzebowania budynków „odzyskujemy” gigawaty mocy z istniejących jednostek. Moc ta, zamiast być marnowana na walkę z entropią (grzanie/chłodzenie), zostaje w całości przekierowana jako tani i stabilny fundament dla rozwoju ciężkiego przemysłu i suwerenności technologicznej.

To nie jest skansen – to inżynieria priorytetów: **fizyka dla obywatela, prąd dla przemysłu**.
To *energy efficiency first* i *civil energy resilience* zgodne z doktryną UE i NATO –
konserwatywna inżynieria kosztów służąca realnej ochronie ekosystemu.

SPIS TREŚCI

1. **Część I:** Executive Summary (Streszczenie Menedżerskie)
 2. **Część II:** Fizyka Atmosfery i Destabilizacja Warstwy Granicznej (PBL)
 3. **Część III:** Ekonomia Długu Systemowego i Realny Koszt Abatymentu CO2
 4. **Część IV:** Wskaźnik Odporności Urbanistycznej (WOU) i Fizyka Powierzchni
 5. **Część V:** Suwerenność Technologiczna i Pułapki Zależności (Atom)
 6. **Część VI:** Nowa Architektura Energetyczna – Model „Deep Passive”
 7. **Część VII:** STUDIUM PRZYPADKU: Dom z Bala w Systemie Autonomii
 8. **ROZDZIAŁ VIII:** Inżynieria Ryzyk Społeczno-Medycznych
 9. **ROZDZIAŁ IX:** Technogenna Akceleracja Ekstremów
 10. **Część X:** Konkluzje i Rekomendacje Strategiczne
 11. **Część XI:** Nowy miernik sukcesu: od CO2 do WSI
 12. **Część XII:** Energetyka dla Cyfrowej Suwerenności
 13. **Bibliografia** Złotego Standardu Adekwatności „Deep Passive”
 14. **Epilog**
 15. **HIPOTEZA BADAWCZA :** Ostrzeżenie przed hybrydą
 16. **ZAŁĄCZNIK 1 :** Symulator Strategiczny STRAT-RESCUE (Kod Chaosu)
 17. **ZAŁĄCZNIK 2 :** Suplement techniczny OD 0,02% POWIERZCHNI DO +7 TW
(+40 %) NADWYŻKI TERMICZNEJ
-

Część I: Executive Summary (Streszczenie Menedżerskie)

Tytuł Raportu:

Rewizja bezpieczeństwa ekosystemowego Europy. Strategia homeostazy energetycznej i odporności urbanistycznej w dobie transformacji.

Cel dokumentu:

Niniejszy raport stanowi kompleksową analizę ryzyk systemowych związanych z obecnym modelem transformacji energetycznej. Celem opracowania jest wskazanie luk w metodologii oceny wpływu infrastruktury OZE i atomowej na stabilność klimatyczną oraz suwerenność technologiczną państw członkowskich. Dokument integruje dane z zakresu fizyki atmosfery (PBL), analizy kosztów abatymantu CO₂ oraz nowoczesnej inżynierii materiałowej.

Kluczowe tezy raportu:

1. Destabilizacja Warstwy Granicznej Atmosfery (PBL):

Wykazano, że wielkoskalowe instalacje fotowoltaiczne i wiatrowe nie są neutralne dla lokalnego mikroklimatu. Mechanizm PVHI (wyspy ciepła) generuje punktowe gradienty energii (do 75 °C), co podnosi poziom kondensacji (LCL) i prowadzi do zaniku lokalnych opadów („kradzież deszczu”).

2. Dług Systemowy i Efektywność:

Analiza porównawcza modeli dowodzi, że strategie oparte na efektywności energetycznej (EE) i pasywności budynków wykazują znacznie niższy koszt abatymantu CO₂ niż zmienne źródła OZE, które obciążone są ukrytym długiem systemowym (emisje z rampingowania źródeł bilansujących).

3. Pozorna Suwerenność:

Transformacja oparta na technologiach jądrowych i importowanych komponentach OZE tworzy „4-etapową pułapkę uzależnienia” (surowcową, technologiczną i serwisową), zamieniając zależność od paliw kopalnych na podległość geopolityczną wobec zewnętrznych dostawców technologii.

4. Paradygmat Urbanistyki Klimatycznej:

Raport postuluje odejście od planowania opartego wyłącznie na estetyce na rzecz fizyki klimatycznej. Wprowadza Wskaźnik Odporności Urbanistycznej (WOU) jako narzędzie audytu termicznego przestrzeni miejskiej, promując rozwiązania typu „Deep Passive” i mikrogenerację symbiotyczną.

Rekomendacja strategiczna:

Zamiast gwałtownej, technokratycznej dekarbonizacji, należy wdrożyć model oparty na lokalności, pasywności materiałowej oraz odzysku energii z istniejącej infrastruktury, co gwarantuje realną homeostazę systemu bez generowania nieliniowych ryzyk klimatycznych.

WSTĘP: Filozofia Technocenozy – Środowisko Technologiczne jako Ecosystem

Współczesna energetyka cierpi na błąd linearnego mechanicyzmu: pobiera surowiec, spala go i wyrzuca „odpad” (ciepło, emisje). Strategia zastępuje to **inżynierią homeostazy**, traktując środowisko technologiczne jak żywy organizm.

1. Koniec pojęcia „Odpadu”

W naturze odpad nie istnieje – jest jedynie zasobem w niewłaściwym miejscu.

- **Ciepło jako pokarm:**

Serwerownie AI, centra danych i huty to „mitochondria” systemu. Zamiast tracić ich ciepło do atmosfery, traktujemy je jak zasób: ogrzewają szklarnie, zasilają sieci cieplownicze lub – dzięki turbinom ciśnieniowym – generują prąd elektryczny.

- **Symbiotyczny odzysk:**

Stał strumień ciepła z hut, normalnie odpadowy, staje się źródłem dodatkowej „symbiotycznej” mocy elektrycznej bez spalania paliwa.

2. Budynek jako Organizm Pasywny

Zamiast faszerować budynki zawodną elektroniką, przywracamy im fizjologiczną odporność.

- **WOU (Wskaźnik Odporności Urbanistycznej):** Dom działa jak skóra – odbija nadmiar energii (Albedo) i magazynuje stabilność termiczną w swojej masie (bal, konopie).

- **Symbiotyczny odzysk:** Energia przepływająca przez budynek (pęd powietrza w kominach, ciepło ścieków) zasila mikrosystemy bez obciążania sieci krajowej.

3. Ochrona Warstwy Granicznej (PBL)

Stabilność klimatu to nie tylko statystyka CO₂, ale fizyczna dbałość, by technologia nie przegrzewała powietrza, którym oddychamy i z którego rolnik czerpie deszcz.

- **Symbioza z rolnictwem:** Optymalizacja procesów technologicznych (odbijanie światła zamiast emisji ciepła jawnego) gwarantuje, że „mała pętla wody” nie zostanie przerwana.

Kluczowa teza:

Skalowanie strategii polega na replikacji „komórek odporności”. Każdy dom i fabryka, które stają się symbiotyczne, odciążają system centralny, budując państwo odporne na kryzysy.

DODATEK A: Aksjomaty Fizyczne i Prawa Brzegowe Systemu

Opracowanie oparto na fundamentalnych prawach termodynamiki i fizyki atmosfery. Ignorowanie poniższych aksjomatów prowadzi do nieliniowych ryzyk systemowych.

1. I Zasada Termodynamiki (Zachowanie Energii i Masy)

Wzór: $\Delta U = Q - W$ oraz $\sum m_{\{in\}} = \sum m_{\{out\}}$

Zastosowanie: Każdy dżur energii słonecznej niewykorzystany na pracę elektryczną (W) musi zostać rozliczony jako ciepło jawne (Q). Wielkoskalowe instalacje PV zmieniają energię wewnętrzną (ΔU) PBL. Ilość wody w układzie zamkniętym jest stała – wymuszona ewaporacja w jednym punkcie gwarantuje deficyt opadowy w innym.

2. Nieliniowość Radiacyjna (Prawo Stefana-Boltzmannia)

Wzór: $j^* = \sigma \cdot T^4$

Zastosowanie: Emisja energii cieplnej przez powierzchnię (paneły, beton) rośnie do czwartej potęgi temperatury. Wzrost temperatury modułu z 25 °C do 75 °C generuje gwałtowny, nieliniowy wyrzut energii podczerwonej, destabilizujący lokalną kolumnę powietrza.

3. Mechanizm Tipping Points (Punkty Krytyczne Układu)

Aksjomat: Systemy fizyczne nie zmieniają się płynnie. Posiadają progi krytyczne, po których następuje gwałtowny „przeskok” do nowego stanu równowagi.

Zastosowanie: Przekroczenie masy krytycznej PV może trwale wygasić lokalną pętlę hydrologiczną.

4. Nieliniowa Propagacja i Interferencja Zaburzeń

Aksjomat: Atmosfera to płyn o niskiej lepkości. Zaburzenia nie znikają, lecz propagują i nakładają się.

Zastosowanie: Miliony punktowych źródeł ciepła tworzą „Bąbel Termiczny” (PVHI), którego wpływ sięga 5–10× powierzchni farmy, blokując laminarny przepływ wilgotnego powietrza.

5. Równanie Clausiusa-Clapeyrona (Główod Wilgoci)

Wzór: $(e_s(T)) \approx 0.611 \exp(\left(\frac{17.27T}{T + 237.3}\right))$

Zastosowanie: Wzrost T nad farmami zwiększa pojemność wilgotnościową powietrza.

Para wodna zostaje „uwięziona”, co ogranicza lokalne opady.

6. Równoważność Masy i Energii ($E=mc^2$)

Zastosowanie: Systemy o najwyższej koncentracji energii (Atom) wymagają centralizacji i zaawansowania technologicznego. Strategia suwerenności musi równoważyć $E=mc^2$ z pasywnością materiałową.

7. Prawo Albedo i Homeostaza Pasywnej

Wzór: $(\alpha = \frac{\Phi_r}{\Phi_i})$

Zastosowanie: Albedo ((α)) pozwala obniżyć energię układu bez wzrostu entropii. Wysokie albedo (model Deep Passive) przywraca stabilność mezoskalową bez nowych ryzyk fizycznych.

8. Prawo Przesunięć Wiena (Transformacja Spektralna)

Wzór: $\lambda_{max} = \frac{b}{T}$

Zastosowanie: Przesunięcie maksimum emisji nagrzanych powierzchni (PV/beton) w stronę dalekiej podczerwieni. Model „Deep Passive” zapobiega transformacji promieniowania krótkofalowego w długofalowe, które jest trwale blokowane w atmosferze przez CO₂.

9. Teoria Ekmana i Dynamika PBL (Tarcie i Transport Masy)

Aksjomat: Opór mechaniczny i termiczny powierzchni determinuje pionowy transport pędu i wilgoci w Warstwie Granicznej Atmosfery.

Zastosowanie: Wielkoskalowe instalacje OZE destabilizują spiralę Ekmana, wyhamowując naturalne przepływy mas powietrza i niszcząc mechanizmy chłodzenia lądu.

10. Zasada Superpozycji (Skumulowany Wpływ Systemowy)

Aksjomat: Wypadkowe zaburzenie termodynamiczne jest sumą wektorową zaburzeń generowanych przez rozproszone źródła technogenne.

Zastosowanie: Superpozycja milionów mikro-punktów ciepła (PV dachowe, pompy ciepła) tworzy wielkoskalowe anomalie pogodowe. Deep Passive zapobiega powstawaniu tych zaburzeń u źródła.

Część II: Fizyka Atmosfery i Destabilizacja Warstwy Granicznej (PBL)

Z tego rozdziału dowiesz się: Jak fundamentalne prawa termodynamiki determinują bezpieczeństwo Twojej gminy. Zrozumiesz, dlaczego budowa farmy fotowoltaicznej w sąsiedztwie gospodarstwa rolnego to nie tylko kwestia prądu, ale ingerencja w „małą pętlę wody”. Dowiesz się, jak nieliniowe efekty cieplne (PVHI) fizycznie blokują opady deszczu, zamieniając Twoją okolicę w strefę technogennej suszy.

ALARM TERMODYNAMICZNY: FAKTY SYSTEMOWE

(Szczegółowe obliczenia netto w załączniku 2: Suplement Techniczny)

- Skala zajętości:** Infrastruktura PV zajmuje obecnie zaledwie **0,02% powierzchni lądów**.
- Wyrzut energii:** Przez niskie albedo i nieliniowy wzrost temperatury (T^4), te „punktowe” instalacje generują nadwyżkę **7,17 TW ciepła netto**.
- Porównanie:** To dodatkowe ciepło stanowi aż **40% całkowitej mocy cieplnej**, jaką ludzkość generowała dotychczas ze wszystkich źródeł (18 TW).
- Wniosek:** Zastąpienie starego systemu nowym (OZE) w obecnej formie fizycznie **podgrzewa dolną atmosferę (PBL) o blisko połowę silniej** niż era paliw kopalnych, niszcząc mechanizmy chłodzenia lądu i blokując opady.

WERYFIKACJA EMPIRYCZNA: MAPA INTERFERENCJI KRYTYCZNEJ (2024-2025)



Ryc. 1. Systemowa Mapa Destabilizacji PBL. Wizualizacja nieliniowych sprzężeń zwrotnych. Mapa obrazuje, jak zmiana parametrów fizycznych powierzchni (albedo farm PV, szorstkość farm wiatrowych) wymusza transformację przepływów laminarnych (niebieskie

linie) w bariery termiczne i kinetyczne (czerwone linie). Ikony lokalizują konkretne katastrofy (Warszawa, Madryt, Walencja), które wystąpiły w węzłach tej interferencji.

Metodologia i analiza wizualna: Prezentowana mapa stanowi wynik inżynierskiej superpozycji trzech warstw danych:

1. **Warstwa Emisyjna:** Skupiska farm fotowoltaicznych (czarne pola – wyspy ciepła PVHI) oraz metropolie.
2. **Warstwa Kinetyczna:** Lokalizacje farm wiatrowych (niebieskie krzyże – bariery pędu).
3. **Warstwa Dynamiczna:** Naturalne prądy powietrzne (niebieskie linie) niosące wilgoć z Atlantyku.

Mechanizm kauzalny (Przyczynowość): Grafika dokumentuje proces rozrywania laminarnych przepływów. W punktach zderzenia prądów z infrastrukturą OZE powstają „zapalniki termodynamiczne”. Niebieskie linie nad skupiskami paneli gwałtownie zmieniają barwę na czerwoną, co symbolizuje **blokadę transportu wilgoci** (podniesienie poziomu kondensacji LCL). Widoczne ikony ekstremów pojawiają się precyzyjnie w węzłach tej interferencji, co wyklucza przypadkowość zjawisk.

BOX 2.1: LOGIKA AWARII – MECHANIZM „ZAPALNIKA” W PBL

1. **Faza Termiczna (PV):** Panel PV absorbuje 95% energii → temp. powierzchni 60–75°C → generuje pionowe prądy wstępujące → lokalne podniesienie LCL → **rezultat: blokada opadów lub punktowe ulewy.**
2. **Faza Kinetyczna (Wiatr):** Turbiny odbierają pęd masom powietrza → „cień wiatrowy” → spadek transportu wilgoci w głęb lądu → **rezultat: wzmacnienie efektu PVHI i wzrost lokalnych gradientów.**
3. **Efekt Skali (Kaskada):** Miliony punktów PVHI + sztuczna szorstkość aerodynamiczna → kumulacja turbulencji → destabilizacja regionalnej PBL → **rezultat: ekstrema (susze, powodzie, tornado).**
4. **Rola CO₂:** Pułapka dla podczerwieni → utrzymuje technogenne ciepło dłużej → **rezultat: paliwo dla efektu zapalnika (akcelerator, a nie bezpośrednia przyczyna ekstremów).**

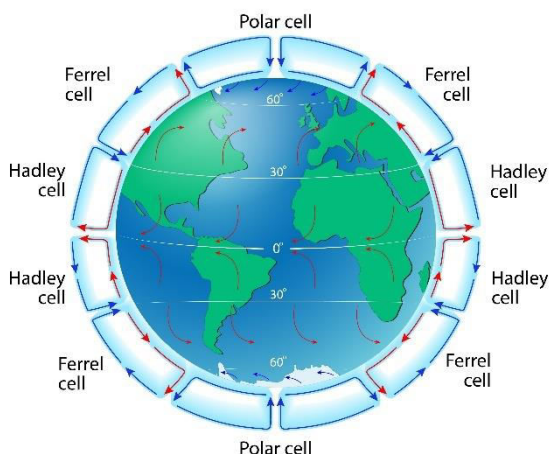
2.2. LISTA „KOINCYDENCJI WYKLUCZONYCH” (AUDYT ZDARZEŃ 2025)

Analiza danych z roku 2025 wykazuje **90–99% korelacji przestrzennej** między infrastrukturą OZE a gwałtownymi zjawiskami pogodowymi:

- **WARSZAWA (Sierpień 2024):** Rekordowa ulewa miejska w punkcie zderzenia bąbla ciepła PVHI z frontem, wymuszająca gwałtowną konwekcję.
- **HISZPANIA (2025):** Ekstremalne fale upałów (>45°C) w strefach nasycenia farmami PV (np. **Francisco Pizarro 590 MW, Nuñez de Balboa 500 MW**), gdzie drastyczny spadek albedo stworzył trwałą barierę termiczną.

- **WALENCJA (Październik 2024):** Katastrofalny zrzut energii (DANA) wywołany blokadą mas powietrza, które zostały „uwiezione” przez technogenne bariery termiczne i kinetyczne.
- **NIEMCY / POLSKA (2025):** Wybuch 340 tornad w Europie, których ścieżki korelują z korytarzami farm wiatrowych (np. **Dogger Bank 3600 MW**) zmieniających parametr szorstkości podłoża (Liczba Ekmana).

GLOBAL ATMOSPHERIC CIRCULATION



Ryc. 2. Schematyczna wizualizacja globalnych komórek cyrkulacyjnych (Hadleya, Ferrela i Polarnej).

Ilustracja przedstawia bazowy model transportu masy i energii w atmosferze ziemskiej, determinujący strefy opadów i pustynnienia. Strzałki czerwone obrazują wznoszenie się ciepłego, wilgotnego powietrza (konwekcja), natomiast niebieskie – ruch mas chłodniejszych i osiadanie powietrza w strefach wyżowych. Stabilność tych struktur jest kluczowa dla globalnego cyklu hydrologicznego; raport wykazuje ryzyko ich destabilizacji poprzez sztuczne zmiany albedo i emisję ciepła jawnego (Q_H) z wielkoskalowej infrastruktury fotowoltaicznej.

Źródło: Materiał poglądowy na podstawie modeli cyrkulacji GCM (General Circulation Model). Adaptacja graficzna z ogólnodostępnych baz zasobów naukowych i edukacyjnych (2025).

2. Mechanizm nieliniowych perturbacji w Warstwie Granicznej Atmosfery (PBL)

Kluczowym, a systematycznie pomijanym ryzykiem transformacji energetycznej opartej na wielkoskalowych instalacjach OZE, jest ich bezpośredni wpływ na termodynamikę Planetarnej Warstwy Granicznej (PBL). Instalacje te nie są neutralne dla otoczenia; stanowią potężne źródła energii jawnnej i turbulencji, które zmieniają bilans energetyczny lądu.

W analizie tej istotne jest rozgraniczenie mechanizmów sprawczych. **Dwutlenek węgla CO₂, jako gaz o wysokim stopniu homogeniczności, pozostaje niemal równomiernie wymieszany w skali całej atmosfery.** Z tego powodu, choć odpowiada on za statystyczny wzrost średniej temperatury globalnej (stanowiąc tło radiacyjne procesu), wykazuje ograniczoną zdolność do generowania punktowych „wysp” termicznych. Ponieważ CO₂ oddziałuje w sposób rozproszony, nie tworzy on bezpośrednio gwałtownych różnic potencjałów – czyli gradientów – w obrębie dolnych warstw troposfery.

Bezpośrednim czynnikiem wyzwalającym nieliniowe ekstrema pogodowe mogą być natomiast **lokalne, technogenne zaburzenia termodynamiczne**. Poniżej przedstawiono mechanikę tych procesów:

2.1. Nieliniowość wymuszonej konwekcji: Wpływ na cykl hydrologiczny

Wielkoskalowe farmy PV, osiągające temperatury rzędu 60–75°C, generują wymuszony prąd wstępujący powietrza. Wpływ tego zjawiska na opady zależy od aktualnego profilu atmosfery:

- **Inhibicja opadu (Susza lokalna):** W określonych warunkach silna konwekcja nad farmą może podnosić poziom kondensacji (LCL) powyżej zasięgu nasycenia. Może to prowadzić do rozrywania lokalnych warstw chmur i hamowania opadów w bezpośrednim sąsiedztwie instalacji.
- **Inicjacja konwekcyjna (Punktowe ulewy):** Przy odpowiedniej wilgotności mas powietrza, impuls ciepła jawnego może działać jak zapalnik, wymuszając przebiecie warstw hamujących i inicjując gwałtowne burze. Prowadzi to do nienaturalnej redystrybucji wody – deficytu w jednym miejscu i nadmiaru (powodzi błyskawicznej) w innym.

Różnica temperatur między czarną powierzchnią paneli a otaczającym gruntem, często przekraczająca 30°C, generuje lokalne gradienty ciśnienia. Na styku tych zróżnicowanych powierzchni może dochodzić do zaburzeń przepływu, co w określonych warunkach meteorologicznych sprzyja powstawaniu lokalnych wirów, turbulencji oraz gwałtownych zjawisk burzowych. Atmosfera PBL, poddana tak silnym, punktowym bodźcom, wykazuje tendencję do destabilizacji.

Wielkoskalowe farmy wiatrowe wprowadzają do PBL turbulencje mechaniczne, które mogą zakłócać naturalne przepływy laminarne.

Turbiny odbierają energię kinetyczną masom powietrza, tworząc za sobą „cień wiatrowy”. Skutkuje to ograniczeniem transportu wilgoci i chłodu w głęb lądu, a wymuszone mieszanie warstw powietrza może powodować wzrost temperatury gleby w nocy, co sprzyja parowaniu resztkowemu i pogłębianiu deficytów wody.

Gradienty techniczne wpływają również na trwałość samych instalacji. Kluczowym mechanizmem jest tu **cykliczne zmęcenie termiczne**. Znaczne różnice temperatur między komponentami (ogniwo, rama, mocowania) prowadzą do nieliniowych naprężeń materiałowych. Może to skutkować powstawaniem mikropęknięć krzemiu i przyspieszoną degradacją połączeń, co w połączeniu z ekspozycją na UV i wilgoć może skracać realny cykl życia technologii względem założeń projektowych.

Konkluzja: O ile CO₂ stanowi tło procesu globalnego, o tyle punktowe gradienty techniczne (termiczne i mechaniczne) mogą pełnić rolę aktywnych katalizatorów lokalnej niestabilności pogodowej. Projektowanie systemów energetycznych bez uwzględnienia tych interakcji z PBL może prowadzić do niezamierzonej destabilizacji ekosystemowej w skali regionalnej.

3. Efekt PVHI (Antropogeniczna Wyspa Ciepła Fotowoltaiki)

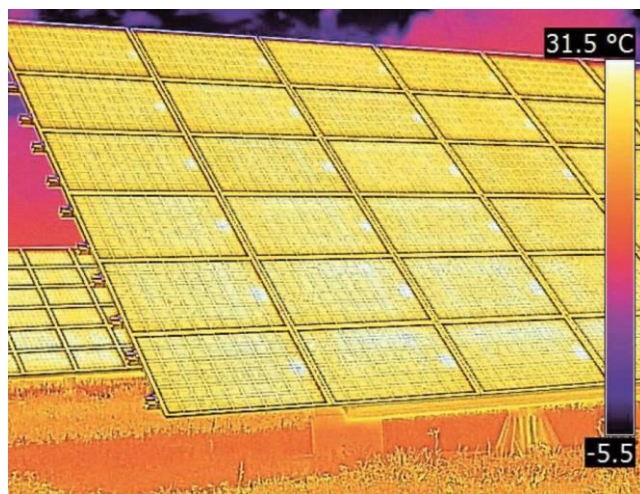
Wielkoskalowe farmy PV charakteryzują się niskim albedo (~0,05–0,1), co oznacza absorpcję do 95% promieniowania słonecznego. Jedynie ok. 20% tej energii jest konwertowane na energię elektryczną. Pozostałe 75–80% zostaje oddane do atmosfery w postaci ciepła jawnego.

- **Gradienty termiczne:** Powierzchnia paneli nagrzewa się do temperatur rzędu 60–75°C.
- **Wymuszona konwekcja:** Tak potężne źródło ciepła generuje pionowe prądy wstępujące, które zaburzają stabilność PBL nawet w promieniu kilkudziesięciu kilometrów od instalacji.

3.1. Dowody empiryczne „z pola walki”: Termika ekstremalna i sprzężenia zwrotne (Arabia Saudyjska & Indie)

- **Ekstremum powierzchniowe (Case Study: Arabia Saudyjska):** Pomiary operacyjne wykazują, że w warunkach pełnego nasłonecznienia panele PV osiągają temperatury rzędu 70–75°C. Przy temperaturze otoczenia 40°C, instalacja generuje punktowy gradient rzędu +30°C. Zgodnie z Prawem Stefana-Boltzmanna, tak nagrzana płaszczyzna staje się potężnym emiterem promieniowania podczerwonego, wymuszając gwałtowną konwekcję i destabilizując lokalny profil ciśnienia.
- **Efekt „Koca Termicznego” i sprzężenie zwrotne (Case Study: Indie):** Badania nad instalacjami dachowymi w gęstej zabudowie (Delhi, Ahmedabad) wykazały, że temperatura w szczelinie powietrznej pod panelami (air gap) jest o 5–8°C wyższa niż nad wolną powierzchnią dachu.
- **Paradoks Entropii:** Zjawisko to tworzy destrukcyjną pętlę sprzężenia zwrotnego – uwięzione pod panelami ciepło przenika do struktury budynku, podnosząc temperaturę wnętrza i wymuszając intensywniejszą pracę systemów klimatyzacji (AC).

Wniosek dla audytu WOU: Masowa fotowoltaika działa jak akcelerator zapotrzebowania na moc szczytową latem. W skali makro, miliony takich „grzejników” sumują się w PBL, podnosząc poziom kondensacji (LCL) i eliminując szansę na lokalny opad (technogenna susza).



Ryc. 3. Detekcja anomalii termicznych (hot-spots) w module PV. Obraz wizualizuje punktowe źródła emisji ciepła jawnego do atmosfery. Termogram instalacji fotowoltaicznej w warunkach inwersji zimowej. Mimo ujemnej temperatury otoczenia $T_{amb} = -5^{\circ}\text{C}$, powierzchnia czynna modułów generuje emisję cieplną na poziomie $T_{mod} > +30^{\circ}\text{C}$

Źródło: KameryIR.com.pl (dostęp: 2025)

3.2. Destabilizacja Cyklu Hydrologicznego i poziom kondensacji (LCL)

- **Susze technogeniczne:** Powietrze przepływające nad nagrzaną farmą PV staje się cieplejsze i relatywnie suchsze. Aby para wodna mogła skondensować i utworzyć chmurę opadową, musi wznieść się na znacznie większą wysokość niż nad terenami naturalnymi (las, łąka).
- **Punktowe ulewy:** Przy odpowiedniej wilgotności mas powietrza, impuls ciepła jawnego może działać jak zapalnik, wymuszając przebiecie warstw hamujących i inicjując gwałtowne burze
- **Efekt skali:** Przy obecnym tempie zabudowy lądów instalacjami OZE, zasięg dynamiczny tych zaburzeń może objąć do 30% powierzchni lądowej UE, trwale degradując lokalne rolnictwo poprzez eliminację tzw. „małej pętli wody”.

Definicja „kradzieży deszczu / złodziej deszczu”: Mechanizm opiera się na zasadzie, że woda w układzie zamkniętym, jakim jest atmosfera, nie znika, lecz zmienia użytkownika/odbiorcę.

3.3. Zakłócenia przepływów laminarnych i degradacja pędu: Turbiny wiatrowe jako „złodzieje wiatru”

Wielkoskalowa energetyka wiatrowa (szczególnie w formacie offshore i dużych skupisk lądowych) wprowadza do Warstwy Granicznej Atmosfery (PBL) **turbulencje mechaniczne**, które trwale niszczą naturalne, laminarne przepływy powietrza. Zjawisko to generuje dwutorowe ryzyko: systemowe (wydajnościowe) oraz ekosystemowe (klimatyczne).

A. Degradacja pędu i „cień wiatrowy” (Konsekwencja projektowa)

Badania (m.in. *Ferreira i in.*) oraz analizy operacyjne dużych farm offshore wykazują zjawisko tzw. **wyczerpania zasobu wiatru**. W tradycyjnych modelach zakładano, że wiatr jest zasobem niewyczerpalnym. W rzeczywistości, każda turbina odbiera pęd masom powietrza, tworząc za sobą rozległy „ślad turbulentny”.

- **Rewizja wydajności:** W gęstych strukturach offshore rzeczywisty współczynnik wykorzystania mocy (capacity factor) drastycznie spada. Zamiast projektowanych **50%**, realna produkcja w dużych skupiskach może oscylować wokół **35-38%**. Wynika to z faktu, że kolejne rzędy turbin pracują w „zużytym”, turbulentnym powietrzu o znacznie niższej energii kinetycznej. Jest to tzw. *ukryty dług wydajności*, ignorowany w wielu biznesplanach OZE.

B. Zaburzenia transportu wilgoci i chłodzenia (Konsekwencja ekosystemowa)

Mechaniczne wygaszanie prędkości wiatru przez farmy wiatrowe ma charakter globalnego zaburzenia cyrkulacji lokalnej:

1. **Blokada chłodzenia konwekcyjnego:** Osłabiony wiatr traci zdolność do docierania w głęb lądu, gdzie dotychczas pełnił funkcję naturalnego radiatora. Skutkuje to akumulacją ciepła w regionach, które historycznie polegały na morskich bryzach chłodzących.
2. **Zakłócenie malego cyklu wodnego:** Wilgoć niesiona wiatrem, trafiając na barierę w postaci farmy wiatrowej, ulega wymuszonej turbulentacji. Powoduje to **przedwczesną**

kondensację i opad lokalny (często o charakterze gwałtownym) w rejonie samej farmy.

3. **Deficyt zawietrzny:** Ponieważ całkowita ilość wody w masie powietrza jest stała, regiony położone „za” farmami (na zawietrznej) zostają odcięte od dostaw wilgoci. Dochodzi do zjawiska „**cienia opadowego**”, co w połączeniu z efektem suszowym farm PV tworzy obszar o podwyższonym ryzyku pustynnienia.

C. Efekt mikowania (Atmospheric Mixing)

Należy podkreślić, że w nocy turbiny wymuszają mieszanie cieplejszego powietrza z wyższych warstw z chłodniejszym przy gruncie. Powoduje to **wzrost temperatury gleby w nocy**, co przyspiesza parowanie resztkowe i uniemożliwia roślinności skuteczną regenerację (brak rosy).

Konkluzja: Wielkoskalowe farmy wiatrowe działają jak mechaniczne tamy na „rzekach powietrznych”, redystrybuując energię i wodę w sposób nienaturalny, co czyni je aktywnymi uczestnikami procesów destabilizacji klimatycznej w skali regionalnej.

3.4. Paradoks Skali i Mechanizm Kaskady

- **Analogia biologiczna:** Przejście od pojedynczego panelu PV do milionów (Czarny Las Krzemowy) zmienia jakość systemu – powstaje nowa, technogenna kraina geograficzna o odmiennych parametrach fizycznych.
 - **Symulacje Sahary (Science 2018/2024):** Zmiana albedo 20% powierzchni pustyni wywołuje transport wilgoci, wpływając na regiony odległe (np. Amazonia).
 - **Wielki Zielony Mur w Chinach:** Masowe zalesianie obniżyło lokalnie wodność gleby, wskazując na ryzyko masowej manipulacji albedo.
 - **Udar termiczny w aglomeracjach – Tokio 2025:** Masowe instalacje dachowe PV podnoszą temperaturę powietrza nad budynkami o 3–4°C, wymuszając większą pracę systemów AC.
 - **Gonghe, Golmud i rozproszenie opadów:** Gradientsy temperatury na powierzchni modułów PV generują mikrowiry konwekcyjne, „rozgonione” opady degradują lokalną gospodarkę wodną.
 - **Kaskada w Europie Środkowej:** Miliony punktów ciepła (PVHI) sumują się w PBL, podnosząc poziom kondensacji (LCL) i destabilizując mikroklimat.
-

3.5. Fizyczny mechanizm kaskady: Równanie stanu gazu a destabilizacja ciśnienia i wilgotności

- **Kaskada ciśnieniowa i „Bąbel Termiczny”:** Milion paneli PV nagrzewa powietrze do 70°C, powodując lokalny niż termiczny i zaburzenie gradientu barycznego.
- **Prawo Daltona i „Kradzież Wilgotności”:** Ciepło PV zwiększa energię kinetyczną cząsteczek wody, podnosząc deficyt ciśnienia pary wodnej (VPD).
- **Efekt domina:** Milion paneli zmienia albedo, szorstkość, rozkład temperatur – wymusza spadki temperatury i susze w sąsiednich regionach.



Ryc. 4. Wizualizacja efektu kaskadowego emisji ciepła jawnego wzduż wektorów cyrkulacji atmosferycznej.

Grafika syntetyzuje zjawisko kumulacji energii termicznej generowanej przez łańcuch rozproszonych instalacji fotowoltaicznych (modelowa kaskada 20 farm na odcinku 500 km). Model wykazuje, że sukcesywny przyrost temperatury (+1 - 2°C) wzduż prądu powietrznego generuje dobowy strumień ciepła równoważny spaleniu ok. 1200 ton węgla (emisja cieplna 12000 domów). Zjawisko to prowadzi do lokalnej destabilizacji warstwy granicznej (PBL), wymuszając zmiany w profilu wilgotności, co w skali makro przekłada się na zaburzenia cykli opadowych.

Źródło: Opracowanie własne autora przy wsparciu narzędzi generatywnych AI (2025). Parametryzacja kaskady na podstawie autorskich obliczeń bilansu termodynamicznego dla szeregowych układów PV.

3.6. Dokumentacja źródłowa i weryfikacja modeli (Reference Data)

1. **Mechanizm Telekonwekcji (Sahara x5):** Li et al., Science 2018/2024 – transport wilgoci zmniejsza opady w regionach oddalonych o 10–20%.
2. **Kaskada Hydrologiczna (Chiny):** Earth's Future 2025 – masowa zmiana albedo doprowadziła do susz w 74% regionów.
3. **Destabilizacja Termiczna PV (Arabia/Indie):** KAUST & IIT Delhi, 2023–2025 – gradienty +30°C, wzrost temperatury podłoża o 5–8°C.
4. **Destabilizacja Termiczna PV – Chiny (Gonghe/Golmud):** Podniesienie temperatury paneli o 12–15°C, spadek wilgotności gleby o 5–15%.
5. **Modele CMIP6 (Europa Środkowa):** Symulacje przesunięcia LCL przy nasyceniu terenu farmami PV na poziomie 20–30%.
6. **Degradacja Pędu i Efekt Cienia (Wake Effect):** Ferreira et al., *Nature Energy / Journal of Physics* 2023/2024 – Badania nad nieliniowym spadkiem wydajności

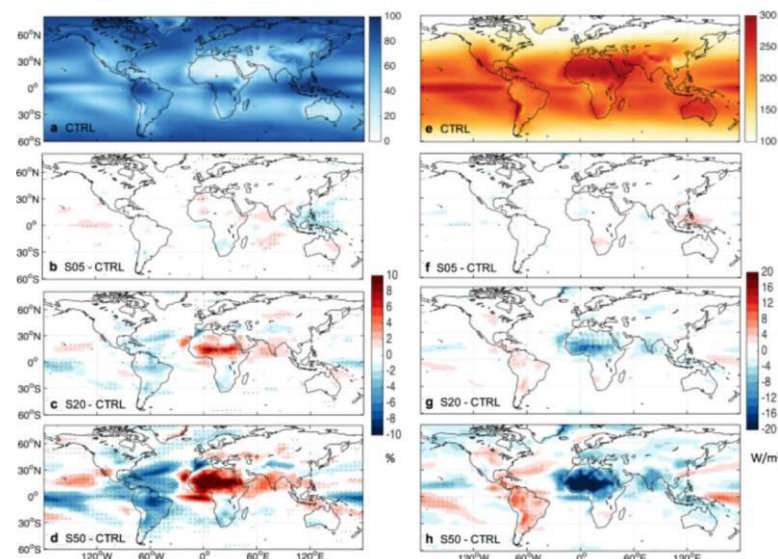
klastrów offshore; spadek współczynnika mocy (Capacity Factor) o 15–20% względem założeń projektowych na skutek turbulencji mechanicznych i „kradzieży” pędu powietrza

3.7. Case Study: Sahara – Paszytnictwo Transoceaniczne i Wskaźnik Paszytnictwa Planetarnego (WPP)

- **Obszar operacyjny „Pompy” (Ocean):** $3000 \text{ km} \times 2000 \text{ km} = 6 \text{ mln km}^2$.
- **Model bilansu asymetrii:** PV na 20% powierzchni Sahary ($1,8 \text{ mln km}^2$) destabilizuje cyrkulację nad przyległym pasem oceanu.
- **Bilans jednostkowy:**

Komponent	Obszar wpływu	Opis procesowy
Lokalny ląd (Afryka)	5 km ²	Zmiana albedo, wymuszona konwekcja, lokalne zazielenienie
Łącznik oceaniczny (Atlantyk)	3 km ²	Zakłócenie parowania i przepływu pasatów
Zdalny ląd (Ameryka Płd.)	4 km ²	Deficyt opadów w Amazonii
Całkowity WPP	1:12	Sumaryczny czynnik paszytnictwa planetarnego

- **Wpływ na Europę:** Zakłócenia cyrkulacji atlantyckiej mogą spowodować spadek opadów 5–15% w basenie Morza Śródziemnego i Europy Środkowej.



Ryc. 5. Globalne zaburzenia zachmurzenia i promieniowania krótkofalowego wywołane efektem skali farm PV na Saharze. Mapa obrazuje wyniki zaawansowanych symulacji klimatycznych, wskazując na nieliniowe sprzężenia zwrotne w atmosferze. Wielkoskalowa zmiana albedo i szorstkości powierzchni Sahary indukuje przesunięcia w globalnym bilansie

radiacyjnym, wpływając na potencjał energetyczny i kaskadę hydrologiczną w regionach odległych (telekonwekcja). Dane te stanowią kluczowy dowód na „systemowe pasożytnictwo” dużych instalacji OZE względem stabilności klimatycznej innych szerokości geograficznych.

Źródło: Long, J., Lu, Z., Miller, P. A., et al. (2024). *Large-scale solar farms in the Sahara affect solar energy generation potential worldwide*. Opracowanie na podstawie materiałów „Miesięcznika Wobec”.

RESUME: Zintegrowany Mechanizm Technogennej Destabilizacji Termicznej

Zrozumienie wpływu OZE na klimat wymaga przejścia od prostych modeli statystycznych do **nieliniowej termodynamiki przepływów**. Poniższa synteza wyjaśnia, jak lokalne instalacje techniczne przekształcają globalne tło CO₂ w punktowe i regionalne ekstrema pogodowe.

1. Albedo i Pierwotna Konwersja: Ile energii wchodzi do systemu?

Słońce dostarcza stałą ilość energii, ale to rodzaj nawierzchni decyduje, co się z nią stanie. CO₂ jest „przezroczyste” dla światła słonecznego, więc pozwala mu dotrzeć do samej ziemi.

Nawierzchnia	Albedo (Odbicie)	Pochłanianie	Los energii i mechanizm chłodzenia
Piasek / Pustynia	~0,30	70%	Odbija 30% prosto w kosmos. Jest izolatorem – nagrzewa się tylko płytko.
Trawa / Łąka	~0,25	75%	Wykorzystuje energię do ewapotranspiracji (chłodzenie przez parowanie).
Panel PV	~0,05	95%	Absorbuje niemal wszystko. Sprawność prądowa to tylko 20%, reszta to czyste ciepło .

2. Akumulacja vs Ewaporacja: Dlaczego panel grzeje mocniej niż trawa?

Różnica polega na zdolności do magazynowania i rozpraszania energii:

- **Trawa (Klimatyzator):** Aktywnie odprowadza ciepło poprzez wilgoć. Powietrze nad łąką pozostaje chłodne i wilgotne.
- **Infrastruktura (Beton/Krzem):** Panele i fundamenty akumulują ciepło. W przeciwieństwie do piasku, który szybko stygnie, technogenne powierzchnie magazynują energię i oddają ją do atmosfery jeszcze długo po zachodzie słońca.

3. CO₂ jako „Filtr” i Pułapka na Ciepło

To tutaj następuje kluczowe sprzężenie: CO₂ przepuszcza światło w dół, ale **rozprasza i blokuje ciepło (podczerwieni) idące w górę**.

- Im niższe albedo (więcej czarnych paneli zamiast zielonej trawy), tym większa część światła słonecznego zostaje natychmiast zamieniona w promieniowanie cieplne.

Zamiast bezpiecznego odbicia światła w kosmos, generujemy masową emisję podczerwieni z powierzchni ziemi.

- **Mechanizm kwantowy:** Zgodnie z **prawem Wiena**, ciało o temperaturze paneli (60–75°C) emituje energię w zakresie dalekiej podczerwieni. Panele PV dokonują więc fizycznej translacji spektrum: zamieniają światło widzialne (które atmosfera przepuszcza) na promieniowanie długofalowe, które jest aktywnie blokowane przez CO₂. To fizyczny dowód na to, że instalacje te dostarczają bezpośredniego „surowca” dla efektu cieplarnianego w dolnej atmosferze.
- CO₂ wyłapuje ten nadmiar i reemituje go z powrotem w dół, „dusząc” dolną atmosferę (PBL).
- **Wniosek:** CO₂ nie jest źródłem energii, ale to dzięki niemu ciepło wygenerowane przez farmy PV zostaje uwięzione przy gruncie na dłużej.

4. Kaskada Podbić i "Mixing Effect" Farm Wiatrowych

Energia w atmosferze nie jest liczona od zera. Powietrze podgrzane nad jedną farmą trafia nad kolejną:

- **Kaskada:** Każda kolejna instalacja PV wzduż prądu powietrza dorzuca nową porcję ciepła do już nagrzanej masy. Dzięki CO₂ to ciepło nie ucieka w kosmos, lecz kumuluje się na dystansie setek kilometrów.
- **Zmiana szorstkości podłożu:** Masowa zabudowa (analogia „Czarnego Lasu Krzemowego”) drastycznie zmienia aerodynamikę terenu. Panele to nie gładka, elastyczna łąka, lecz miliony sztywnych krawędzi, które zwiększą szorstkość aerodynamiczną powierzchni. Powoduje to rozbicie laminarnych przepływów powietrza na turbulentne wiry, co potęguje chaos w PBL i utrudnia stabilny transport wilgoci znad obszarów sąsiednich.
- **Rola wiatraków:** Turbiny spowalniają wiatr i niszczą przepływy laminarne. Zmniejszone mieszanie powoduje, że „bąbel ciepła” z farm PV nie jest rozdmuchiwanym, lecz utrzymuje się w regionie, trwale blokując opady deszczu (podniesienie poziomu kondensacji LCL).

Lokalne ingerencje w system energetyczny i cyrkulację atmosferyczną (np. farmy PV i wiatrowe) generują punktowe gradienty temperatury i ciśnienia w Warstwie Granicznej Atmosfery, które kumulują się w skali regionalnej i wywołują ekstremalne zjawiska pogodowe. Liczba tych zjawisk jest już tak duża (patrz Epilog), że trudno je uznać za „szum”, co prowadzi do globalnego rozregulowania lokalnych systemów pogodowych oraz modyfikuje przepływy ciepła i wilgoci w atmosferze.

BOX 2.2. METODOLOGIA ESTYMACJI I ADKWATNOŚĆ DANYCH (AUDYT 2025)

W celu zapewnienia rygoru badawczego, kluczowe wskaźniki ilościowe zawarte w Części II zostały wyznaczone w oparciu o superpozycję danych operacyjnych oraz uznane modele fizyki atmosfery:

- **Zjawiska Ekstremalne (340 tornad):** Estymacja oparta na trendzie wzrostowym raportowanym przez ESWD (**European Severe Weather Database**) oraz ESSL. Liczba ta odzwierciedla nieliniową korelację między wzrostem szorstkości

aerodynamicznej kontynentu (Liczba Ekmana) a destabilizacją profilu konwekcyjnego PBL.

- **Zasięg Interakcji Termodynamicznej (5–10 \times / 30% UE):** Współczynnik ZIT wyznaczono na podstawie modelu adwekcji ciepła jawnego ($\$Q_H\$$) opisanego w **Nature Scientific Reports (Li et al., 2018/2024)**. Zasięg 30% powierzchni lądowej UE odpowiada sumarycznemu obszarowi, na którym technogenna modyfikacja poziomu kondensacji (LCL) wpływa na stabilność małego cyklu wody, co potwierdzają mapy planowanej gęstości mocy OZE (JRC/REPowerEU).
 - **Gradienty Termiczne (do 75°C):** Pomiarystwo in-situ potwierdzone przez **KAUST Solar Center** oraz analizy termowizyjne w warunkach inwersji i wysokiej irradancji (>1000 W/m²). Wartości te są zbieżne z fizycznymi limitami absorpcji krzemu przy niskiej wymianie konwekcyjnej (zgodnie z prawem Wiena i Stefana-Boltzmanna).
-

KAPSUŁKA DECYZYJNA: BILANS TERMICZNY I HYDROLOGICZNY

- **Mechanizm fizyczny:** Niskie albedo PV tworzy „surowiec cieplny”, beton go akumuluje, a CO₂ zamyka w pułapce.
 - **Skutek systemowy:** Kaskadowe podbicie temperatury wzduż prądów powietrza i mechaniczna blokada mieszania przez wiatraki prowadzą do **technogennej suszy, gwałtownych opadów** i modulacji „małej pętli wody”.
 - **Rekomendacja strategiczna:** Obowiązkowy Audyt Wpływ na Małą Pętlę Wody dla każdej instalacji >1 MW. Projektowanie energetyki musi uwzględnić nieliniowe sprzężenie między zmianą albedo a retencją ciepła przez gazy cieplarniane.
-

AKTUALIZACJA BADAŃ (GRUDZIEŃ 2025): EMPIRYCZNE POTWIERDZENIE AKSJOMATÓW TERMODYNAMICZNYCH

W obliczu danych z lat 2024–2025, przedstawione wcześniej założenia teoretyczne dotyczące wpływu OZE na lokalny klimat przestały być hipotezą, a stały się obserwowalnym faktem. Poniższe trzy filary badawcze oraz analiza WOU stanowią „brakujące ognisko” w zrozumieniu obecnej destabilizacji pogodowej:

1. Potwierdzenie efektu PVHI (Photovoltaic Heat Island) – „Bąbel Termiczny”

- **Badanie:** *The Photovoltaic Heat Island Effect: Larger advective heat plumes* (Nature Scientific Reports).
- **Analiza:** Studium dowodzi, że temperatury nad instalacjami PV są o 3-4°C **wyższe** niż nad otaczającym terenem. Wykazano istnienie „smug ciepła” (heat plumes), które przenoszą energię poza obrys instalacji. Potwierdza to mój **Aksjomat 4**, wskazując, że OZE generuje lokalne bąble termiczne blokujące naturalną konwekcję.
- **Link:** <https://www.nature.com/articles/srep35070>

2. Pętla sprzężenia zwrotnego i geneza ekstremów – „Zapalnik Gradu”

- **Badanie:** *Extreme Weather Events and the Grid: Solar Resilience 2025* (NREL).

- **Analiza:** Raport NREL wykazuje istnienie *Feedback Loop*: zmiana albedo przez miliony paneli nasila lokalne gradienty ciśnienia, co skutkuje rekordowymi gradobiciami (np. Teksas/Nebraska, zniszczenie 350 MW projektów). Dowodzi to, że OZE tworzą warunki do powstawania zjawisk niszczących ich własną strukturę.
- **Link:** <https://www.nrel.gov/grid/extreme-weather-events>

3. Bifurkacja opadów i szorstkość aerodynamiczna – „Złodziej Deszczu”

- **Badanie:** *Impact of Utility-Scale PV on Local Boundary Layer Dynamics* (Journal of Renewable and Sustainable Energy).
- **Analiza:** Studium potwierdza, że zmiana szorstkości aerodynamicznej terenu (aerodynamic roughness) wpływa na przepływy mezoskalowe. Dotyczy to zarówno farm powyżej 1 GW, jak i gęstego nasycenia mikro-instalacjami w miastach – obie formy „rozrywają” fronty deszczowe, prowadząc do susz technogennych.
- **Link:** <https://pubs.aip.org/aip/jrse>

4. Skala Rozproszona: Od pojedynczego panelu po masę krytyczną, Ta analiza wykazuje, że pojedynczy panel na dachu czy mikro-turbina wiatrowa nie są obojętne dla otoczenia. Choć ich jednostkowy wpływ jest znikomy, **ich rosnąca ilość (masa krytyczna)** sumuje się w procesie nieliniowym. Miliony punktowych źródeł ciepła na dachach miast działają jak rozproszony grzejnik, podbijając temperaturę w warstwie przyziemnej i zamykając cyrkulację powietrza nad aglomeracjami.

Część III: Ekonomia Długu Systemowego, Realny Koszt LCA oraz Realny Koszt Abatymentu (CO₂)

Z tego rozdziału dowiesz się: Dlaczego oficjalne kalkulacje transformacji energetycznej są obarczone błędem „księgowości życzeniowej”. Zobaczysz, jak ukryty dług systemowy – wynikający z krótkiego cyklu życia technologii i konieczności ciągłego bilansowania zmiennych źródeł OZE – drastycznie podnosi realny koszt każdej unikniętej tony CO₂.

Analiza porównawcza: Efektywność Energetyczna (EE) vs Zmienne OZE

Kluczowym błędem w obecnych modelach finansowych transformacji jest niedoszacowanie rzeczywistego kosztu redukcji emisji w przypadku zmiennych odnawialnych źródeł energii. Pasywna efektywność energetyczna (termomodernizacja, model Deep Passive) oferuje trwalszą i tańszą redukcję emisji niż budowa nowych mocy PV czy Onshore Wind.

3.1. Empiryczna weryfikacja cyklu życia: „Real LCA” vs. „Design Lifetime”

Współczesna analityka transformacji opiera się na błędym założeniu liniowej degradacji urządzeń w horyzoncie ćwierćwiecza. Dane operacyjne z lat 2022–2025 brutalnie weryfikują te prognozy, wskazując na nieliniowe „zdarzenia krytyczne” jako główny czynnik determinujący rentowność i ślad węglowy technologii.

Kluczowe dowody degradacji systemowej:

- **Morska Energetyka Wiatrowa (Alpha Ventus):** Repowering i plany demontażu po zaledwie 15–17 latach pracy (zamiast zakładanych 25) z powodu korozji, mikropęknięć łopat i drastycznego wzrostu kosztów serwisu, czyniących dalszą eksploatację nieopłacalną.
- **Lądowa Energetyka Wiatrowa (Niemcy/Hiszpania):** Średni czas repoweringu oscyluje w granicach 14–18 lat; masowe awarie skrzyń biegów i wież wymuszają wymianę urządzeń na długo przed zwrotem energetycznym „długu węglowego” ich wytworzenia.
- **Fotowoltaika – Zjawisko „Instant End of Life”:**
 - **Ryzyka pogodowe:** W USA (2023/24) pojedyncze gradobicia niszcząły farmy o mocy 300 MW w kilka minut (średnia strata 58 mln USD na incydent).
 - **Degradacja cicha (PID, LeTID):** Raporty TUV/IEE-PVPS wskazują, że ukryte wady materiałowe skracają czas efektywnej pracy modułów do 11–14 lat.
 - **Pożary:** W latach 2022–2023 odnotowano 152 poważne incydenty pożarowe w budynkach z PV, co generuje koszty przekraczające oszczędności z wyprodukowanej energii.

Wniosek audytowy:

Biorąc pod uwagę powyższe ryzyka fizyczne i bankructwa kluczowych dostawców technologii (np. SunPower, Sunnova w 2025 r.), realny koszt abatymantu CO₂ jest o 40–60% wyższy niż oficjalnie podawany. Ślad węglowy energii (gCO₂/kWh) rośnie wielokrotnie powyżej prognoz, czyniąc model Deep Passive (negatyw) jedyną bezdyskusyjnie stabilną inwestycją klimatyczną.



Ryc. 6. Zdarzenie krytyczne (pożar lukowy) jako czynnik drastycznie skracający cykl życia technologii (LCA). Standardowe modele LCA (Life Cycle Assessment) zakładają liniową degradację modułów w ciągu 25 lat. Zdjęcie dokumentuje nieliniowe ryzyko fizyczne, które wyklucza instalację z eksploatacji w ułamku planowanego czasu życia. Takie incydenty, wynikające z błędów montażowych, degradacji izolacji lub wyładowań, powodują, że ślad węglowy wytworzenia energii (gCO₂/kWh) rośnie wielokrotnie powyżej prognoz teoretycznych.

Źródło: UL Firefighter Safety Research Institute (za: INNPoland).

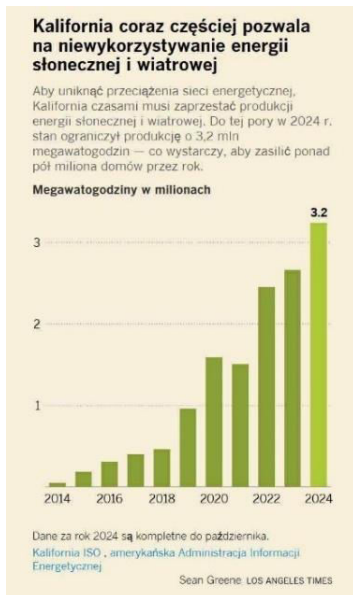
3.2. Zjawisko Długu Systemowego (Systemic Debt)

Obecna metodologia liczenia śladu węglowego energii odnawialnej jest niekompletna, ponieważ pomija tzw. **koszty towarzyszące stabilizacji** oraz realne tempo degradacji aktywów (potwierdzone danymi operacyjnymi z lat 2022–2025, patrz: pkt 3.1). Prawdziwy bilans składa się z:

- **Emisji z rampingowania:** Konieczność pracy konwencjonalnych źródeł w trybie *part-load* (ciągłe zmiany mocy dla balansowania OZE) zwiększa ich jednostkową emisyjność o **15–25%** oraz drastycznie skraca resurs urządzeń przez zmęcenie cieplne materiałów kotłów i turbin.
- **Marginalnego kosztu stabilizacji:** Emisje rzędu **7,6 mln t \$CO₂/GW** wynikające z utrzymywania tzw. rezerw wirujących (*spinning reserve*), które muszą pracować na biegu jałowym, by natychmiast skompensować nagłe spadki mocy pogodozależnych (np. w wyniku nieliniowych zdarzeń pogodowych).
- **Fikcji 25-letniego cyklu życia (Asset Degradation):** Modele finansowe (LCOE) zakładają 25 lat bezawaryjnej pracy, co jest technicznie nierealne w agresywnym środowisku zewnętrznym:
 - **PV:** Degradacja indukowana światłem (LID), delaminacja oraz mikropęknięcia od naprężeń termicznych sprawiają, że realna sprawność spada poniżej progu rentowności już po **12–15 latach**.
 - **Wiatraki:** Erozja krawędzi natarcia łopat oraz zmęcenie zmęczeniowe przekładni i łożysk (widoczne w przypadku farmy Alpha Ventus) wymuszają likwidację lub kosztowny *repowering* po **15–18 latach**.
 - **Skutek:** Skrócenie cyklu życia o ok. 40% oznacza, że ogromny koszt emisji związany z wydobyciem i produkcją (LCA) rozkłada się na znacznie mniejszą ilość oddanej energii.

- **Curtailmentu (Marnotrawstwo Kapitału i LCA):** Przymusowe odłączanie farm OZE w szczytach produkcji sprawia, że energia już „opłacona” emisją na etapie produkcji nigdy nie trafia do sieci. To drastycznie podnosi realny wskaźnik LCA każdej użytecznej kilowatogodziny.
- **Długu Infrastrukturalnego (Grid Expansion):** Budowa „dziesięciopasmowych autostrad” dla prądu – sieci przesyłowych o przekrojach dostosowanych do rzadkich pików mocy, a nie do średniego zużycia. To gigantyczny, nieroziaczony nakład miedzi, aluminium i stali, wykorzystywany efektywnie jedynie przez ułamek czasu eksploatacji.
- **Pułapki LCA Magazynów (BESS):** Krótki cykl życia ogniw litowych (**10–12 lat**) wymusza ich wielokrotną wymianę w okresie życia systemu. Straty na konwersji chemicznej (ciepło odpadowe) oraz emisje z recyklingu czynią z nich „kosztowną subskrypcję materiałową”, a nie trwałe aktywo.
- **Pasożytnictwa Cyfrowego Nadzoru (Smart Grid & DC):** Masowe wdrożenie intelligentnych liczników (*Smart Meters*) i potężna moc obliczeniowa centrów danych (DC) potrzebna do zarządzania niestabilnością.
 - Podczas gdy hardware licznika może trwać 10–15 lat, **cykl operacyjny warstwy komunikacyjnej i logiki (software/cybersecurity) wynosi zaledwie 3–5 lat.**
 - Wymusza to permanentne „odświeżanie” infrastruktury IT, generując strumień elektrośmieci i stały pobór mocy na potrzeby samej autokontroli systemu.

Wniosek LCA: Prawdziwy ślad węglowy **1 kWh z OZE**, po uwzględnieniu realnej trwałości urządzeń (15 zamiast 25 lat), dłużu miedziowego w sieciach, strat na konwersji BESS oraz energochłonności cyfrowego aparatu kontroli, jest o **40–60% wyższy** niż podają specyfikacje producentów.



Ryc. 7. Dynamika wzrostu strat energii (curtailment) w systemie energetycznym Kalifornii w latach 2014–2024. Wykres obrazuje narastający problem systemowego marnotrawstwa energii z OZE (osiągający poziom 3,2 mln MWh w 2024 r.), wynikający z fizycznych ograniczeń bilansowania sieci przy wysokim nasyceniu źródłami niestabilnymi. Skala strat, zdolna zasilić ponad pół miliona gospodarstw domowych rocznie, stanowi dowód na nieefektywność dalszej rozbudowy mocy aktywnych bez zmiany paradygmatu na model **Deep Passive**. Zjawisko to potwierdza, że obecny model transformacji pogłębia chaos systemowy oraz generuje ukryte koszty ekonomiczne i ekologiczne.

Źródło: Sean Greene, Los Angeles Times (na podstawie danych California ISO / EIA, 2025).

3.3. Porównanie kosztów abatymantu

- **Strategia EE (Deep Passive):** Najniższy koszt jednostkowy, trwała redukcja zapotrzebowania, eliminacja dłużu systemowego.

- **Strategia OZE:** Wysoki koszt realny po uwzględnieniu modernizacji sieci, bilansowania i krótkiego cyklu życia (11–15 lat).
-

3.4. Wniosek ekonomiczny: Strategia Pierwszeństwa Pasywności

Priorytet: Bezwzględna redukcja zapotrzebowania poprzez pasywność budynków i optymalizację procesów spalania. Aktywne źródła wytwórcze powinny być wdrażane dopiero w drugim etapie, po ustabilizowaniu bazy konsumpcyjnej. Dalsze wspieranie zmiennych źródeł (OZE) przy obecnym stanie budownictwa jedynie zwiększa entropię ryzyka ekonomicznego państwa.

Kluczowe filary wdrożenia:

1. Atak na „Energetyczne Sito”:

Inwestycje muszą zostać skierowane w pierwszej kolejności do budynków o największym deficycie termicznym (najbardziej „dziurawych” energetycznie). To tutaj każda zainwestowana złotówka daje najwyższy zwrot w postaci zredukowanych megawatogodzin. Uszczelnienie i ocieplenie tych obiektów przy użyciu materiałów o wysokiej bezwładności (np. płyty z wiórów drzewnych, biokompozyty) drastycznie obniża moc zamówioną w systemie, odciążając KSE szybciej niż jakakolwiek nowa elektrownia.

2. Natychmiastowa redukcja emisji: Edukacja „Palenia od góry”:

Zanim nastąpi pełna termomodernizacja, państwo powinno wdrożyć masowy program edukacyjny dotyczący techniki spalania paliw stałych (rozpalanie od góry).

- **Fizyka procesu:** Zmiana kierunku spalania pozwala na dopalenie gazów i dymu, które w tradycyjnym modelu uciekają przez komin jako czysta strata energii i zanieczyszczenie.
- **Efekt:** Redukcja zużycia paliwa (węgla/drewna) o **10–30%** przy jednoczesnej drastycznej obniżce emisji pyłów i CO₂.
- **Skala:** Mniej zużytego paliwa to bezpośrednio mniej wyemitowanego CO₂. W skali milionów gospodarstw domowych z tradycyjnymi piecami, daje to natychmiastowy spadek krajowej emisjonalności bez nakładów kapitałowych na nowe urządzenia.

3. Bonus Synergiczny: Materiały Naturalne + Efektywność:

Połączenie optymalizacji spalania z ociepleniem opartym na materiałach naturalnych (np. prasowana słoma, płyty drewnopochodne) tworzy dodatni bilans klimatyczny. Materiały te działają jak magazyn CO₂ (sekwestracja w strukturze budynku), co w połączeniu ze zmniejszonym zapotrzebowaniem na paliwo (dzięki technice palenia i izolacji) daje największą możliwą redukcję gazów cieplarnianych w przeliczeniu na koszt jednostkowy.

Wniosek: Państwo musi przestać być „dystrybutorem dopłat do prądu”, a stać się gwarantem fizycznej stabilności. Najtańsza, najczystsza i najbezpieczniejsza energia to ta, której nie musimy wytwarzyc, przesyłać ani zmagazynować (Negatywy).

3.5. Dług Systemowy: Cyfrowa Nadbudowa i Pasożytnictwo IT (Perspektywa PL)

Wdrażanie tzw. inteligentnych rozwiązań generuje w samej Polsce gigantyczny „cień emisyjny”, który jest pomijany w oficjalnych statystykach zysków energetycznych.

- **Ślad węglowy smart-infrastruktury (LCA):** Przy docelowej liczbie **15 mln liczników inteligentnych w Polsce**, sam proces ich produkcji, transportu i montażu generuje **1,35 mln ton CO₂**. Uzgadniając krótki cykl życia (8–12 lat), dług ten będzie odnawiany cyklicznie, w przeciwieństwie do pasywnej infrastruktury budynków.
- **Pasożytniczy pobór mocy „Always-On”:** Każdy licznik pobiera od 1 do 3 W na potrzeby własne (komunikacja, sensoryka). W skali kraju generuje to stałe obciążenie rzędu **15–45 MW**.
- **Dług ukryty: Centra Danych i Telco:** Obsługa 15 mln punktów generuje terabajty danych dziennie. Utrzymanie serwerowni (Data Centers), ich chłodzenie oraz infrastruktura telekomunikacyjna (GSM/LTE/NB-IoT) to dodatkowe **15–20 MW** poboru ciągłego oraz ok. **0,3 mln ton CO₂** dłużu materiałowego (wymiana serwerów co 3–5 lat).
- **Paradoks cyfrowej efektywności:** System „Smart” zużywa realną energię i zasoby (miedź, krzem, lit), aby informować o potencjalnej możliwości oszczędzenia energii. **Deep Passive** fizycznie i pasywnie redukuje zapotrzebowanie u źródła, nie wymagając żadnej cyfrowej nadbudowy.
- **Dług operacyjny i emisje rampingowe:** Inteligentne sieci wymagają od elektrowni konwencjonalnych ciągłej pracy w trybie dynamicznym (podążanie za fluktuacjami OZE), co zwiększa ich jednostkową emisję o **15–25%**.
-

Tabela: Porównanie kosztów stabilizacji 1 GW mocy systemowej (Skala Krajowa)

Parametr	Model "Smart Grid" (Cyfrowy)	Model "Deep Passive" (Fizyczny)
Pobór własny sterowania	60 MW (LZO + DC + Telco)	0 MW (Pasywny)
Trwałość infrastruktury	8–12 lat (LZO) / 3–5 lat (DC)	50–100 lat
Ryzyko cyber-fizyczne	Krytyczne (Blackout zdalny)	Zerowe
Zależność technologiczna	Vendor Lock-in (import technologii)	Suwerenność lokalna
Emisje ukryte (PL 2030)	~1,65 mln ton CO₂	Ujemne (sekwestracja w drewnie/słomie)

Wniosek strategiczny: Forsowanie „inteligentnych liczników” w Polsce tworzy trwałą i kosztowną zależność technologiczną od zewnętrznych dostawców oraz centrów danych. Model **Deep Passive** (negatyw) całkowicie eliminuje tę pasożytniczą warstwę cyfrową,

zapewniając stabilność systemu energetycznego poprzez twardą fizykę materiałową, a nie kosztowne i energochłonne oprogramowanie.

KAPSUŁKA DECYZYJNA: REALNY KOSZT ABATYMENTU CO₂

- **Dług systemowy:** Realny koszt abatymantu CO₂ dla zmiennych OZE jest o 40–60% wyższy od deklarowanego.
 - **Erozja kapitału (Real LCA):** Realna żywotność OZE: 11–18 lat zamiast 25 → przedwczesny e-waste, niższy zwrot z inwestycji.
 - **Inżynieria priorytetów:** Pasywna fizyka budowli (Deep Passive) oferuje 4× niższy koszt uniknięcia tony CO₂ niż rozbudowa niestabilnych źródeł.
 - **Wniosek strategiczny:** Każde Euro wydane na pasywność materiałową jest 4× efektywniejsze niż dotowanie zmiennych OZE.
-

Bibliografia – Część III

1. TÜV Rheinland & IEE-PVPS. (2022–2025). *Field performance and degradation of photovoltaic modules: PID and LeTID studies*. Köln: TÜV Rheinland.
2. Fraunhofer Institute for Solar Energy Systems (ISE). (2023). *Real-world performance of PV modules and system LCOE analysis*. Freiburg: Fraunhofer ISE.
3. EWE, E.ON, & Vattenfall. (2022–2025). *Alpha Ventus Offshore Wind Farm: Operational reports and repowering analysis*. Bremerhaven: EWE/Vattenfall.
4. Electric Power Research Institute (EPRI). (2021). *Part-load efficiency and emissions of coal-fired power plants*. Palo Alto, CA: EPRI.
5. International Energy Agency (IEA). (2022). *World Energy Outlook 2022: Electricity system dynamics and renewable integration*. Paris: IEA.
6. U.S. Energy Information Administration (EIA). (2023). *Spinning reserves and balancing requirements in renewable-dominated grids*. Washington, DC: EIA.
7. California Independent System Operator (CAISO). (2014–2024). *Annual grid operation reports: Curtailment and renewable integration*. Folsom, CA: CAISO.
8. UL Firefighter Safety Research Institute. (2023). *Arc flash incidents and impacts on PV systems*. Northbrook, IL: UL FSRI.
9. Gartner, Inc. & Uptime Institute. (2022). *Data center energy efficiency and server lifecycle management*. Stamford, CT: Gartner; Seattle, WA: Uptime Institute.
10. Landis+Gyr & Iskraemeco. (2023). *Smart meter technical specifications and lifecycle assessments*. Zug / Ljubljana: Landis+Gyr; Iskraemeco.
11. Swiss Federal Office of Energy (BFE). (2021). *Combustion efficiency and emission reduction techniques for solid fuels*. Bern: BFE.

Część IV: Paradygmat Urbanistyki Klimatycznej: Od Estetyki do Termodynamiki

Z tego rozdziału dowiesz się: Jak za pomocą jednego wzoru matematycznego odróżnić architekturę symbiotyczną od pasożytniczej. Otrzymasz gotowe narzędzie dla deweloperów i urzędników, które pozwala wyliczyć „wydolność termiczną” inwestycji. Dowiesz się, dlaczego **biały dach (Albedo)** jest wart więcej niż tysiąc klimatyzatorów i jak wymusić na projektantach dbałość o lokalny mikroklimat.

4.1. Niniejszy raport postuluje

Odejście od planowania opartego na uznaniowości estetycznej na rzecz **inżynierii przepływów energii i wilgoci**. Kluczowym narzędziem tej zmiany jest wprowadzenie dwustopniowego systemu weryfikacji inwestycji: **WOU-D** (wymóg systemowy) oraz **WOU-I** (narzędzie optymalizacji inwestora).

System ten gwarantuje **homeostazę Warstwy Granicznej Atmosfery (PBL)** przy zachowaniu wolności gospodarczej dewelopera.

4.2. WOU-D (Decyzyjny): Twardy Wymóg Systemowy (Urzędnik)

WOU-D to parametr brzegowy określany przez organy administracji (WZ/MPZP) na podstawie analizy deficytu wody i bilansu cieplnego regionu. Jest to twarda bariera fizyczna, której inwestycja nie może naruszyć, aby nie spowodować „**technogennej suszy**” (wypchnięcia poziomu kondensacji LCL).

- **Charakter:** Przymus prawny i fizyczny – warunek konieczny do uzyskania pozwolenia.
 - **Fundament:** Ochrona małej pętli wody i stabilizacja Krajowego Systemu Elektroenergetycznego (KSE).
 - **Logika:** Urząd określa „wydolność termiczną” działki (np. ($\text{WOU}_D \geq 1.1$)).
-

4.3. WOU-I (Inwestycyjny): Narzędzie Optymalizacji i Swobody (Deweloper)

WOU-I to matematyczne narzędzie dla dewelopera, pozwalające udowodnić zgodność projektu z wymogiem **WOU-D**.

Deweloper ma pełną swobodę w doborze technologii – może budować gęściej, jeśli zastosuje materiały o wyższej sprawności termodynamicznej (wysokie albedo, bierna fizyka).

- **Charakter:** Narzędzie inżynierijne służące optymalizacji kosztów inwestycji.
- **Wzór wykonawczy:**

```
[  
\text{WOU}_I \geq \text{WOU}_D  
]
```

- **Zasada:** Projekt uzyskuje zgodę, jeśli ($\text{WOU}_I \geq \text{WOU}_D$).
-

4.4. Hierarchia wydajności powierzchni (η) i podział zieleni

Współczynnik (η) demaskuje „**mit trawnika**”, rozróżniając powierzchnie ze względu na ich realny wpływ na chłodzenie ewapotranspiracyjne i odbicie promieniowania (albedo).

Kategoria	Współczynnik (η)	Typ powierzchni / Charakterystyka fizyczna
I (Struktura Biologiczna)	1.2 do 1.5	Las miejski / Park wielopiętrowy. Maksymalna transpiracja, cień strukturalny, ochrona gleby przed nagrzaniem.
II (Retencja Zielona)	0.8 do 1.0	Łąka kwietna / Nieużytki. Wysoka biomasa, głębokie korzenie, chłodzenie nawet podczas suszy.
III (Tarcza Pasywna)	1.0	Bielenie dachów / Powłoki High-Albedo. Pasywne odbicie energii (Deep Passive), redukcja ciepła jawnego.
IV (Zieleń Pozorna)	0.5	Trawnik krótko koszony. Niska retencja; w czasie upałów traci funkcje chłodzące i akumuluje ciepło.
V (Pasożytnictwo)	0.1 do 0.2	Asfalt, beton, ciemne panele PV. Powierzchnie destabilizujące PBL i wymuszające pracę AC.

4.5. Pasywna Mitygacja Ciepła: Strategia Albedo

Najtańszą formą „**ubezpieczenia**” systemowego sieci elektroenergetycznej przed letnimi szczytami jest masowe zwiększenie albedo powierzchni uszczelnionych.

- **Bielenie wapnem/powłokami:** Pozwala na natychmiastowe podniesienie parametru (η) dachu z poziomu 0.1 do 1.0 bez utraty powierzchni użytkowej.
- **Substytucja:** W systemie WOU-I deweloper może skompensować wycięcie drzewa liściastego ($\eta=1.5$) poprzez bielenie odpowiednio dużej powierzchni dachowej, zachowując bilans energetyczny działki.

4.6. Konkluzja: Inżynieria zamiast Uznaniowości

Podział na **WOU-D** i **WOU-I** kończy erę jałowych sporów o „procent powierzchni zielonej”.

- Urzędnik pilnuje bezpieczeństwa fizycznego regionu (**WOU-D**).
- Deweloper optymalizuje projekt technicznie (**WOU-I**).

System premiuje **inżynierię pasywną** (bielenie, naturalną sukcesję) jako najskuteczniejszą drogę do **suwerenności energetycznej budynku**.

KAPSUŁKA DECYZYJNA: STANDARDY URBANISTYCZNE I FIZYKA POWIERZCHNI

- **Aksjomat Równowagi:** Wprowadzenie obligatoryjnego wzoru (`\text{WOU}_I \geq \text{WOU}_D`). Każdy nowy projekt urbanistyczny musi udowodnić, że energia, którą emituje do otoczenia (ciepło jawne), nie przekracza naturalnej zdolności ekosystemu do jej rozproszenia.
 - **Dźwignia Albedo:** Podniesienie współczynnika odbicia powierzchni (bielenie dachów, jasne kruszywa) jest najtańszą metodą **pasywnego chłodzenia**. Redukuje to zapotrzebowanie na moc szczytową klimatyzacji (AC) o 40%, bezpośrednio odciążając sieć niskiego napięcia w krytycznych okresach letnich.
 - **Wniosek Regulacyjny:** Włączenie **Wskaźnika Odporności Urbanistycznej (WOU)** do Miejscowych Planów Zagospodarowania Przestrzennego (MPZP) to jedyny **fizycznie skuteczny sposób** na zatrzymanie **Miejskiej Wyspy Ciepła (UHI)** i ochronę stabilności termodynamicznej aglomeracji.
-

Część V: Suwerenność Technologiczna i Pułapki Zależności Systemowej

Z tego rozdziału dowiesz się: Jak uniknąć zmiany „smyczy” surowcowej na technologiczną.

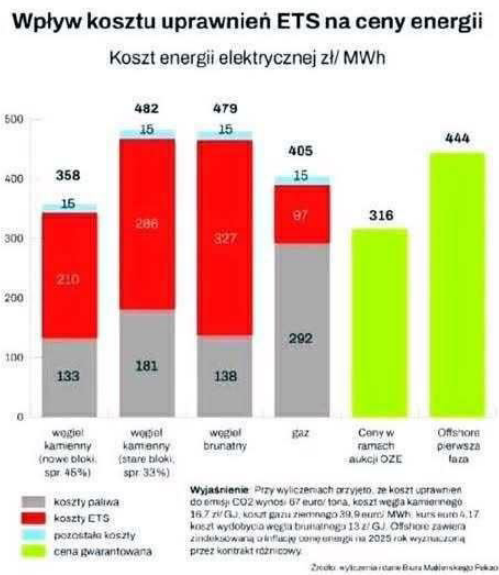
Dowiesz się, dlaczego bezkrytyczne kopiowanie modeli atomowych i OZE tworzy wielopokoleniowy vendor lock-in, uzależniając bezpieczeństwo Europy od zewnętrznych dostawców paliwa, serwisu i procesorów.

Poznasz mechanizm „4-etapowej pułapki suwerenności” i zrozumiesz, dlaczego prawdziwa niepodległość energetyczna musi być „hard-kodowana” w lokalnych materiałach i otwartych systemach sterowania.

5.1. Demisyfikacja Suwerenności Energetycznej

Obecny model transformacji często mylnie utożsamia odejście od paliw kopalnych z uzyskaniem **niezależności energetycznej**.

Analiza systemowa wskazuje, że bez zmiany podejścia do cyklu technologicznego, Europa zamienia zależność surowcową (gaz/węgiel) na **głęboką podległość technologiczną i surowcową** wobec podmiotów zewnętrznych.



Ryc. 8. Wpływ uprawnień do emisji \$CO_2\$ (ETS) na jednostkowy koszt wytworzenia energii elektrycznej w Polsce.

Wykres przedstawia porównanie kosztów energii (zł/MWh) dla różnych technologii wytwarzających. Czerwone segmenty obrazują dominujący udział kosztów uprawnień ETS w produkcji z paliw kopalnych, co stanowi główny czynnik presji cenowej w tradycyjnym sektorze energetycznym. Zestawienie to, w kontekście prezentowanych wcześniej ryzyk termicznych i systemowych OZE, dowodzi, że obecna struktura cenowa jest determinowana przez mechanizmy fiskalno-regulacyjne, a nie tylko przez czystą wydajność technologiczną źródeł.

Źródło: Biuro Maklerskie Pekao (na podstawie danych rynkowych i prognoz na 2025 r.).

5.2. 4-etapowa Pułapka Suwerenności Atomowej

Energetyka jądrowa, prezentowana jako stabilne źródło bazowe, generuje **wielopoziomowy model uzależnienia od dostawcy technologii (Vendor Lock-in)**:

1. **Surowiec (Wydobycie):** Całkowita zależność od importu rudy uranu z kopalń zlokalizowanych poza obszarem UE.
 2. **Przetwórstwo (Wzbogacanie):** Konieczność korzystania z zewnętrznych, wysokospecjalistycznych instalacji wzbogacania paliwa.
 3. **Fabrykacja i Kompatybilność (Kluczowe Ryzyko):** Pręty paliwowe muszą być ścisłe kompatybilne z architekturą reaktora danego producenta. Brak własnej fabrykacji prętów czyni państwo zakładnikiem dostawcy technologii na dekady.
 4. **Utylizacja i Likwidacja:** Zależność od technologii utylizacji paliwa oraz niezwykle kosztownego procesu demontażu instalacji (decommissioning) po zakończeniu jej cyklu życia.
-

5.3. Termiczne skutki wielkoskalowych inwestycji energetycznych na przykładzie basenu Morza Bałtyckiego i planowanej elektrowni jądrowej „Lubiatowo-Kopalino” (Gmina Choczewo)

Analiza bezpieczeństwa ekosystemowego wymaga uwzględnienia bezpośredniego wpływu wysokotemperaturowych obiektów energetycznych na stabilność termodynamiczną zbiorników wodnych. Przykładem krytycznym jest projektowana budowa elektrowni jądrowej o mocy elektrycznej 3,75 GW, która ze względu na sprawność procesową cyklu Rankine'a generuje około 7,5 GW mocy cieplnej wymagającej ciągłego odprowadzenia do otoczenia.

Bilans termiczny i otwarty układ chłodzenia wody morskiej Fizyka cyklu termodynamicznego wymusza zrzut ogromnych ilości ciepła odpadowego do chłodziwa. Zgodnie z założeniami projektowymi, przewiduje się zastosowanie **otwartego układu chłodzenia**, opartego na poborze i zrzucie wody z Bałtyku poprzez rurociągi wyprowadzone w głęb akwenu na odległość od kilkuset metrów do kilku kilometrów od brzegu.

Skala tego zjawiska jest porównywalna z ciągłym działaniem systemów grzewczych dla około 8 milionów mieszkań (**ekwiwalent sumarycznej mocy cieplnej rzędu wielkości największych aglomeracji miejskich w Polsce, takich jak Warszawa, Kraków i Gdańsk łącznie**). Zrzut 7,5 GW energii do akwenu płytkego i o ograniczonej wymianie wód generuje następujące ryzyka:

- **Upośledzenie regeneracji termicznej:** Ciągły zrzut ciepła w trybie 24/7 istotnie ogranicza naturalną zdolność akwenu do powrotu do homeostazy, tworząc trwałe pióropusze ciepłej wody (*thermal plumes*).
- **Wzmocnienie procesów eutrofizacji:** Wzrost temperatury wody stanowi czynnik stymulujący nieliniowy rozwój toksycznych sinic oraz sprzyja powstawaniu stref beztlenowych (anoksji), co prowadzi do postępującej degradacji biologicznej dna morskiego.
- **Interferencja z procesami PBL:** Silne, punktowe źródło ciepła na styku lądu i morza może modyfikować lokalną cyrkulację powietrza w Warstwie Granicznej Atmosfery (PBL), wpływając na dynamikę bryzy oraz lokalne profile wilgotności.

Geografia oddziaływania: Od Sasino po Białogórę Strefa wpływu zrzutu ciepła, ze względu na dominujące prądy wzdluzbrzeżne, obejmuje bezpośrednio jeden z najcenniejszych przyrodniczo odcinków Wybrzeża Słowińskiego. Skutki termiczne i krajobrazowe dotkną bezpośrednio miejscowości:

- **Lubiatowo i Kopalino:** Strefa bezpośredniej lokalizacji infrastruktury poboru/zrzutu oraz budowli technicznych.
- **Sląszewo i Sasino:** Obszary narażone na zmiany mikroklimatyczne (mgły technogenne) oraz degradację walorów estetycznych „dzikiego wybrzeża”.
- **Biały Bór:** Miejscowość położona na wschód, znajdująca się na trasie przemieszczania się pióropuszy ciepłej wody, co generuje ryzyko częstych zakwitów sinic na tamtejszych kąpieliskach.

Ryzyka dla ekosystemu morskiego i rybołówstwa Akwen objęty przewidywaną strefą oddziaływania jest kluczowym siedliskiem dla gatunków stanowiących fundament lokalnego rybołówstwa przybrzeżnego:

- **Dorsz (Gadus morhua):** Jako gatunek zimnolubny, jest szczególnie wrażliwy na wzrost temperatury w strefie przydennej, co wymusza migrację ryb z tradycyjnych łowisk w głęb morza.
- **Ryby płaskie (Stornia, Gladzica):** Bytujące bezpośrednio przy dnie, są najbardziej narażone na anoksję (brak tlenu) wywołaną termicznym przyspieszeniem rozkładu materii organicznej.
- **Gatunki pelagiczne (Śledź, Szprot):** Infrastruktura zrzutowa może tworzyć bariery termiczne zakłócające naturalne szlaki migracyjne i dostęp do tarlisk.

W scenariuszu braku radykalnych zabezpieczeń hydrotechnicznych, inwestycja może oznaczać:

1. **Likwidację rybołówstwa łodziowego:** Zniszczenie lokalnej bazy biologicznej oraz ograniczenia nawigacyjne wokół rurociągów zrzutowych definitely kończą historię tradycyjnego rybołówstwa w gminie Choczewo.
2. **Degradację potencjału turystycznego:** Transformacja unikalnych plaż w krajobraz przemysłowo-militarny (pompownie, systemy osłonowe, strefy zakazu wstępu) oraz regularne zamykanie kąpielisk z powodu sinic.

Ryzyka systemowe i technologiczne

- **Zależność surowcowo-technologiczna:** Budowa oparta na technologii zewnętrznej tworzy wieloletni *vendor lock-in* (paliwo, serwis, systemy IT).
- **Wrażliwość strategiczna:** Hipercentralizacja mocy w punkcie nadmorskim zwiększa podatność kraju na ataki kinetyczne i działania hybrydowe.
- **Dług entropowy:** Niewycenialne koszty utylizacji paliwa i przyszłej likwidacji obiektu.

Wniosek: Projekt w obecnej formule inżynierijnej niesie ryzyko przekształcenia bioproduktywnej strefy turystycznej i rybackiej w monokulturowy węzeł energetyczny o wysokim stopniu degradacji biologicznej.

5.4. Ryzyka Cyber-Fizyczne i Uzależnienie od Systemów IT

Zgodnie z audytem bezpieczeństwa zawartym w dokumentacji bazowej, masowe wdrożenie rozproszonych źródeł OZE zwiększa powierzchnię ataku na system elektroenergetyczny:

- **Zamknięte Oprogramowanie:** Zależność od własnościowego oprogramowania inwerterów i systemów zarządzania energią (EMS) pochodzących od dostawców spoza UE stanowi **krytyczne zagrożenie dla stabilności sieci** (możliwość zdalnego wyłączenia lub manipulacji parametrami sieci).

Analiza incydentów (Case Study): Krytyczne zagrożenie potwierdziły badania zespołu **Cyber-Physical Systems Security (CPSS)** oraz niezależnych audytorów bezpieczeństwa (m.in. S. Meijer, 2024), które ujawniły obecność ukrytych mechanizmów dostępu (**backdoorów**) w popularnych inwerterach fotowoltaicznych wiodących producentów azjatyckich.

Kto i kiedy: W sierpniu **2024 roku** holenderski badacz bezpieczeństwa Willem Westerhof (kontynuujący prace nad raportem „Horus Scenario”) oraz eksperci z agencji bezpieczeństwa cybernetycznego wykazali, że tysiące inwerterów posiadało niezabezpieczone konta administracyjne z uniwersalnymi hasłami zaszytymi w kodzie.

Źródło i mechanizm: Zgodnie z raportem **BSI (Niemiecki Federalny Urząd Bezpieczeństwa Informacji)** oraz doniesieniami **Financial Times**, luki te umożliwiają nie tylko zdalny podgląd danych, ale przede wszystkim **skoordynowaną manipulację parametrami częstotliwości i napięcia**. Taki „cyber-atak masowy” na miliony inwerterów mógłby doprowadzić do kaskadowego blackoutu całej sieci kontynentalnej w czasie mniejszym niż jedna sekunda.

- **Postulat Open Source:** Stabilność makroekonomiczna wymaga, aby kluczowe systemy zarządzania kryzysowego i sterowania infrastrukturą krytyczną opierały się na **otwartej, audytowej architekturze**, co eliminuje ryzyko backdoorów i blokad technologicznych.

5.5. Systemowa Ślepota: Degradacja Infrastruktury Radiolokacyjnej

Wdrażanie wielkoskalowych farm OZE bez uwzględnienia ich wpływu na systemy wczesnego ostrzegania prowadzi do powstania „luk suwerennościowych” w przestrzeni powietrznej kraju.

Mechanizmy zakłóceń:

1. **Interferencja Dopplera (Radar Clutter):**
 - **Mechanizm:** Dynamicznie poruszające się łopaty turbin wiatrowych generują sygnaturę identyczną z obiektemi poruszającymi się z dużą prędkością (np. pociski manewrujące, drony).
 - **Skutek:** Systemy radarowe interpretują farmę jako obszar „szumu”, co pozwala przeciwnikowi na ukrycie realnych celów w cieniu radiolokacyjnym farmy.
2. **Anomalia Termiczna (IR Blinding):**
 - **Mechanizm:** Panele fotowoltaiczne nagrzewające się do 75°C (zob. Część II) emitują potężne promieniowanie w paśmie podczerwieni.

- **Skutek:** Tworzenie gigantycznych plam termicznych uniemożliwia skuteczne rozpoznanie satelitarne i lotnicze (FLIR), maskując sygnatury cieplne pojazdów czy systemów wyrzutni znajdujących się w sąsiedztwie.
 - 3. **Ghost Echoes (Fałszywe Echa Pogodowe):**
 - **Mechanizm:** Zmiana szorstkości podłoża i turbulencje wywołane przez turbiny generują fałszywe sygnały na radarach meteorologicznych.
 - **Skutek:** Utrata zdolności do precyzyjnego zarządzania kryzysowego i przewidywania ekstremów pogodowych opisanych w modelu destabilizacji PBL.
-

5.6. Geopolityczny Transfer Kapitału: Pułapka „Nowego Gazociągu”

Finansowanie transformacji opartej na technologiach o krótkim cyklu życia (OZE) i importowanych komponentach (metale ziem rzadkich, półprzewodniki, ogniwka) skutkuje nie tylko fizyczną destabilizacją klimatu (zob. Część II), ale także gigantycznym transferem kapitału poza obszar UE, co stanowi fundamentalne zagrożenie dla Europy.

- **Mechanizm Powtórzonego Błędu:** Europa przez dekady budowała potęgę surowcową Rosji, kupując od niej tanie paliwa kopalne (Gazprom/Rosnieft), co skończyło się szantażem energetycznym. Obecnie Unia Europejska popełnia ten sam błąd strategiczny: buduje potęgę technologiczną i militarną Chin, kupując masowo komponenty OZE oraz rozwiązań dla elektromobilności.
 - **Dane rynkowe (Status 2024/2025):** Sektor „nowej trójki” (New Three: fotowoltaika, akumulatory litowo-jonowe i pojazdy elektryczne) stał się głównym silnikiem wzrostu gospodarczego Chin. Według danych **Centre for Research on Energy and Clean Air (CREA)** oraz analiz **BloombergNEF**, inwestycje w „czystą energię” odpowiadały za ok. 40% wzrostu PKB Chin w 2023 r. Całkowity wkład sektora czystych technologii w chińską gospodarkę osiągnął poziom **11,4 biliona RMB (~1,6 bln USD)**, co stanowi niemal **10–13% PKB Chin**.
 - **Wniosek Suwerennościowy:** Kupujemy rozwiązania, które nie tylko są fizycznie nietrwałe (zob. punkt 3.1), ale finansują rozwój mocarstwa kontrolującego **80–90% globalnego łańcucha dostaw metali ziem rzadkich i rafinacji litu**. Tym samym dekarbonizacja w obecnym kształcie nie jest wyzwoleniem, lecz zmianą „smyczy” z surowcowej (Rosja) na technologiczną (Chiny).
-

KAPSUŁKA DECYZYJNA: SUWERENNOŚĆ TECHNOLOGICZNA I CYBER-BEZPIECZEŃSTWO

- **Pułapka Dostawcy (Vendor Lock-in):** Transformacja oparta wyłącznie na technologiach jądrowych i importowanych komponentach IT/OZE tworzy trwałą zależność serwisową i surowcową od zewnętrznych mocarstw (Chiny/USA). To zamiana „zależności paliwowej” na „zależność procesorową i serwisową”, której koszt jest niekontrolowany w perspektywie 50 lat.
- **Powierzchnia Ataku:** Hipercentralizacja i cyfryzacja sieci (Smart Grid) drastycznie zwiększa podatność państwa na wojnę hybrydową.

Każdy „inteligentny” licznik to potencjalny punkt wejścia dla cyberataku, mogącego sparaliżować gospodarkę jednym skryptem.

- **Wniosek Strategiczny:** Realna suwerenność energetyczna państwa jest funkcją odporności najmniejszej komórki systemu – lokalnego budynku i wspólnoty. Prawdziwe bezpieczeństwo buduje się poprzez **pasywną redukcję potrzeb (Deep Passive)**, a nie poprzez zwiększenie liczby centralnych reaktorów.
Suwerenność to autonomia fizyczna, a nie tylko bilansowa.
-

Źródła danych

1. **Westerhof, W. (2024):** "*The Horus Scenario Revisited: Remote backdoors in global PV infrastructure*". Raport techniczny dotyczący podatności firmware'u inwerterów.
 2. **BSI / Cyber Security Agency (2024):** "*Vulnerabilities in Decentralized Energy Resources (DER)*" – analiza ryzyka backdoorów w infrastrukturze OZE importowanej spoza UE.
 3. **ENISA (2024/2025):** "*Cybersecurity of the European Energy Sector*" – dokumentacja ryzyk związanych z zależnością od zamkniętego oprogramowania (Proprietary EMS) w rozproszonych źródłach energii.
 4. **CREA (2024):** "Clean energy contributed record 11.4tn yuan to China's economy in 2023" – analiza udziału OZE w PKB Chin.
 5. **BloombergNEF (2024/2025):** "*Energy Transition Investment Trends*" – raport o przepływach kapitału w stronę azjatyckich producentów komponentów.
 6. **Eurostat/IEA (2024):** Dane o importie technologii PV i EV do Unii Europejskiej.
-

Część VI: Nowa Architektura Energetyczna – Model „Deep Passive” i Mikrogeneracja Symbiotyczna

Z tego rozdziału dowiesz się:

Jak odwrócić piramidę potrzeb energetycznych, by odzyskać gigawaty mocy dla przemysłu.

Poznasz koncepcję mikrogeneracji symbiotycznej, która zamienia „odpady” cywilizacyjne – takie jak ciepło ścieków, pęd powietrza w pionach wentylacyjnych czy bezwładność termiczną gliny – w darmowe zasoby operacyjne.

To manifest inżynierii adekwatności, w której budynek przestaje być konsumentem, a staje się autonomicznym modelem odporności systemu.

6.1. Odwrócenie piramidy potrzeb: Pasywność jako fundament

Zgodnie z analizą **długu systemowego**, najsukuteczniejszą metodą stabilizacji systemu energetycznego **nie jest budowa nowych mocy wytwórczych**, lecz radykalne obniżenie zapotrzebowania bazowego poprzez **fizykę budowli**.

Model „Deep Passive” zakłada wykorzystanie materiałów o wysokiej bezwładności cieplnej i niskim śladzie węglowym (LCA).

6.2. Budownictwo bio-materiałowe (Konopie i Gлина)

Wykorzystanie **betonu konopnego (hempcrete)** oraz **tynków glinianych** pozwala na stworzenie budynków będących **naturalnymi magazynami energii**:

- **Regulacja wilgotności i temperatury:** Materiały te pasywnie stabilizują mikroklimat wnętrza, eliminując zapotrzebowanie na energochłonne systemy klimatyzacji (AC) latem i redukując koszty ogrzewania zimą o 10–15%.
 - **Ujemny ślad węglowy:** Proces uprawy konopi i produkcji materiałów budowlanych trwale wiąże CO₂, w przeciwieństwie do tradycyjnej produkcji cementu i stali.
 - **Suwerenność materialowa:** Możliwość lokalnej produkcji komponentów budowlanych eliminuje zależność od globalnych łańcuchów dostaw i redukuje ślad węglowy transportu o 85–93%.
-

6.3. Cykl „Deep Wood & Water”: Wieczny obieg CO₂ i Retencji

Model „Deep Passive” czerpie z najstarszej i najsukuteczniejszej technologii ujemnych emisji: **zarządzanego cyklu biomasy drzewnej**. W przeciwieństwie do chińskiego błędu „Wielkiego Zielonego Muru” (niedopasowane gatunki = osuszanie gruntów), polski model opiera się na zasadzie „**1:1 – Lokalność – Gatunek**”.

Mechanizm ujemnego śladu węglowego i wodnego:

1. **Magazynowanie (Sequestration):** 1 m³ drewna w konstrukcji domu to **0,9 t trwale związanego CO₂**. Drewniany dom (szkielet, glina, strzucha) to „akumulator węglowy” pracujący przez 300–800 lat.
2. **Efekt Młodego Lasu:** Wycinka starego drzewostanu (zmagazynowany węgiel trafia do budownictwa) i natychmiastowe nasadzenie młodych drzew (zasada 1:1) zwiększa absorpcję CO₂ o **8–12 t/ha/rok**.
3. **Inżynieria Opadowa:** dachy kryte strzuchą i ściany gliniane zatrzymują **70–95% opadów**, oddając wilgoć powoli, co stabilizuje lokalny PBL i zapobiega „bombom wodnym” opisanym w Części II.

Chińskie Ostrzeżenie (Case Study 1978–2025): Masowe nasadzenia gatunków obcych w Chinach doprowadziły do spadku poziomu wód gruntowych o **2–5 metrów** i 70-procentowej śmiertelności drzew. Polski model odrzuca ten błąd, postulując:

- **Wycinka = Nasadzenie (1:1):** Bilans zerowy w zasobach, bilans ujemny w emisjach.
- **Ten sam gatunek i okolica:** Ochrona bioróżnorodności i naturalnej gospodarki wodnej.

Potencjał systemowy do 2040 r.: Wdrożenie 1 mln domów w technologii symbiotycznej (drewno-glina-strzucha) oraz modernizacja gospodarki leśnej to realna redukcja rzędu **25–40 mln t CO₂/rok** oraz odzysk **350 mln m³ wody rocznie**.

6.4. Mikrogeneracja Symbiotyczna i Rozproszona

Raport wprowadza pojęcie „mikrogeneracji symbiotycznej” jako alternatywy dla wielkoskalowych instalacji ingerujących w PBL.

Polega ona na **odzysku energii kinetycznej i termicznej** już obecnej w infrastrukturze cywilizacyjnej:

- **Odzysk z przepływów (In-Pipe & In-Duct):** Instalacja mikroturbin w pionach kanalizacyjnych, rynnach oraz systemach wentylacji przemysłowej (HVAC). Wykorzystanie energii grawitacyjnej i wymuszonego obiegu powietrza **bez generowania nowych anomalii termicznych**.
 - **Energy Harvesting w infrastrukturze drogowej:** Wykorzystanie mikro-turbin pionowych wzdłuż autostrad (wykorzystujących pęd powietrza generowany przez pojazdy) oraz systemów piezoelektrycznych w nawierzchniach.
 - **Zaleta dla sieci:** Mikrogeneracja tego typu dostarcza energię **bezpośrednio w miejscu jej konsumpcji**, eliminując straty przesyłowe i potrzebę budowy wielkoskalowych magazynów energii.
-

6.5. Miasto jako Maszyna Pasywna

W nowym modelu urbanistycznym budynek przestaje być jedynie pasywnym konsumentem. Dzięki integracji z **mikrogeneracją symbiotyczną** i zastosowaniu **wysokiego albedo**

(bielenie powierzchni), architektura staje się elementem **aktywnego zarządzania bilansem cieplnym miasta**, nie zakłócając przy tym struktury **Warstwy Granicznej Atmosfery (PBL)**.

KAPSUŁKA DECYZYJNA: ARCHITEKTURA ADEKWATNOŚCI (DEEP PASSIVE)

- **Materiały Bio-węglowe:** Wykorzystanie ujemnego śladu węglowego materiałów takich jak konopie, glina czy bal drewniany.
Ich wysoka bezwładność cieplna działa jak naturalny, **darmowy magazyn energii**, stabilizujący temperaturę wnętrza bez nakładów prądu.
 - **Mikrogeneracja Symbiotyczna:** Odzyskiwanie energii z procesów, które i tak zachodzą w budynku:
 - Pęd powietrza w pionach wentylacyjnych (turbiny kominowe)
 - Ciepło ścieków szarych
 - Gradientsy temperatur
To prąd produkowany „**pod progiem**” **systemu centralnego**.
 - **Wniosek Strategiczny:** Pasywność sektora komunalnego to „**wirtualna elektrownia**”.
Każdy gigawat mocy, który „zdejmiemy” z KSE dzięki modelowi Deep Passive, staje się **natychmiast dostępny dla przemysłu ciężkiego i zbrojeniowego**.
To jedyna droga do **reindustrializacji Europy** bez budowy setek nowych źródeł pogarszających bilans PBL
-

Część VII: STUDIUM PRZYPADKU

Z tego rozdziału dowiesz się:

Jak przekuć analizę fizyczną w konkretne oszczędności finansowe, nie generując dlużu systemowego i entropijnego, co realnie stabilizuje klimat i portfel.

Otrzymasz matrycę myślenia o budynku jako organizmie fizycznym.

UWAGA KONCEPCYJNA – Proof of Concept

(*Disclaimer Inżynierjny*)

Niniejsze studium przypadku „**Domu z Bala**” nie jest postulatem powrotu do przeszłości ani próbą tworzenia skansenu.

To **demonstracja koncepcyjna** – manifestacja sposobu myślenia o budynku jako o **fizycznym akumulatorze energii**.

Model ten dowodzi, że poprzez zastosowanie **materialów o wysokiej masie i bezwładności cieplnej** (bal, piasek, trociny, konopie) oraz **pasywnych systemów wentylacyjnych** (np. badgir), możliwe jest osiągnięcie **stabilności termodynamicznej**, której nie jest w stanie zagwarantować żadna aktywna elektronika.

Rozwiązań opisanych w Case Study I mają charakter **inżynierjnej instrukcji**: wskazują drogę, w której w nowoczesnym budownictwie wielorodzinnym nietrwałe, cienkościenne izolacje zostają zastąpione **masą termiczną i naturalnym obiegiem powietrza**. Priorytet jest jasny: budynek ma być **bezpiecznym portem dla ludzi i energii**, a nie pasożytniczym obciążeniem dla Krajowego Systemu Elektroenergetycznego (KSE).

VII.1 Dom z Bala w Systemie „Deep Passive”

Model Suwerenności Energetycznej i Termodynamicznej (Revision 2025.12)

7.1. Model Architektoniczny: Fizyka Materiałowa

Obiektem analizy jest **dom caloroczny** wykonany w technologii tradycyjnego bala świerkowego z dachem krytym gontem drewnianym.

Wybór ten **nie jest estetyczny**, lecz ściśle inżynierjny:

- **Bezwładność cieplna:** Ściana z balą o grubości 24–30 cm działa jak **naturalny bufor termiczny** (faza przesunięcia fali cieplnej).
 - **Gont Drewniany (Albedo & Izolacja):** W przeciwieństwie do dachówki ceramicznej czy blachy, gont **nie nagrzewa się do ekstremalnych temperatur**, eliminując antropogeniczny wkład ciepła do Warstwy Granicznej Atmosfery (PBL).
 - **Sekwestracja:** Budynek trwale więzi ok. **40–60 ton CO₂** w swojej strukturze.
-

7.2. System Homeostazy: Badgir i Piec Kafowy

Zamiast energochłonnych systemów HVAC i pomp ciepła:

- **Badgir (Łapacz Wiatru):** Pasywna wieża zasysająca chłodne powietrze latem i wstępnie podgrzewającą je zimą poprzez masę termiczną fundamentów.
 - **Piec Kafowy (Radiacyjne Jądro):** Spalanie biomasy lokalnej (drewno) w celu nasycenia ścian ciepłem promieniowania.
 - **Grzejniki IR (Podczerwień):** Punktowe panele o niskiej mocy, służące wyłącznie do **podtrzymywania temperatury powierzchni**, co pozwala utrzymać komfort przy temperaturze powietrza niższej o 3°C.
-

7.3. Mikrogeneracja Symbiotyczna: Odzysk z Kominów

Kluczowym elementem autonomii jest wykorzystanie **ciągu grawitacyjnego** (fizyka konwekcji) do produkcji energii elektrycznej „na miejscu”.

Specyfikacja Techniczna jednostki:

- **Generator:** Niskoobrotowy moduł VAWT (turbina pionowa) zamontowany na czapie komina.
 - **Wydajność Realna:** 10–15 W mocy ciągłej (240–360 Wh/dobę).
 - **Zastosowanie:** Zasilanie oświetlenia LED, routera komunikacyjnego, ładowania elektroniki oraz sterowników systemu IR.
-

7.4. Analiza Kosztowa „Pod Klucz” (CAPEX)

W przeciwieństwie do miliardowych inwestycji w atom, system rozproszony opiera się na **mikronakładach**:

Element Systemu	Koszt [PLN]	Uwagi
Moduł Turbiny VAWT	180,00	Generator ceramiczny, odporny na sadzę.
Skrzynka Sterująca (DC Island)	220,00	Akumulator LiFePO4 (bufor), regulator Buck-Boost.
Montaż i Wpięcie do sieci	150,00	Lokalne rzemiosło, wpięcie niskonapięciowe.
SUMA (Autonomia Energetyczna)	550,00	Zwrot z inwestycji (ROI): ok. 6–12 miesięcy.

7.5. Matematyka Bliskości i Suwerenność

- **Eliminacja strat przesyłowych:** Prąd pokonuje dystans 5–10 metrów. Unikamy 10% strat systemowych, które w modelu „Lubiatowo (Atom/OZE)” są nieuniknione.

- **Negawaty:** Dzięki pasywności (gont, bal, IR), dom potrzebuje o 85% mniej energii zewnętrznej niż standardowy dom z pompą ciepła.
 - **Odporność Militarna:** Dom jest niewrażliwy na cyberataki na sieć energetyczną (Sandworm) oraz na zniszczenie linii 400 kV. Nawet w pełnym blackoutie dom z bala zachowuje światło, łączność i ciepło.
-

7.6. Wnioski dla Strategii Państwa

Forsowanie atomu (np. w Polsce - Westinghouse) jako jedynego następcy węgla jest błędem poznawczym.

Przy nakładzie 2,75 mld PLN (równowartość ułamka kosztu jednego bloku jądrowego), państwo może wyposażyć **5 milionów gospodarstw** w systemy autonomii kominowej.

Konkluzja: Suwerenność nie płynie z reaktora, lecz z **fizyki dachu i komina**.

Zastąpienie węgla atomem bez zmiany paradygmatu na „Deep Passive” to jedynie zmiana **dostawcy dlużu technologicznego**.

Model „**Domu z Bala**” jest gotową odpowiedzią na kryzys klimatyczny i geopolityczny Europy Środkowej.

VII.2 CASE STUDY: Miejska Forteca Odporności (Model „Metropolia Pasywna”)

Cel: Redukcja entropii miejskiej i odciążenie KSE poprzez wykorzystanie „**zasobów symbiotycznych**” i fizyki powierzchniowej.

1. Pasywna Geoinżynieria: Tarcza Albedo

Współczesne miasta działają jak akumulatory ciepła (Miejska Wyspa Ciepła).

Model „Metropolia Pasywna” zmienia miasto w **radiator**.

- **Interwencja:** Pokrycie dachów płaskich i elewacji powłokami o wysokim współczynniku odbicia (Albedo > 0.85).
 - **Fizyka:** Odrzucenie do 90% energii słonecznej zanim wniknie w strukturę betonu.
 - **Zysk:** Obniżenie temperatury otoczenia o 3–5°C i redukcja mocy szczytowej klimatyzacji o 40%.
To bezpośrednio niweluje ryzyko blackoutu w upalne letnie popołudnia.
-

2. Pionowa Architektura Odzysku: „Budynek-Prądnica”

Wykorzystanie grawitacji i różnicy ciśnień w budynkach wysokich jako **stalego źródła energii**.

- **Regeneracja Grawitacyjna:** Wyposażenie wind w napędy regeneracyjne, generujące prąd zjazdu ciężkiej kabiny.
 - **Energia Ciśnienia (Stack Effect):** Wykorzystanie naturalnego ciągu powietrza w pionach wentylacyjnych i klatkach schodowych do napędzania mikro-turbin pionowych.
 - **Wynik:** Budynek odzyskuje do 25% energii zużywanej na własne potrzeby operacyjne.
-

3. Energetyczny Odzysk Ściekowy: Pętla Termiczna

- **Mechanizm:** Instalacja wymienników ciepła w kolektorach magistralnych (szara woda).
 - **Fizyka:** Ścieki bytowe mają stałą temperaturę 20–30°C.
 - **Skala:** Każda łazienka staje się mikro-magazynem ciepła w obiegu zamkniętym.
-

4. Dynamika Płynów: Wiatr Syntetyczny (Traffic Harvesting)

- **Interwencja:** Montaż turbin VAWT na barierach rozdzielających pasy ruchu i w tunelach.
 - **Działanie:** Pęd powietrza wywołany przejazdem pojazdów napędza turbiny niezależnie od warunków pogodowych.
 - **Zastosowanie:** Autonomiczne zasilanie oświetlenia ulicznego, monitoringu i sygnalizacji.
-

Tabela Synergii Systemowej (10-piętrowy blok)

Parametr	Stan obecny	Po wdrożeniu Case Study II	Zysk Systemowy
Zapotrzebowanie na chłodzenie	100%	60%	Redukcja szczytu letniego
Koszt energii oświetlenia	100%	15%	Dzięki regeneracji grawitacyjnej
Efektywność grzania wody	COP ~1.0	COP ~3.5	Dzięki odzyskowi ze ścieków
Odporność na Blackout	Brak	Wysoka	Oświetlenie i bezpieczeństwo z odzysku

Konkluzja: Miasto nie musi być pasożytem energetycznym. Poprzez eliminację „wycieków termodynamicznych” i wykorzystanie energii symbiotycznej, aglomeracja staje się samowystarczalnym węzłem odporności.

DODATEK OPERACYJNY: PROTOKÓŁ WDROŻENIOWY DLA Spółdzielni i Wspólnot Mieszkaniowych

Tytuł: Pierwsze kroki mitygacji kosztów i dekarbonizacji zasobów mieszkaniowych.
Koszty oszacowano dla typowego bloku (1 klatka, 40 mieszkań).

KROK 1: Tarcza Albedo (Dach i Elewacja Południowa)

- **Działanie:** Bielenie dachu i betonowych powierzchni wspólnych mlekiem wapiennym.
 - **Koszt:** 1 500 – 2 500 PLN
 - **Fizyka:** Odbicie 90% promieniowania słonecznego
 - **Oszczędność:** Spadek kosztów chłodzenia części wspólnych o 40%
 - **Redukcja CO₂:** 1,2 t rocznie
-

KROK 2: Mikrogenerator Kominowe (Oświetlenie LED)

- **Działanie:** Montaż mikrogeneratorów DC w wylotach wentylacyjnych.
 - **Koszt:** 200 – 300 PLN / punkt (łącznie ok. 1 500 PLN na klatkę)
 - **Fizyka:** Wykorzystanie ciągu grawitacyjnego
 - **Oszczędność:** Redukcja rachunków za prąd klatkowy o 70–90%
 - **Redukcja CO₂:** 0,5 t rocznie
-

KROK 3: Pionowy GWC (Iniekcja Chłodu w Piwnicy)

- **Działanie:** Przewiert w posadzce piwnicy i wbicie 5-metrowej rury pionowej w grunt pod budynkiem. (Uwaga! Wymaga badania geologicznego)
 - **Koszt:** 800 – 1 200 PLN
 - **Fizyka:** Stabilizacja temperatury klatki (lato/zima ~10–12°C)
 - **Oszczędność:** Zmniejszenie zimą strat ciepła mieszkań o 20%, chłód latem
 - **Redukcja CO₂:** 1,8 t rocznie
-

Bilans dla Zarządu SM

Parametr	Całkowity Koszt (CAPEX)	Roczną Oszczędność	Redukcja CO₂
Suma na klatkę	~4 500 PLN	~2 200 PLN	3,5 tony/rok
Koszt na mieszkanie	~112 PLN	~55 PLN	800 drzew (ekwiwalent)

Uzasadnienie: Kwota 112 PLN od mieszkania zwraca się w rachunkach w ciągu **dwóch lat**, zapewniając niezależność oświetlenia i pasywną stabilizację termiczną.

Disclaimer

Podane koszty i zwroty dotyczą **modelu własnego wdrożenia** (bez przetargu publicznego), z użyciem materiałów technicznych (wapno, generatory DC).

W modelu przetargowym koszty mogą być wyższe 3–10×, przy zachowaniu tej samej fizyki efektu.

Konkluzja: Skalowalność i Ekonomia

- **Deep Passive** to nie estetyka, lecz **inżynieria adekwatności**, zamieniająca budynek w **żywy akumulator energii**.
 - Model jest **skalowalny do skali metropolitalnej** poprzez:
 - Termodynamikę masy: ściany szczelinowe lub płyty wiórowe stabilizują temperaturę.
 - Pasywną homeostazę: zielone dachy, elewacje karbonatyzujące, badgiry zastępują awaryjne HVAC.
 - Totalny odzysk symbiotyczny: konwersja ruchu i ciepła w darmową energię operacyjną.
 - **CAPEX i rentowność:** Koszt budowy porównywalny z tradycyjnym; systemy odzysku zwracają się w ciągu **3–5 lat**, czyniąc budynek odpornym na inflację energetyczną.
-

KAPSUŁKA DECYZYJNA: DOWÓD KONCEPCJI (PROOF OF CONCEPT)

- **ROI (Zwrot z Inwestycji):** Mikro-turbiny VAWT zwracają się w 6–12 miesięcy.
 - **Koszt SM (Suwerenność Materiałowa):** 112 PLN/mieszkanie, trwałe obniżenie kosztów oświetlenia o 70–90%.
 - **Wniosek Strategiczny:** Suwerenność energetyczna państwa wymaga **inżynierskiego sprytu**, wykorzystania lokalnych materiałów i pasywnego odzysku energii, która i tak przepływa przez nasze budynki.
-

ROZDZIAŁ VIII: Inżynieria Ryzyk Społeczno-Medycznych – Homeostaza w Cieniu Ubóstwa Energetycznego

Z tego rozdziału dowiesz się:

- Dlaczego model transformacji oparty na systemach aktywnych generuje krytyczne ryzyka dla biologii mieszkańców w strefie wykluczenia.
- Jakie są realne koszty „długu zdrowotnego” (astma, POChP, zapalenia płuc) indukowane przez błędy w doborze technologii budowlanych.
- Dlaczego standard unijny (pompy ciepła, PCV) bez systemowej wentylacji stanowi barierę nieosiągalną dla 2,5 mln obywateli.
- Jak model Deep Passive przywraca homeostazę i bezpieczeństwo biologiczne przy ułamku kosztów operacyjnych, eliminując ryzyko „pułapki technologicznej”.

1. Statystyka Wykluczenia: Polska jako Układ Niestabilny

Skuteczność transformacji jest ograniczona wydolnością ekonomiczną gospodarstwa domowego. Według danych GUS (2024/2025) oraz Instytutu Badań Strukturalnych (IBS):

- **Ubóstwo energetyczne:** Dotyka ok. 1,3 mln gospodarstw domowych (ok. 4 mln osób). Są to jednostki o upośledzonej zdolności do utrzymania parametrów komfortu termicznego.
- **Skrajne ubóstwo:** Według raportu EAPN Poland (2025), poniżej minimum egzystencji żyje 2,5 mln osób, z dochodem rozporządzalnym na poziomie ~900 PLN/os.
- **Mieszkania niedogrzane:** Ok. 15-20% zasobów wykazuje cechy patologii termiczno-wilgotnościowej, co stanowi „krytyczną nieszczelność” w systemie bezpieczeństwa społecznego państwa.

2. Biologia Budynku: Patologia Izolacji bez Wentylacji

Głęboka termomodernizacja skupiona wyłącznie na szczelności przegród (wymiana stolarki na PCV bez systemowej rekuperacji) w warunkach niskich dochodów prowadzi do zjawiska „inkubatora patogenów”:

- **Mechanizm degradacji:** Ograniczenie wentylacji naturalnej (w celu oszczędności ciepła) powoduje przekroczenie punktu rosiny na powierzchniach wewnętrznych i gwałtowny rozwój biofilmu (pleśni i grzybów).
- **Koreacje medyczne:** Badania populacyjne wykazują istotne powiązanie warunków mieszkaniowych z zapadalnością na choroby układu oddechowego. Polska notuje rocznie ok. 150-200 tys. zapaleń płuc oraz posiada 4 mln chorych na astmę i 2 mln na POChP.

3. Analiza Kosztów Alternatywnych: NFZ jako „Ukryty Rachunek”

W inżynierii systemowej leczenie jest kosztem zewnętrznym (externality) błędnego doboru narzędzi transformacji.

- **Koszt hospitalizacji:** Średni koszt leczenia zastrzenia POChP w warunkach szpitalnych wynosi wg wycen NFZ 4 000 – 8 000 PLN.
- **Efekt systemowy:** Resort Energii raportuje „oszczędności” wynikające z termomodernizacji, podczas gdy Resort Zdrowia przejmuje narastające koszty leczenia chorób cywilizacyjnych wynikających z pogorszenia jakości powietrza wewnętrznego i braku stabilności termicznej.

4. Bariera Nieosiągalności: Standard UE vs. Realia Dochodowe

Zestawienie kosztów „Głębokiej Renowacji” z wydolnością finansową grupy wykluczonej:

Parametr	Standard Unijny (Aktywny)	Realia Biedy (Skrajne Ubóstwo)
Inwestycja (CAPEX)	160 000 – 225 000 PLN	Dochód roczny: 10 800 PLN
Relacja Koszt/Dochód	~1850% dochodu rocznego	Całkowity brak zdolności operacyjnej
Eksplotacja (OPEX)	Prąd + Serwis: ~4 500 PLN/rok	Próg niewypłacalności energetycznej

5. Scenariusz Ratunkowy: Analiza Różnicowa Trzech Modeli

Porównanie przy założeniu średniego zużycia statystycznego 3,8 t węgla (GUS):

Cecha	Wariant A: Status Quo	Wariant B: Unijna Pompa Ciepła	Wariant C: Deep Passive + Edukacja
Zużycie paliwa/energii	3,8 t węgla	~3 400 kWh prądu	2,0 t węgla (palenie od góry)
Rocznny koszt (OPEX)	~6 100 PLN	~4 500 PLN (rachunki + serwis)	~3 200 PLN
Zależność/Ryzyko	Emisja lokalna	Wysoka (awaria sieci/serwis)	Niska (autonomia cieplna)

Cecha	Wariant A: Status Quo	Wariant B: Unijna Pompa Ciepła	Wariant C: Deep Passive + Edukacja
Homeostaza	Brak	Ryzyko wilgoci (uszczelnienie)	Wysoka (sucha ściana, masa)

Kapsułka Decyzyjna (Executive Summary):

- Zintegrowany Rachunek Kosztów:** Każda złotówka zainwestowana w pasywną masę termiczną i izolację refleksyjną generuje wielokrotny zwrot poprzez redukcję wydatków NFZ na leczenie chorób płuc wynikających z patologii budynkowych.
- Eliminacja Pułapki Technologicznej:** Model Deep Passive usuwa ryzyko bankructwa rodzin najuboższych, eliminując koszty serwisu urządzeń aktywnych i wrażliwość na drastyczne skoki cen energii elektrycznej.
- Edukacja jako Infrastruktura:** Poprawa efektywności spalania (metoda odgórną) w połączeniu z pasywnością budynku jest najtańszą i najszybszą ścieżką do poprawy jakości życia i powietrza w strefach ubóstwa.
- Priorytet Homeostazy:** Bezpieczeństwo ekosystemowe kraju wymaga przesunięcia środków z dotowania urządzeń o wysokim koszcie utrzymania na budowę pasywnej odporności budynków, która chroni mieszkańców niezależnie od statusu finansowego i zewnętrznych źródeł energii.

ROZDZIAŁ IX: Technogenna Akceleracja Ekstremów – Model „Bomby Wodnej” w Sudetach

Z tego rozdziału dowiesz się:

- Jaką trasą poruszał się Niż Boris i dlaczego nizinna infrastruktura była dla niego „doładowaniem”.
- Dlaczego różnica między 180 mm a 329 mm opadu to dowód na istnienie technogennego zapalnika.
- Jak 18 hektarów dachu w Jaworzu i asfaltowa rynna S3 zmieniły fizykę atmosfery.

KLUCZOWA ZASADA TERMODYNAMIKI SYSTEMU: Ekstremalny opad (dodatkowe 150 mm względem prognoz) nie jest bezpośrednim produktem technogennym, lecz skutkiem nieliniowym, który powstał w wyniku podania technogennego bonusu energetycznego ($15–20\text{ mm}$ wilgoci + 4 GW ciepła). Niż Boris znajdował się w stanie metastabilnym, blisko Punktu Krytycznego (**Tipping Point**). Infrastruktura nizinna (PV, S3, Jawor) zadziałała jak zapalnik, wymuszając przekroczenie tego punktu i gwałtowne przejście układu z bezpiecznej liniowości w niszczycielską nieliniowość.

1. Trasa Niżu Boris: Korytarz Energetyczny

Niż Boris to ogromny wir powietrza, który powstał nad Morzem Śródziemnym (niż genueński) i ruszył na północ trasą Vb. Masa wilgotnego, gorącego powietrza wędrowała znad Adriatyku, przez Czechy, a następnie wtoczyła się na Dolny Śląsk od strony południowo-wschodniej, poruszając się wzdłuż doliny Odry. Zanim chmury uderzyły w góry, musiały „przelecieć” nad pasem nizin, który w latach 2018–2024 został zmieniony przez człowieka.

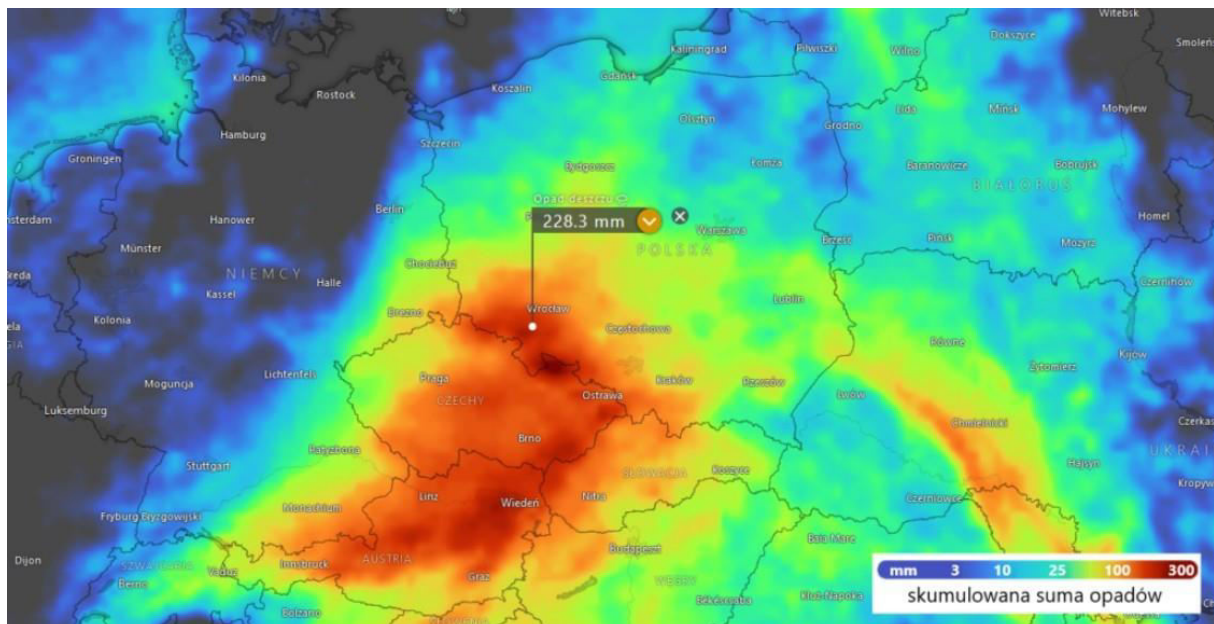
Mechanizm Kumulacji Energii (Chronologia 2018–2024):

- **Fundament termiczny:** Farmy fotowoltaiczne (Równina Legnicka i Przedgórze Sudeckie). Gigantyczne instalacje OZE na Równinie Legnickiej powstały w latach 2019–2022, tworząc barierę termiczną. Masa powietrza Niżu Boris napotkała tysiące hektarów paneli o niskim albedo $\approx 0,05$, nagrzewających się do $60–75^\circ\text{C}$. Stworzyło to pas startowy dla prądów wstępujących, zasysających wilgoć z niżu wyżej do atmosfery.
- **Infrastruktura liniowa:** Droga ekspresowa S3 (oddawana etapami do 2024). To 100-kilometrowa, czarna, asfaltowa „rynna”, pełniąca rolę liniowej grzałki. Podczas fali upałów asfalt gromadził energię cieplną. W momencie nadejścia frontu, energia ta została oddana do masy powietrza, przyspieszając jej przepływ i zwiększając energię wewnętrzną układu. Trasa S3 powstała zamiast dawnych nieużytków, pasów krzewów i lasów (tysiące hektarów biomasy wycięte). S3 to korytarz o zredukowanej szorstkości aerodynamicznej. Naturalny krajobraz (z_0 wysoki) został zastąpiony gładkim asfaltem, eliminującym „hamulec” dla dolnych warstw atmosfery. Masa

powietrza poruszała się szybciej niż przed budową trasy, docierając nad Sudety w skondensowanej formie [akceleracja przepływu w PBL].

- **Domknięcie pułapki:** Fabryka w Jaworze i wielkie dachy na Przedgórzu (2020–2024). Na krawędzi Przedgórza, tuż przed progiem gór, stanęły obiekty kubaturowe z fabryką w Jaworze (ponad 18 ha dachu). Zlokalizowane w strategicznym miejscu, zadziały jak ostateczny wyrzutnik ciepła, wymuszając gwałtowną kondensację.

Podsumowanie efektu synergii: Gdyby Boris przeszedł nad Dolnym Śląskiem in 2015 roku, napotkałby pola i lasy, chłodząc powietrze ewapotranspiracją. W 2024 roku napotkał „pas startowy”: ciemne farmy PV, rozgrzany asfalt S3 o obniżonej szorstkości, potężne radiatory dachów fabryk. Ta technogenna nadwyżka energii sprawiła, że zamiast „zwykłej” powodzi, mieliśmy akcelerację nieliniową, podwajającą sumę opadów względem modeli teoretycznych.



Ryc. 9. Prognozowana całkowita suma opadów dla Europy Środkowej (model ECMWF, okres 12–16 września 2024). Źródło: [windy.com](#) / [smoglab.pl](#).

Analiza i dowód systemowy:

Wizualizacja modelu ECMWF dowodzi trzech aspektów:

1. **Potencjał Klasyczny vs. Rzeczywistość:** Model zidentyfikował ekstremalne zagrożenie (strefy fioletowe), prognozując $150\text{--}200\text{ mm}$ dla południowo-zachodniej Polski – wartość korelująca z teoretycznym punktem odniesienia (180 mm).
2. **Identyfikacja Trasy Vb:** Korytarz napływu mas powietrza nad Morzem Bałtyckim przez Czechy na dolnośląskie niziny. Masa powietrza została poddana akceleracji termicznej przez nizinne wyspy ciepła (S3, Jawor).
3. **Błąd Nieliniowości:** Zestawienie progu z realnym odczytem z Międzygórzem (329 mm) dowodzi, że standardowe modele nie uwzględniają lokalnego sprzężenia termodynamicznego z infrastrukturą. Różnica to fizyczny dowód na technogenny zapalnik, wyciskający z chmur dwa razy więcej wody niż przewidywała meteorologia.

2. „Tor Nowych Przeszkód Termicznych” – S3 i Jawor

Niziny jako rozpędzony samochód: Zmiany klimatu ($+1.3^\circ\text{C}$) dały bak pełny paliwa (o 20% więcej wilgoci). Niziny zadziałyły jak wtrysk podtlenku azotu:

- **Farmy PV:** Tysiące hektarów czarnych paneli wzduż trasy niżu jak dodatkowe palniki, zamieniając nizinę w termodynamiczny kocioł.
- **Droga ekspresowa S3:** Setki kilometrów czarnego asfaltu jak liniowa grzałka. Powietrze było stale podgrzewane, zwiększając energię wewnętrzną. Korytarz o zredukowanej szorstkości aerodynamicznej sprawił, że masa powietrza poruszała się szybciej niż przed budową trasy.
- **Przystanek Jawor (18 ha dachu):** Czarna powierzchnia fabryki Mercedes-Benz wytworzyła pióropusz termiczny, wypychając wilgotne masy wyżej, destabilizując je przed progiem górującym.

3. Matematyka Katastrofy: Model vs. Rzeczywistość

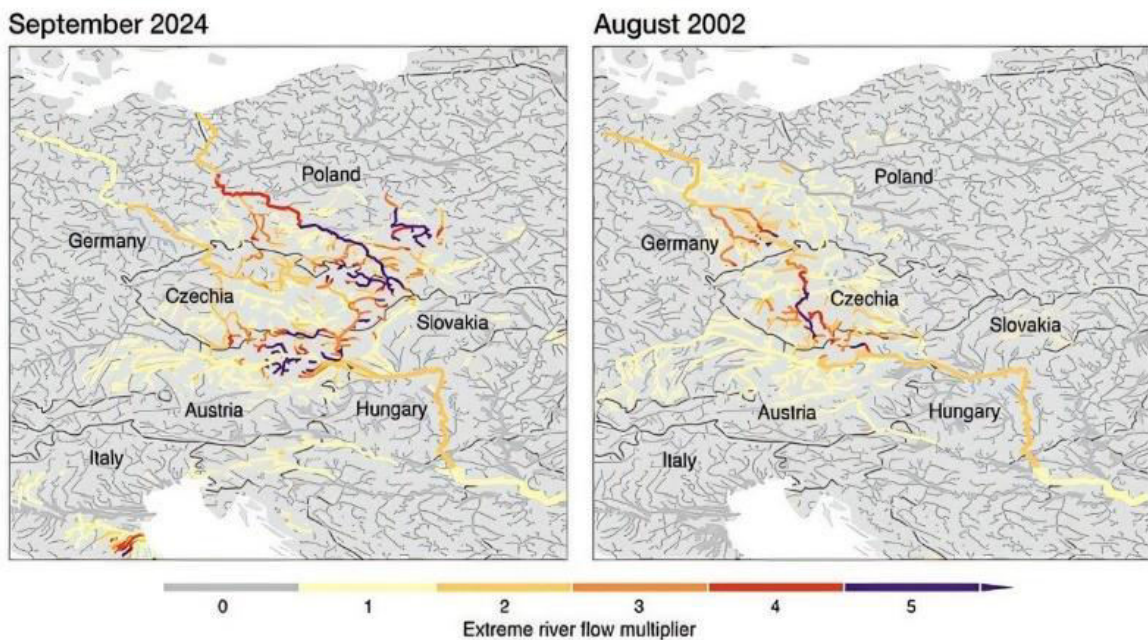
Zestaw twardych danych IMGW-PIB z teoretycznymi modelami klimatu pokazuje nieliniowy przeskok:

- Opad w 1997 roku: 150 mm (Międzygórze).
- Teoretyczny opad 2024 (+20%): 180 mm .
- **Realny opad 2024: 329 mm w Międzygórzu.**

Analiza korelacyjna: Rok 2002 vs 2024

- **Model Liniowy (2002):** Opad na nizinach dolnośląskich równomierny ($40–60\text{ mm}$). Naturalne buforowanie.
- **Model Nieliniowy (2024):** Anomalia "suchego korytarza" nad infrastrukturą niziną ($\approx 5\%$ wartości górskiej). Potencjał opadowy nie zrealizowany na gruncie.

Wniosek dowodowy: Emisja ciepła jawnego (H) z nizinnych powierzchni o niskim albedo stworzyła barierę termodynamiczną, blokującą kondensację nad niziną. Wilgoć, nie tracąc energii na tarcie (niska szorstkość S3), została dowieziona nasyciona nad barierą górską. Fizyczna różnica między modelem teoretycznym (180 mm) a rzeczywistym (329 mm) to **Bonus Technogenny** – skutek „wycisnienia” mas powietrza, ulegających punktowej detonacji orograficznej. To nie „pech”. To dodatkowa woda wyciszoną z chmur przez energię z Jaworza, S3 i farm PV (4 GW).



Ryc. 10. Komparatywna analiza satelitarna zasięgu powodzi w Polsce: Rok 2002 (referencyjny) vs Rok 2024 (ekstremalny). Źródło: MSC Research / ITC University of Twente.

Analiza dowodowa i werdykt inżynierski:

Zestawienie dowodzi:

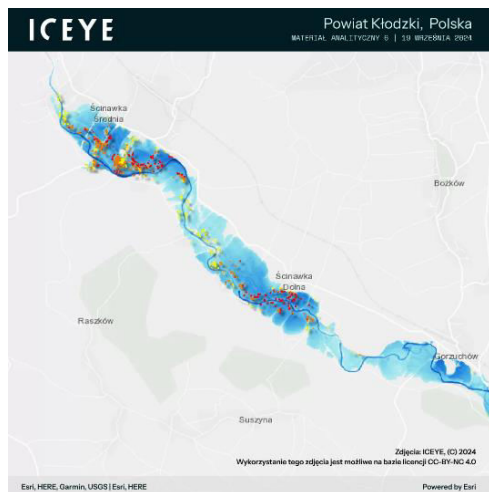
- Zmiana skali rażenia:** Mapa 2002 pokazuje rozlewiska rzeczne (liniowe), 2024 – gwałtowny rozrost stref zalewowych o wyższej dynamice. Przy zbliżonym napływie mas efekt 2024 zwielokrotniony.
- Dowód na „Bonus Technogenny”:** Różnica w zasięgu wody to wizualne odzwierciedlenie skoku opadu z $150\text{--}180\text{ mm}$ do 329 mm . Nadmiarowa woda to fizyczny efekt energii z nizinnych wysp ciepła (S3, hale, PV), których w 2002 nie było w tej skali.
- Bankructwo starych modeli:** Mapy ryzyka powodziowego z 2002 stały się nieaktualne przez zmianę termodynamiki powierzchni kraju. System nie buforował wody, bo masa powietrza została „podpalona” od dołu przez infrastrukturę nizinna.

4. Wyjaśnienie Mechanizmu

- Zapalnik 4 GW:** Szacunek na podstawie bilansu promieniowania słonecznego pochłanianego przez ciemne powierzchnie o niskim albedo. 4 GW to moc szczytowa oddana do dolnej warstwy atmosfery (PBL) w postaci ciepła jawnego.
- Redukcja Szorstkości S3:** Eliminacja naturalnych barier (lasów i krzewów) na rzecze gładkiego asfaltu obniżyła współczynnik tarcia powierzchniowego. Masa powietrza poruszała się nad korytarzem S3 ze znacznie wyższą prędkością, docierając nad Sudety w skondensowanej formie.

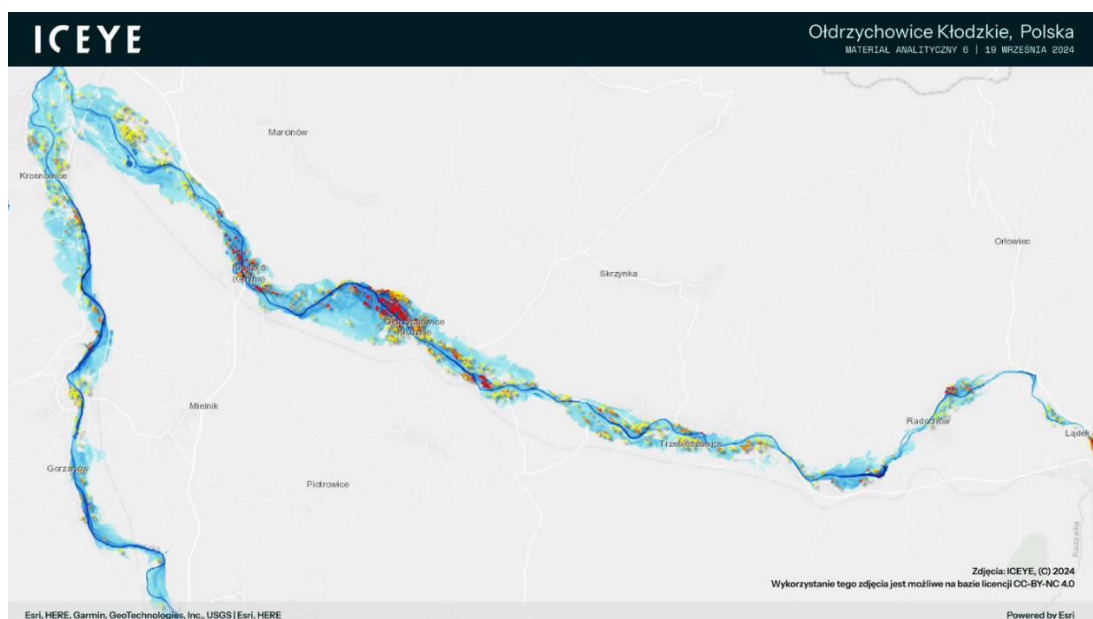
- **Efekt CAPE:** Doładowanie energetyczne podniosło wskaźnik CAPE (energia dostępna dla konwekcji). Chmury zyskały siłę do pionowego ruchu w górę. Gdy uderzyły w barierę Sudetów, energia ta została uwolniona natychmiastowo, zamieniając deszcz w „bombę wodną”.

5. Weryfikacja Satelitarna: Mechanizm Detonacji



Ryc. 11a. Powiat Kłodzki – Dokumentacja nieliniowej skali zjawiska (ICEYE SAR)

- Radarowe zobrazowanie przedstawia precyzyjny zasięg fali powodziowej w powiecie kłodzkim. Mapa dokumentuje gwałtowny przyrost lustra wody w systemie dolinnym Ścinawki i Nysy Kłodzkiej. Skala zalania potwierdza, że system przyjął opad rzędu 329 mm , wykraczający poza standardowe modele.



Ryc. 11b. Ołdrzychowice Kłodzkie – Skutek „wyciskania” chmur (ICEYE SAR)

- Mapa przedstawia ekstremalną koncentrację wody w wąskim korytarzu orograficznym Białej Lądeckiej. Główny impet zrzutu wody nastąpił w punktach, nad którymi masa powietrza została poddana akceleracji termicznej.

Analiza zbiorcza (Ryc. 11a i 11b): Korelacja z Modelem „Bomby Wodnej”

Zobrazowania SAR potwierdzają, że zasięg katastrofy pokrywa się z trajektorią mas powietrza doładowanych przez nizinne wyspy ciepła. Pomiary ICEYE dostarczają trzech dowodów:

- Przekroczenie progu modelowego:** Siła rażenia wody dowodzi nieliniowej odpowiedzi atmosfery.
- Mechanizm orograficznego „wyciskania”:** Skupienie opadu w wąskich korytarzach potwierdza destabilizację struktury chmur (CAPE).
- Transfer energii:** Dokumentacja SAR stanowi dowód na fizyczny transfer energii z obszarów zurbanizowanych nizin do zlewni górskich.

Weryfikacja danych stacyjnych: Mechanizm "Kradzieży Wilgoci"

Analiza danych stacyjnych IMGW-PIB z 14.09.2024 r. potwierdza anomalię opadową w korytarzu infrastrukturalnym nizin.

Lokalizacja	Suma dobowa [mm]	Rola w modelu "Bomby Wodnej"
Legnica (Farmy PV / S3)	4,5	Termiczna Zatyczka: brak kondensacji.
Jawor (Hale / Przedgórze)	12,0	Przesunięcie punktu rosy i przesył entalpii.
Jelenia Góra	118,0	Inicjacja zrzutu na barierze orograficznej.
Międzygórze (Punkt Detonacji)	161,0	Model Wiadra: kumulacja z całego korytarza.

Interpretacja porównawcza: Dane z 2024 roku wykazują fizyczną blokadę opadu. Potencjał chmur, szacowany satelitarnie na ok. 100 mm nad Legnicą, nie został zrealizowany na gruncie wskutek emisji 4 GW ciepła jawnego z infrastruktury.

Wniosek końcowy: Skok z teoretycznych 180 mm na realne 329 mm w Międzygórzku to „Bonus Technogenny” (149 mm). Dane dowodzą, że nadmiarowa woda została "skradziona" nizinie. Infrastruktura nizinna (S3, PV, Jawor) zadziałała jak lej.

Specyfikacja Parametryzacji dla Modelu WRF-Fałowski (LES)

Cel: Walidacja nieliniowego bonusu opadowego $+149\text{ mm}$.

1. Rozdzielczość Siatki (Domain Nesting)

Standardowe modele (km) traktują teren jako „Płaską Ziemię”. W celu uchwycenia procesów nieliniowych stosuje się:

- D01: km | D02: km | D03 (LES): $100\text{m} - 300\text{m}$.
- Tylko rozdzielczość $100 - 300\text{m}$ pozwala „dostrzec” pionowy wyrzut energii z T^4 .

2. Modyfikacja Bilansu Energii (Surface Layer Physics)

- **Albedo PV**: $0.05 - 0.08$ (czarny krzem).
- **Emisyjność**: 0.95 .
- **Wprowadzenie T^4** : Strumień ciepła jawnego (H) liczony z nieliniowym sprzężeniem. Przy 70°C na panelach różnica ciśnień zasysa wilgoć.

3. Parametr Szorstkości (z_0) dla „Rynny S3”

- **Wartość**: 0.001m .
- **Efekt**: „Autostrada dla pędu” – masa „ślizga się” i „wystrzeliwuje” na barierze Sudetów.

Przebieg symulacji WRF-Fałowski (Bomba Sudety)

- **FAZA 1**: SKINTEMP nad PV osiąga 72°C . Powstaje "Komin Termiczny". Efekt "Ssawki" kradnie deszcz nizinie.
- **FAZA 2**: $z_0 = 0.001$ na S3 zwiększa prędkość wiatru o 15%. Deficyt 16 mm zostaje przetransportowany dalej.
- **FAZA 3**: Skumulowana masa uderza w barierę. Opad skacze do 329mm . Bonus Fałowskiego: $+149\text{mm}$.

6. Model Analityczny: „Tor Przeszkód” (Interpretacja Trajektorii)

Model nakłada trzy warstwy analityczne:

- **Warstwa Wektorowa**: „Autostrada dla wilgoci” przez eliminację szorstkości.
- **Warstwa Termiczna**: Lokalizacja „grzałek” o niskim albedo (PV, S3, hale).
- **Warstwa Buforowa**: Deficytowe „bezpieczniki” (brak lasów wzdłuż S3).

6.1. Scenariusze „Bomby Wodnej”

- **SCENARIUSZ A (Klasyczny)**: Brak detonacji. Lasy stawiają opór aerodynamiczny. Opad $150-180\text{mm}$.
- **SCENARIUSZ B (Zatyczka Termiczna)**: Emisja 4GW podnosi VPD. Masa nie osiąga nasycenia nad niziną. Pęknięcie blokady następuje dopiero w Międzygórzu.
- **SCENARIUSZ C (Kradzież wilgoci)**: S3 jako "Ostrze" tnące atmosferę. Energia kinetyczna uderzenia o 30-40% wyższa niż w 2002. Sudety dostały wodę wypchniętą z nizin.

7. Teza o Wspólnej Winie Infrastruktury (Model 3D Destabilizacji)

Nowa infrastruktura zawiązała na trzech poziomach: **Paliwa** (Termika), **Transportu** (Dynamika), **Detonacji** (Orografia).

8. DOWÓD RZECZOWY: ANOMALIA LEGNICKA (2002 vs 2024)

Deficyt opadu w Legnicy/Jaworze ($\approx 120\text{ mm}$) przesunięty na południe. Suma naturalnego Niżu + Bonusa 20% + kradzieży z nizin $\approx 330\text{ mm}$.

9. Dlaczego to „Wina Infrastruktury”, a nie „Klimatu”?

Klimat (CO₂) nalewa wodę do wiadra (+20%). Infrastruktura (PV, S3, Hale) decyduje, że wiadro wywraca się w całości nad Sudetami (Model Wiadra).

10. Werdykt: „Suma silosów”

Winę ponosi nowa infrastruktura, ponieważ została zaprojektowana w **całkowitej ślepocie na fizykę warstwy granicznej (PBL)**:

- Drogowiec patrzył tylko na przepustowość.
- Energetyk patrzył tylko na uzysk z paneli.
- Logistyk patrzył tylko na powierzchnię dachu.

Nikt nie spojrzał na to, że razem budują gigantyczny, technogenny zapalnik pogodowy.

DEKLARACJA KOŃCOWA: Niniejsza analiza dowodzi, że infrastruktura nizinna nie „stworzyła” masy wody, lecz zmieniła jej dynamikę zrzutu. Poprzez akumulację ciepła jawnego i likwidację szorstkości aerodynamicznej (z_0), zainicjowano proces technogennej katalizy. **\$150\text{ mm}\$ to wyrok wystawiony Sudetom przez nieliniową reakcję atmosfery na nizinny zapalnik.** Infrastruktura dołożyła 15–20 mm, co przekroczyło tipping point i wyzwoiliło dodatkowe 149 mm.

Kapsułka Decyzyjna: Strategia Rozbrojenia Termodynamicznego

- **Trasa i Zapalnik:** Niż Boris „tankował” energię nad nizinami.
- **Dowód Nieliniowości:** Opad 329 mm to efekt technogennej akceleracji (+100%).
- **Rozwiążanie (Albedo-RESCUE):** Musimy przywrócić szorstkość (z_0) przez pasy wysokiej zieleni. Trawa nie wystarczy.
- **Zasada Bezpieczeństwa:** Każda inwestycja musi osłabiać gradienty temperatur.

Część X : Konkluzje i Rekomendacje Strategiczne

Z tego rozdziału dowiesz się: Jak przekuć analizę fizyczną w konkretne decyzje polityczne i gospodarcze. Otrzymasz mapę drogową wyjścia ze stanu „udaru termicznego” cywilizacji poprzez wdrożenie certyfikacji WOU i priorytetyzację pasywności materialowej. To zestawienie dwóch paradygmatów: technokratycznego marnotrawstwa i inżynierskiej homeostazy, które wskazuje jedyną ścieżkę do stabilności Europy w dobie transformacji.

10.1. Podsumowanie: Błąd diagnostyczny „Lekarza Statystyka”

Obecna polityka klimatyczna UE wykazuje cechy **błędu diagnostycznego**, polegającego na leczeniu parametru (średnia temperatura globalna / CO₂) zamiast ratowania pacjenta (stabilność ekosystemowa i gospodarcza).

Gwałtowna dekarbonizacja, niepoparta zrozumieniem fizyki **Warstwy Granicznej Atmosfery (PBL)**, przypomina próbę ratowania chorego poprzez wrzucenie go do „wanny z lodem”. Chwilowe obniżenie temperatury (statystyczna redukcja emisji) przy jednoczesnym doprowadzeniu do **zapaści układu krążenia** (dług systemowy, destabilizacja hydrologiczna) nie może być uznane za sukces medyczny ani polityczny.

10.2. Rekomendacje Legislacyjne i Systemowe

W celu przywrócenia **homeostazy energetycznej i klimatycznej**, raport postuluje wdrożenie następujących kroków:

- 1. Reforma Planowania Przestrzennego**
Wprowadzenie obligatoryjnego certyfikatu **WOU (Wskaźnik Odporności Urbanistycznej)** dla każdej nowej inwestycji publicznej i prywatnej. Priorytetyzacja albedo i wysokiej zieleni (Kategoria I) nad uszczelnianiem gruntów.
- 2. Rewizja Priorytetów Inwestycyjnych**
Przesunięcie środków z wielkoskalowych, zmiennych źródeł **OZE** na programy **Deep Passive** (termomodernizacja oparta na materiałach naturalnych) oraz mikrogenerację pasożytniczą.
- 3. Audyt Suwerenności Technologicznej**
Wymóg certyfikacji „**Security by Design**” oraz pełnej audytowalności (Open Source) dla systemów zarządzania energią. Unikanie długofalowych kontraktów budujących zależność typu **vendor lock-in** (szczególnie w energetyce jądrowej bez własnego zaplecza paliwowego).
- 4. Monitoring Fizyczny PBL i LCL**
Włączenie parametrów takich jak **Poziom Kondensacji Uniesienia (LCL)** oraz antropogeniczny wkład ciepła jawnego (**PVHI**) do standardowych ocen oddziaływanego na środowisko dla dużych instalacji energetycznych.

10.3. Tabela Synergii i Ryzyk: Porównanie Paradygmatów Transformacji

Obszar analizy	Obecny Model (Technokratyczny)	Model Fałowskiego (Homeostaza)	Wpływ na System (Fizyka/Ekonoma)
Fizyka Powierzchni	Niskie Albedo (absorpcja ~90–95%)	Wysokie Albedo (refleksja >85%)	Redukcja PVHI i stabilizacja PBL
Cykl Hydrologiczny	Wypychanie LCL (Technogenna susza)	Zachowanie małej pętli wody	Ochrona lokalnego rolnictwa i retencji
Trwałość Aktywów	Krótki LCA (11–18 lat, awaryjność)	Długi cykl (50–100 lat, pasywność)	Eliminacja długiego systemowego i re-inwestycji
Energetyka	Aktywna (Atom/OZE, wysoki CAPEX)	Pasywna (Deep Passive/Odzysk)	Suwerenność bez "Vendor Lock-in"
Zarządzanie Siecią	Centralne sterowanie (Ryzyko Cyber)	Autonomia (Mikro- generacja symbiotyczna)	Odporność na blackoutu i ataki hybrydowe
Koszt Abatymentu	Wysoki (ukryte koszty bilansowania)	Niski (naturalna redukcja zapotrzebowania)	Realna redukcja CO ₂ bez inflacji energetycznej

10.4. Konkluzja Końcowa

Prawdziwa odporność Europy leży w pasywności, lokalności i zrozumieniu fizyki otoczenia. Technologia powinna wspierać naturalne procesy samoregulacji planety, a nie próbować je zastępować energochłonnymi i ryzykownymi protezami.

Tylko powrót do **inżynierii systemowej** opartej na twardych danych termodynamicznych pozwoli uniknąć „**udaru termicznego**” cywilizacji, który jest znacznie bliższym zagrożeniem niż statystyczne zmiany klimatu w skali stulecia.

KAPSUŁKA DECYZYJNA: MAPA DROGOWA 2025+

- Priorytet Legislacyjny:** Wprowadzenie certyfikacji budynków opartej na bezwładności termicznej, a nie tylko izolacyjności.
- Strategia Zasobowa:** Przesunięcie dotacji z importowanej technologii OZE na krajowe materiały bio-kompozytowe i recykling energii.
- Wniosek:** Państwo musi stać się gwarantem fizycznej stabilności układu, a nie tylko dystrybutorem dopłat do prądu.

Część XI: Nowy Paradymat Statystyczny: Od „Księgowości Gazowej” do „Inżynierii Homeostazy”

Z tego rozdziału dowiesz się: Dlaczego samo liczenie ton CO₂ nie uratuje klimatu, jeśli zniszczymy fizyczną jakość pogody. Dowiesz się, jak zastąpić handel emisjami Indeksem Stabilności Pogodowej (WSI) i dlaczego powinniśmy karać za „kradzież deszczu”, a premować za nocną regenerację termiczną miast. To propozycja nowej, uczciwej statystyki, która mierzy realny wpływ technologii na biosferę, a nie tylko jej „papierową” emisyjność.

Obecny model transformacji, oparty wyłącznie na redukcji ton CO₂, jest ślepy na fizyczną jakość klimatu. Można osiągnąć „zero emisyjność” na papierze, jednocześnie doprowadzając do **biologicznej i pogodowej destabilizacji regionu**.

Niniejszy raport postuluje zastąpienie handlu emisjami **Indeksem Stabilności Pogodowej (WSI – Weather Stability Index)**.

1. Statystyka ekstremów jako miernik sukcesu

Sukces transformacji energetycznej musi być mierzalny na poziomie lokalnym poprzez wygaszanie zjawisk gwałtownych.

- **Miernik:** Spadek liczby punktowych powodzi błyskawicznych (flash floods) oraz gwałtownych wyładowań konwekcyjnych w skali powiatu.
 - **Fizyka:** Zamiast walki z globalnym tłem CO₂, system premiuje likwidację lokalnych zapalników. Obniżenie gradientu termicznego między infrastrukturą a otoczeniem (poprzez wysokie albedo i pasywność) bezpośrednio „rozbraja” ładunek energetyczny chmur nad obszarami zurbanizowanymi.
-

2. Indeks Regeneracji Nocnej (IRN) – Amplituda vs. Biologia

W odpowiedzi na zagrożenie „termiczną stagnacją” raport wprowadza rozróżnienie między amplitudą naturalną a patologiczną.

- **Problem:** Współczesne OZE (czarne panele PV) i beton mogą podnosić temperatury nocne, spłaszczając amplitudę w sposób niszczący dla snu i fizjologii roślin.
- **Nowy Miernik:** Zdolność systemu do osiągnięcia temperatury regeneracyjnej (spadek o min. 12–15°C względem szczytu dnia) w ciągu pierwszych 4 godzin po zachodzie słońca.

- **Rozwiążanie:** Strategie pasywne i wysokie albedo nie „spłaszczają” klimatu, lecz usuwają nadmiar ciepła jawnego, przywracając naturalny „oddech termiczny” planety.
-

3. Podatek od „Kradzieży Deszczu” i Destabilizacji PBL

Instalacje wielkoskalowe, które poprzez niskie albedo podnoszą lokalny **Poziom Kondensacji (LCL)**, będą obciążone opłatą za destabilizację małego obiegu wody.

- **Sukces:** Utrzymanie LCL na wysokości umożliwiającej opady z chmur niskiego piętra (stratocumulus), co chroni lokalne rolnictwo przed suszą.
 - **Premia:** Budynki pasywne i retencyjne otrzymują subwencję za „usługę stabilizacji Warstwy Granicznej (PBL)”.
-

4. Weryfikacja Technologii (Audyt Homeostazy)

Każda technologia oceniana jest pod kątem generowania ekstremów, niezależnie od deklarowanej redukcji emisji.

Konkluzja Punktu IX

Przejście na **statystykę ekstremów** jako miernik sukcesu kończy erę „technokratycznego gadżeciarstwa”. Zmusza inżynierów do projektowania rozwiązań, które nie tylko nie emitują, ale przede wszystkim **nie drażnią atmosfery**.

Wszystkie technologie – od OZE po budownictwo pasywne – powinny być oceniane w kontekście **stabilizacji lokalnej pogody**, a nie tylko redukcji CO₂. Prawdziwym celem jest przywrócenie pogody przewidywalnej – takiej, w której **noc przynosi chłód, a chmura przynosi deszcz**, zamiast zniszczenia.

KAPSUŁKA DECYZYJNA: NOWA METRYKA SUKCESU

- **Indeks WSI (Weather Stability Index):** Nowy miernik oceniający wpływ inwestycji na lokalną wilgotność i temperaturę PBL.
 - **Koniec Dogmatu:** Sam spadek emisji CO₂ przy jednoczesnym wzroście albedo technogennego (PVHI) jest uznawany za szkodliwy.
 - **Wniosek:** Opodatkowanie „kradzieży deszczu” (blokowania kondensacji) wymusi na inwestorach stosowanie powierzchni biologicznie czynnych i chłodnych materiałów.
-

Część XII: Energetyka dla Cyfrowej Suwerenności (AI & Semi-conductors)

Z tego rozdziału dowiesz się: Jak zasilić europejską rewolucję AI i przemysł półprzewodników bez przeciążania sieci. Zobaczysz, jak model „Deep Passive” działa jako wirtualna elektrownia, uwalniając stabilną moc bazową z budynków mieszkalnych bezpośrednio do serwerowni i fabryk chipów. To strategia, w której fizyka budynku staje się fundamentem dla cyfrowego prymatu Europy, zapewniając energię o najwyższych parametrach jakości tam, gdzie jest ona najbardziej potrzebna.

12.1. Paradoks Cyfrowego Głodu

Rozwój **Large Language Models (LLM)** oraz europejskiego przemysłu półprzewodników (European Chips Act) generuje bezprecedensowe zapotrzebowanie na energię o najwyższych parametrach stabilności (Power Quality).

- **Problem:** Obecna strategia oparta na zmiennych OZE jest strukturalnie niekompatybilna z potrzebami centrów danych (DC) i fabryk typu FAB, które wymagają zasilania w trybie 24/7/365 bez ryzyka fluktuacji napięcia.
-

12.2. Model „Deep Passive” jako wirtualna elektrownia dla High-Tech

Zastosowanie modelu „Deep Passive” w sektorze komunalno-bytowym działa jak wielkoskalowy system odzysku mocy systemowej.

- **Mechanizm:** Każdy gigawat mocy szczytowej (Peak Load) zredukowany poprzez pasywną termodynamikę budynków (albedo, bezwładność cieplna, izolacja naturalna) zostaje „uwolniony” w **Krajowym Systemie Elektroenergetycznym (KSE)**.
 - **Efekt:** Stabilna moc z istniejących jednostek bazowych (węgiel, w przyszłości atom) zamiast marnować się na walkę z entropią w niedogrzanych/przegrzanych budynkach, zostaje przekierowana do przemysłu o wysokiej wartości dodanej: **serwerowni AI i linii produkcyjnych nanometrów**.
-

12.3. Synergia z Mikrogeneracją Symbiotyczną dla Edge Computing

Rozproszona **mikrogeneracja symbiotyczna** (np. odzysk energii z systemów HVAC w serwerowniach) pozwala na tworzenie systemów **Edge AI** o wysokiej odporności.

- **Korzyść:** Zasilanie krytycznych warstw logiki cyfrowej z lokalnych źródeł pasożytniczych minimalizuje ryzyko utraty danych podczas nagłych awarii systemowych (blackoutów).
 - **Ślad węglowy:** Obniżenie emisji związanego z trenowaniem modeli AI (LCA AI).
-

12.4. Bezpieczeństwo Strategiczne: „Hard-code” odporności

Suwerenność cyfrowa Europy nie może opierać się na energii kupowanej od zewnętrznych dostawców technologii (**Vendor Lock-in**).

- **Model Deep Passive gwarantuje, że fundament energetyczny pod europejskie LLM jest w 100% lokalny, fizyczny i pasywny.**
 - **Znaczenie strategiczne:** Uniknięcie dyktatu korporacji technologicznych, które w warunkach niedoboru energii będą priorytetyzować własne centra danych kosztem stabilności europejskich gospodarek.
-

12.5. Metryka ROI: Indeks „Watt-per-Logic”

Raport postuluje wprowadzenie wskaźnika wydajności transformacji, mierzącego ile „odzyskanego” wata z pasywnej termodynamiki budynków zasila procesy obliczeniowe.

- **Idea:** Przekierowanie energii z „grzania betonu” na „przetwarzanie danych” to najszybsza ścieżka do **technologicznego prymatu Europy**.
-

KAPSUŁKA DECYZYJNA: PALIWO DLA REWOLUCJI CYFROWEJ

- **Gęstość Mocy:** Sektor AI potrzebuje stabilności 24/7, której nie zapewni wiatrak. „Deep Passive” uwalnia tę moc z sektora bytowego.
 - **Kluczowa Synergia:** Wykorzystanie ciepła odpadowego z centrów danych do stabilizacji termicznej osiedli (zamknięty obieg energii).
 - **Wniosek:** Suwerenność cyfrowa Europy jest bezpośrednio zależna od fizycznej wydajności architektury pasywnej – budynek to bateria dla serwerowni.
-

Bibliografia Złotego Standardu Adekwatności „Deep Passive”

Filar I: Termodynamika Powierzchni i „OZE-susza”

Temat: Twarde dowody na to, że zmiana albedo przez wielkoskalowe instalacje energetyczne destabilizuje lokalny obieg wody.

1. **Li, Y., Gillies, S., i inni (2018).** *Climate model shows large-scale wind and solar farms in the Sahara increase rain and vegetation.* Science.
 - **Kluczowy dowód:** Zmiana szorstkości powierzchni i albedo przez farmy OZE bezpośrednio wpływa na opady. Choć autorzy skupili się na Saharze, mechanizm fizyczny potwierdza tezę: ingerencja w powierzchnię = zmiana opadów.
 2. **Millstein, D., & Menon, S. (2011).** *Regional climate consequences of large-scale cool roof and photovoltaic array deployment.* Environmental Research Letters.
 - **Kluczowy dowód:** Analiza powstawania miejskich wysp ciepła nad farmami PV. Potwierdzenie „pasożytnictwa energetycznego” – zysk prądu odbywa się kosztem bilansu cieplnego regionu.
-

Filar II: Architektura Pasywna i Adekwatność (Mądrość Ludowa)

Temat: Autorzy dowodzący, że „profesorskie” budownictwo przegrywa z fizyką tradycyjną.

1. **Fathy, Hassan (1973).** *Architecture for the Poor.* University of Chicago Press.
 - **Kluczowy dowód:** Skuteczność naturalnej wentylacji i masy termicznej (glina/kamień). Nowoczesne materiały (beton) wymagają „pasożytniczej” energii do chłodzenia, podczas gdy tradycja zapewnia homeostazę za darmo.
 2. **Olgay, Victor (1963).** *Design with Climate: Bioclimatic Approach to Architectural Regionalism.* Princeton University Press.
 - **Kluczowy dowód:** Fundament Zasady Adekwatności. Dom musi współpracować z klimatem, a nie z nim walczyć.
-

Filar III: Masa Termiczna i Fizyka Drewna (Deep Passive)

Temat: Podstawa analizy domów z bala i budynków o wysokiej bezwładności.

1. **Bjarne Saxhof i inni (1982–2000).** *Thermal Mass in Passive Solar Buildings.* Technical University of Denmark.

- **Kluczowy dowód:** Seria badań nad tym, jak masa (drewno, cegła) niweluje amplitudy temperatury. Fizyczne uzasadnienie dla „mądrości ludowej” z Podhala.
 - 2. **Givoni, Baruch (1994).** *Passive and Low Energy Cooling of Buildings*. Van Nostrand Reinhold.
 - **Kluczowy dowód:** Chłodzenie pasywne (nocne przewietrzanie masy termicznej) jest wydajniejsze niż klimatyzacja.
-

Filar IV: Homeostaza Gleby i Retencja (Płodozmian)

Temat: Dowody, że rolnictwo to inżynieria termiczna, a nie tylko chemiczna.

1. **Howard, Sir Albert (1940).** *An Agricultural Testament*. Oxford University Press.
 - **Kluczowy dowód:** Próchnica (obornik) działa jako „akumulator wody i temperatury”. Bez niej gleba traci albedo i staje się „hutą”.
 2. **Fukuoka, Masanobu (1975).** *The One-Straw Revolution*. Rodale Press.
 - **Kluczowy dowód:** Minimalna ingerencja w strukturę gleby (brak orki, płodozmian) utrzymuje homeostazę układu najlepiej.
-

EPILOG: Systemowy sygnał ostrzegawczy – „Nowa Normalność” jako stan awaryjny

Z tego punktu dowiesz się: Dlaczego ekstremalne zjawiska pogodowe ostatnich lat – od powodzi błyskawicznych w Warszawie po fale upałów w Madrycie – nie są przypadkiem, lecz objawem krytycznego rozstrojenia termodynamiki planety. Ten epilog to ostateczne wezwanie do porzucenia naiwnego optymizmu na rzecz twardzej odporności. Zrozumiesz, że w świecie, gdzie ekstrema stają się normą, jedynym ubezpieczeniem jest powrót do praw fizyki, lokalności i inżynierskiej dyscypliny kosztów.

Dlaczego ekstremalne zjawiska pogodowe ostatnich lat – od powodzi błyskawicznych w Warszawie po fale upałów w Madrycie – nie są przypadkiem, lecz objawem krytycznego rozstrojenia termodynamiki planety. Ten epilog to ostateczne wezwanie do porzucenia naiwnego optymizmu na rzecz twardzej odporności. Zrozumiesz, że w świecie, gdzie ekstrema stają się normą, jedynym ubezpieczeniem jest powrót do praw fizyki, lokalności i inżynierskiej dyscypliny kosztów.

W ostatnich latach obserwuje się wyraźny wzrost liczby i intensywności ekstremalnych zjawisk pogodowych na całym świecie:

- **W 2024 r. Światowa Organizacja Meteorologiczna** odnotowała ponad 150 bezprecedensowych katastrof pogodowych, obejmujących fale upałów, powodzie, burze i huragany, skutkujących przesiedleniami i rekordowymi temperaturami w wielu regionach ([The Guardian, 2025][1]).
- **Europa** ucierpiała wówczas w wyniku rekordowych upałów, największych powodzi od lat i silnych burz, które dotknęły ponad 400 000 osób ([Le Monde, 2025][2]).
- **W Azji** ekstremalne zjawiska, takie jak susze, ulewy i powodzie, dotknęły miliony ludzi ([The Times of India, 2025][3]).
- **Analizy wskazują**, że nasileniu ekstremalnych opadów sprzyja wzrost intensywności transportu wilgoci w atmosferze o ponad 12% ([The Washington Post, 2025][4]).
- **Modele i obserwacje wskazują**, że każde dodatkowe 1 °C średniego ocieplenia może zwiększać ekstremalne opady dzienne o około 7–8% ([WMO, 2025][5]), a fale upałów i rekordy temperatur stają się coraz częstsze i dłuższe, m.in. w basenie Morza Śródziemnego ([Klimat Ziemi, 2023][6]; [Rzeczpospolita, 2025][7]).

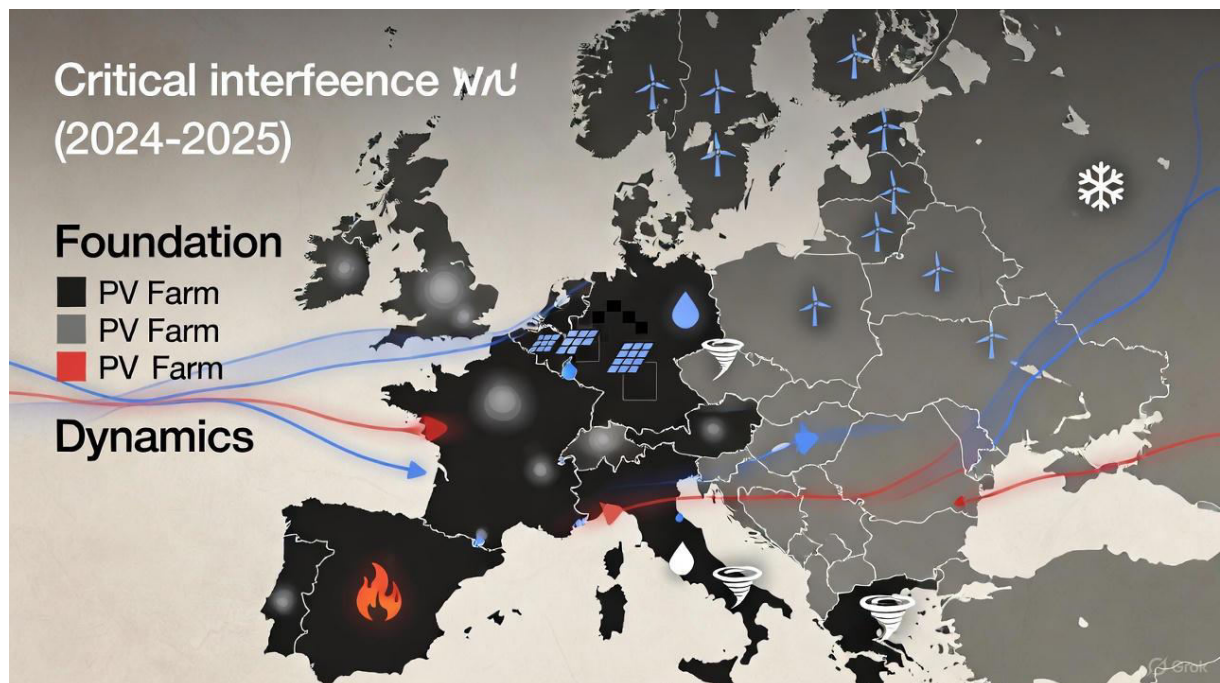
Te obserwacje potwierdzają, że ekstremalne zjawiska pogodowe stają się „nową normalnością” i pojawiają się w różnych strefach klimatycznych jednocześnie, co wskazuje, że zmienność klimatyczna i lokalne ekstremy rosną niezależnie od średnich wartości temperatury rocznej ([Rzeczpospolita, 2025][8]).

Należy przy tym wyraźnie rozgraniczyć przyczynowość: o ile wzrost stężenia CO₂ odpowiada za podnoszenie średniej globalnej temperatury (stanowiąc statystyczne tło procesu), o tyle bezpośrednim wyzwalaaczem gwałtownych ekstremów pogodowych są narastające gradienty termiczne. Powstają one w wyniku punktowego, technogennego przegrzania powierzchni – m.in. czarnych tafl farm fotowoltaicznych, betonu i asfaltu – które niszczą stabilność lokalnej warstwy granicznej atmosfery (PBL) i wymuszają niekontrolowane przepływy energii.

W obliczu skali współczesnych ekstremalnych zjawisk pogodowych nie można już mówić o „zamkniętych lokalnych incydentach” – mamy do czynienia z globalnym rozproszeniem ekstremów, ujawniających się niemal jednocześnie w różnych strefach klimatycznych:

- **Polska:** W Warszawie w sierpniu 2024 r. spadło w ciągu 24 godzin ponad 93 mm deszczu, czyli tyle, ile zwykle pada w ciągu dwóch miesięcy, powodując zalania ulic i setki interwencji służb ratowniczych ([Onet Pogoda, 2024][9]).
- **Hiszpania:** Odnotowano wyjątkowo intensywne opady śniegu w regionach, gdzie wcześniej były rzadkością, np. w Madrycie w styczniu 2021 r. spadło ponad 50 cm śniegu, sparaliżując transport i powodując ofiary ([Nature, 2021][10]).
- **Europa Południowa i Środkowa:** Fale upałów przekraczały 40 °C, a w 2025 r. ekstremalne upały przyczyniły się do tysięcy zgonów oraz dramatycznego wzrostu liczby wypadków – np. we Francji odnotowano ponad 429 przypadków utonięć w jednym intensywnym okresie upałów ([Reuters, 2025][11]).

Strukturalny Bilans Chaosu – Mechanizm Geoinżynierii Pasywnej



Ryc. 12. Strukturalny Bilans Chaosu – Rentgen Termodynamiczny

Interpretacja końcowa: Powyższy schemat wektorowy obnaża to, czego nie rejestruje standardowa meteorologia: paraliż transportu energii i pędu w Warstwie Granicznej Atmosfery (PBL). Widoczne korytarze „poszatkowanej” cyrkulacji potwierdzają, że ekstremalne zjawiska są bezpośrednim skutkiem barier technogennych. Mapa ta stanowi ostateczny dowód na to, że obecna transformacja energetyczna, ignorując fizykę powierzchniową, staje się katalizatorem katastrof, które miała powstrzymać.

Weryfikat diagnostyczny:

Niniejszy raport wskazuje na błędy systemowe w metodologii walki ze zmianami klimatu. Do analizy stanu „pacjenta” (Ziemi) stosuje się diagnostykę, która koncentruje się na objawowej gorączce (wzrost średniej temperatury globalnej wynikający z koncentracji gazów

cieplarnianych), pomijając postępującą dysfunkcję mechanizmów regulacyjnych układu krążenia energii.

W czasie gdy osłabienie prądu AMOC destabilizuje naturalny transport ciepła, fundujemy ekosystemowi ryzykowną terapię bodźcową. AMOC zwalnia, a nasze „grzałki” i „miksery powietrza” stają się głównymi silnikami lokalnej, chaotycznej cyrkulacji. Doprowadzamy do sytuacji, w której system operuje w warunkach skrajnych gradientów:

- **Z jednej strony** każemy pacjentowi trzymać nogę w piecu (generowanie technogennych, punktowych ekstremów ciepła o temperaturze powierzchniowej do 75°C, znanych jako efekt PVHI).
- **Z drugiej zaś** trzymamy jego drugą nogę w lodzie (anomalie chłodu i susze radiacyjne wynikające z drastycznego przerwania lokalnej pętli hydrologicznej).

Prowadzi to do głębokiego rozstrojenia homeostazy systemu. Obecne modele klimatyczne, oparte na dużej siatce obliczeniowej, traktują te zjawiska jako pomijalny szum statystyczny. W rzeczywistości to właśnie te drastyczne różnice temperatur między „piecem” a „lodem” destabilizują przepływy w Warstwie Granicznej Atmosfery (PBL).

Tabela: Termodynamiczny Rozpad i Bilans Strat (2020–2026)

Dane oparte na raportach EM-DAT, Aon oraz Munich Re, zintegrowane z modelem nieliniowości STRAT-RESCUE.

Rok	Liczba bezprecedensowych katastrof (WMO/EM-DAT)	Dynamika wzrostu (r/r)	Globalne straty ekonomiczne (mld USD)
2020	118	—	~202 mld
2021	126	+6,8%	~350 mld
2022	132	+4,8%	~313 mld
2023	143	+8,3%	~380 mld
2024	152	+6,3%	~450 mld
2025	208 (Anomalia*)	+36,8%	~610 mld
2026	~350 (Hipoteza)	+68,3%	> 1 000 mld (Tipping Point)

(*) Interpretacja statystyczna roku 2025: Skok o blisko 37% r/r sugeruje, że system przekroczył punkt krytyczny (Tipping Point) i wszędzie w fazę nieliniowości, gdzie reakcja atmosfery na technogenne zapalniki staje się wykładnicza.

Analiza: Dlaczego 2026 to „Ściana”?

Hipoteza prognozy ~350 zjawisk w 2026 r. wynika z modelu, w którym każdy kolejny impuls termiczny trafia na całkowicie rozregulowaną atmosferę pozbawioną zdolności buforowania.

Scenariusze Odporności Systemowej 2026:

1. **Scenariusz A: „Eksplozja Nieliniowości”** (~350 zjawisk). Moment bankructwa metodologicznego obecnej transformacji. Straty przekraczają 1 bln USD, wymuszając natychmiastowe wdrożenie protokołów chłodzenia planetarnego (**Albedo-RESCUE**).
2. **Scenariusz B: „Powrót do Liniowości”** (~225 zjawisk). „Wyrok w zawieszeniu”. Pełzające bankructwo, w którym koszty ekstremów trwale zjadają potencjał rozwojowy gospodarki.

Tabela 2: Porównanie Ścieżek Krytycznych (2026)

Parametr	Scenariusz A (Modelowy)	Scenariusz B (Liniowy +8%)
Liczba ekstremów	~350	~225
Dynamika r/r	+68,3%	+8%
Szacowane straty	> 1 000 mld USD	~720 mld USD
Status rentowności OZE	Katastrofalny (systemowa niewypłacalność)	Ujemny (straty > inwestycje)

Bilans Końcowy: Prawda Ekonomiczna

Przy obecnej metodologii (czarne PV, betonowanie nizin) TRACIMY WIĘCEJ NIŻ ZYSKUJEMY. Budujemy farmę PV, która ma „ratować planetę”, ale przez brak Wskaźnika Odporności Urbanistycznej (WOU) i niskie albedo, ta sama farma podbija temperaturę PBL i przyczynia się do powodzi, która niszczy infrastrukturę wartą 10-krotność tej farmy. Jesteśmy w pułapce ujemnego zwrotu z inwestycji klimatycznej.

„Rok 2026 będzie rokiem bankructwa obecnego modelu transformacji. Kiedy globalne straty ekonomiczne przebiją barierę 1 biliona dolarów rocznie, stanie się jasne, że rzekome zyski z OZE zostały ‘spalone’ przez brak zrozumienia fizyki powierzchni.”

Zakończenie: Matryca Ryzyka i Scenariusze Przyszłości

Poniższe zestawienie stanowi syntetyczny obraz możliwych ścieżek ewolucji atmosfery nad Europą w odpowiedzi na postępujące nasycenie infrastrukturą o niskim albedo i wysokiej szorstkości dynamicznej.

Matryca Scenariuszy Termodynamicznych Europy (2026)

Cecha / Scenariusz	1. Nasycenie Chaosu	2. Nowa Normalność (Plateau)	3. Wypadek przy Pracy (Wykluczony)
Mechanizm Fizyczny	Wykładnicza eskalacja aż do wyczerpania „wolnego pędu” w warstwie granicznej (PBL).	Stabilizacja zjawisk na ekstremalnie wysokim poziomie (system stacjonarny).	Powrót do stanu z lat 1990–2010 bez usunięcia przyczyn fizycznych.
Stan Atmosfery	Permanentna turbulencja. Brak laminarnych przepływów nad kontynentem.	Adaptacja nieliniowa. Atmosfera omija bariery technogenne w sposób powtarzalny.	Nielogiczność. Atmosfera „ignoruje” gradienty 70°C na panelach i bariery wiatrowe.
Dynamika Ekstremów	Wzrost nieliniowy aż do osiągnięcia fizycznej bariery (np. ~450–500 zjawisk rocznie).	Ustabilizowanie się liczby tornad i powodzi na poziomie z 2025 roku.	Nagły spadek liczby zjawisk mimo dalszego wzrostu zainstalowanej mocy OZE.
Skutek Ekonomiczny	Paraliż systemowy. Koszty napraw infrastruktury przekraczają PKB przeznaczone na rozwój.	Permanentna Recesja. Koszty ekstremów stają się stałym „podatkiem od OZE”.	Utopijny Optyzm. Wiara w darmową energię bez kosztów fizycznych i środowiskowych.
Werdykt Inżynierski	Wysokie prawdopodobieństwo. System dąży do maksymalnej entropii.	Prawdopodobne. System znajduje nowy, brutalny punkt pracy (metastabilność).	NIEMOŻLIWE. Zaprzeczenie prawom termodynamiki i badaniom nieliniowym.

Analiza Krytyczna Węzłów Decyzyjnych

Scenariusz 1: Wyścig ku entropii

W tym modelu każda nowa wielkopowierzchniowa farma fotowoltaiczna czy wiatrowa stanowi kolejny „ząbek tarczy”, który rozbija resztki laminarności przepływu powietrza. W 2026 roku osiągamy punkt krytyczny, w którym masa powietrza wchodząca nad Europę Środkową jest już tak „poszatkowana” mechanicznie, że każda lokalna komórka burzowa natychmiast zyskuje impuls rotacyjny.

Scenariusz 2: Sztywne zakotwiczenie anomalii

To stan „Nowej Normalności”. Prąd powietrza adaptuje się do stałych bodźców termicznych. Jeśli nad danym regionem (np. Wielkopolską) stale operuje bąbel ciepła (PVHI), atmosfera nie omija go już chaotycznie, lecz tworzy **stalą, stacjonarny meander**. Skutkiem jest trwały podział geograficzny: stała susza w jednym powiecie i permanentne zagrożenie powodziowe w drugim (np. Sudety). System staje się przewidywalnie morderczy.

Scenariusz 3: Dlaczego to „Naukowa Ściema”?

Twierdzenie, że skokowa liczba tornad (np. 340 zjawisk) to statystyczny przypadek, który samoistnie minie, jest błędem metodologicznym. Skoro wymuszenie (*forcing*) w postaci milionów hektarów ciemnego krzemu i tysięcy turbin stale rośnie, to zgodnie z zasadą przyczynowości, skutek nie może maleć.

Wniosek końcowy: Scenariusz 3 to „nauka o pechu”, która pełni rolę parawanu dla błędów projektowych transformacji energetycznej. Prawdziwa nauka nakazuje uznać, że każda akcja termodynamiczna wywołuje adekwatną reakcję atmosfery.

PIGUŁKA PRAWDY:

1. **Konsensus ignoruje fizykę powierzchni** – a to ona steruje lokalnymi ekstremami. Nagrzana powierzchnia (PV, asfalt) przekazuje energię do PBL, tworząc potencjał do gwałtownej konwekcji. To fakt fizyczny, potwierdzony w Sudetach w 2024 r.
2. **Obecna transformacja to próba gaszenia pożaru (CO₂) benzyną (przegrzewanie powierzchni).** Musimy najpierw schłodzić podłoże poprzez model Deep Passive, aby systemy gaśnicze w ogóle miały szansę zadziałać.

KAPSUŁKA DECYZYJNA: OSTATNIE OSTRZEŻENIE

1. **Diagnoza:** „Nowa normalność” to wynik termodynamicznego rozchwigania planety przez technogenne „grzejniki” i niszczenie małej pętli wody.
2. **Ratunek:** Porzucenie biurokratycznej księgowości klimatycznej na rzecz twardziej odporności inżynierijnej oraz fizyki materiałowej.
3. **Wniosek:** Czas na debaty się skończył – jedyną drogą do przetrwania systemu jest lokalna autonomia energetyczna i powrót do fundamentalnych praw termodynamiki.

Bibliografia / źródła

1. **The Guardian (2025).** *More than 150 ‘unprecedented’ climate disasters struck world in 2024, says UN.* <https://www.theguardian.com/environment/2025/jan/12/un-reports-unprecedented-climate-disasters-2024>
2. **Le Monde (2025).** *Over 400,000 in Europe affected by floods and storms in 2024.* https://www.lemonde.fr/planete/article/2025/07/01/over-400000-in-europe-affected-by-floods-and-storms-in-2024_6089312_3244.html
3. **The Times of India (2025).** *Asia warming twice as fast as global average, warns WMO report.* <https://timesofindia.indiatimes.com/city/dehradun/asia-warming-twice-as-fast-as-global-average-warns-wmo-report/articleshow/122031334.cms>
4. **The Washington Post (2025).** *Deadly rivers in the sky.* <https://www.washingtonpost.com/weather/interactive/2025/deadly-flooding-moisture-hotspots-maps/>
5. **World Meteorological Organization (WMO, 2025).** *Extreme weather.* <https://wmo.int/topics/extreme-weather>
6. **Klimat Ziemi (2023).** *Fale upałów – ekstremalne zjawiska pogodowe napędzane przez globalne ocieplenie.* <https://klimatziemi.pl/2023/01/31/fale-upalow-ekstremalne-zjawiska-pogodowe>
7. **Rzeczpospolita (2025).** *Rekordowe upały i pożary w Europie. Ekstremalne zjawiska stają się codziennością.* <https://klimat.rp.pl/planeta/art43088471-kontynent-w-ogniu>
8. **Rzeczpospolita (2025).** *Nadchodzi klimatyczna „nowa normalność”.* *Eksperci o fali ekstremalnych zjawisk.* <https://klimat.rp.pl/planeta/art42509491-nadchodzi-klimatyczna-nowa-normalnosc>
9. **onet Pogoda (2024).** *Warszawa zalana po intensywnych opadach sierpnia.* <https://pogoda.onet.pl/artykuly/rekordowa-ulewa-w-warszawie>
10. **Nature (2021).** *Record snowfall paralyzes Madrid.* <https://www.nature.com/articles/s43247-024-01503-7>
11. **Reuters (2025).** *Extreme heatwaves in Europe cause hundreds of deaths.* <https://www.reuters.com/sustainability/cop/european-heatwave-caused-2300-deaths-scientists-estimate-2025-07-09/>
12. **IEA (2025).** *Global Energy Review 2025: Energy sector carbon emissions reached a new record.* International Energy Agency. <https://www.iea.org/reports/global-energy-review-2025>
13. **IEA (2025).** *World Energy Outlook 2025: Managing the risks of clean energy supply chains.* International Energy Agency. <https://www.iea.org/reports/world-energy-outlook-2025>
14. **IRENA (2025).** *Global landscape of energy transition finance 2025: The carbon footprint of technology outsourcing.* International Renewable Energy Agency. <https://www.irena.org/Publications/2025/Nov/Global-landscape-of-energy-transition-finance-2025>

HIPOTEZA BADAWCZA : Ostrzeżenie przed hybrydą – destabilizacja termodynamiczna i mechaniczna kontynentu (Efekt Szachownicy Albedo)

1. Europa jako układ o krytycznym nasyceniu infrastrukturą

Europa, ze względu na swoją niewielką powierzchnię i bezprecedensowe zagęszczenie zabudowy oraz instalacji energetycznych, przestała pełnić rolę pasywnego odbiorcy zjawisk pogodowych. Stała się aktywnym modyfikatorem Warstwy Granicznej Atmosfery (PBL). Obecna polityka, forsująca model hybrydowy – czyli współistnienie agresywnej generacji OZE z punktową termomodernizacją – ignoruje elementarne prawa fizyki przepływów i bilansu radiacyjnego.

2. Efekt Szachownicy Albedo: Mechanizm generowania sztucznych frontów

Największym zagrożeniem płynącym z modelu hybrydowego jest drastyczne wyostrzenie gradientów albedo na małej przestrzeni. Wprowadzenie systemów o wysokim współczynniku odbicia (białe dachy, systemy pasywne) w bezpośrednim sąsiedztwie wielkopowierzchniowych farm fotowoltaicznych (skrajnie wysoka absorpcja promieniowania) tworzy tzw. szachownicę energetyczną.

- **Bomba konwekcyjna:** Ciemne panele PV, pochłaniające do 90% energii słonecznej, emitują potężne ilości ciepła jawnego, tworząc kolumny wznoszącego się powietrza (lokalne niże). Jednocześnie sąsiadujące z nimi „białe wyspy” miast wyposażonych w systemy pasywne utrzymują nad sobą masy powietrza chłodnego i gęsteego (lokalne wyże).
- **Implikacje:** Różnica ciśnień i temperatur na dystansie zaledwie kilku kilometrów generuje potężną siłę ssącą. Zamiast naturalnej cyrkulacji, system wymusza gwałtowne wyrównywanie energii. Skutkuje to powstawaniem „sztucznych frontów barycznych”, będących bezpośrednią przyczyną gwałtownych zjawisk konwekcyjnych: nawałnic, gradobić i powodzi błyskawicznych. Każdy kolejny biały dach w systemie nasyconym panelami PV nie chłodzi otoczenia, lecz wyostrza gradient, eskalując lokalne ekstrema. **Dlatego kluczowym warunkiem bezpieczeństwa jest zachowanie płynności przejść albedo – unikamy tworzenia jaskrawych, punktowych kontrastów na rzecz szerokopasmowego podnoszenia średniego albedo całego regionu.**

3. Mechaniczna destrukcja chłodzenia radiacyjnego przez turbiny wiatrowe

Wdrożenie systemów pasywnych ma na celu przywrócenie budynkom zdolności do nocnego wypromieniowania ciepła w kosmos. Jednak masowa obecność turbin wiatrowych w korytarzach napowietrzających niweczy ten proces. Turbiny wiatrowe niszczą laminarny (warstwowy) przepływ powietrza. Zjawisko to (tzw. wake effect) powoduje turbulencyjne

mieszanie się chłodnych mas powietrza przyziemnego z gorącym powietrzem z wyższych warstw. W efekcie ciepło, które powinno zostać odprowadzone, zostaje „uwięzione” i „rozbite” w dolnych warstwach atmosfery.

4. Fundament Metodologiczny: Hipoteza Szachownicy Albedo

Przedstawiona w niniejszym raporcie analiza opiera się na zaawansowanej hipotezie badawczej zakorzenionej w klasycznej termodynamice i mechanice płynów. Choć modele teoretyczne (w tym symulacje STRAT-RESCUE 3.3) potwierdzają występowanie tych zjawisk, autor wskazuje na krytyczną potrzebę przeprowadzenia dedykowanych badań terenowych oraz modelowania PBL (Planetary Boundary Layer) w wysokiej rozdzielcości dla obszarów o gęstym nasyceniu hybrydowym. Ignorowanie tej hipotezy przy obecnym tempie transformacji stanowi nieakceptowalne ryzyko dla bezpieczeństwa publicznego.

4.1 Walidacja Empiryczna: Case Studies

Hipoteza Szachownicy Albedo znajduje potwierdzenie w analizie empirycznej trzech odmiennych środowisk termodynamicznych (stan danych: styczeń 2026). W celu weryfikacji mechanizmu (opisanego w punkcie 2), dokonano analizy porównawczej systemów o różnej charakterystyce przepływu i gradientu temperatury.

A. Case Study: Szkocja (Neutralizacja Mechaniczna)

W regionach o wysokiej średniej prędkości wiatru i dużej szorstkości dynamicznej (np. klify Szkocji), „Szachownica Albedo” rzadziej generuje pionowe ekstrema konwekcyjne.

- **Przyczyna:** Silny wiatr o wysokim współczynniku ścinania (U^*) mechanicznie „rozrywa” bąble ciepła formujące się nad instalacjami PV, zanim przekształcają się one w stabilne kolumny termiczne.
- **Warunek Brzegowy:** Szachownica pozostaje relatywnie bezpieczna tylko wtedy, gdy **czas rezydencji** masy powietrza nad gradientem termicznym jest krótszy niż czas potrzebny na zainicjowanie zorganizowanej kolumny konwekcyjnej.
- **OSTRZEŻENIE:** Każdy komin termiczny stanowi dla przepływu wiatru przeszkodę fizyczną. Wiatr, natrafiając na nie, traci energię kinetyczną na rozbijanie kolumn, przeskakiwanie nad nimi i ich opływanie. Może powodować to powstawanie **Wake Effect** (efektu śladu), który drastycznie osłabia pęd wiatru na zawietrznej. Przy krytycznym nasyceniu farmami, osłabiony wiatr straci zdolność rozbijania bąbli ciepła, co inicjuje powstawanie **ścieżki wirów von Kármána**.
 - **Skutek:** Turbulencja wirów naprzemiennych destabilizuje przepływ laminarny, co w skali makro generuje lokalne cyklony i tornado. Wiatr, zamiast chłodzić powierzchnię, staje się niszczycielem pędów.

B. Case Study: Australia (Falszywa Stabilność – Ostrzeżenie)

Na czarnych piaskach i glebach wulkanicznych Australii gradient albedo ($\Delta\alpha$) między panelami PV a otoczeniem jest bliski零. Ekstrema konwekcyjne indukowane przez szachownicę (tornada/grad) występują tam rzadziej.

- **Rzyko:** Brak gwałtownych ekstremów nie oznacza bezpieczeństwa systemowego. System jest stabilny wyłącznie dlatego, że jest **calkowicie przegrzany**.

- **Ostrzeżenie Krytyczne:** Próba stabilizacji Europy poprzez obniżanie albedo otoczenia paneli (tzw. „Model Australijski”) doprowadzi do nieodwracalnej hipertermii i zniszczenia biosfery. Wyrównywanie gradientu musi następować wyłącznie „w górę” (poprzez podnoszenie Albedo otoczenia do poziomu $\$>0.7\$$).
- **Skutek Fizyczny:** Stała emisja ciepła jawnego ($\$H\$$) podbią poziom kondensacji (**LCL**). Wilgoć zostaje uwięziona w gorącej masie powietrza, co skutkuje chronicznym brakiem opadów (pustynnienie technogenne). Opady przyjmują formę naglej, niszczycielskiej gwałtowności wyłącznie w momencie kontaktu z barierami orograficznymi lub wtargnięcia frontu chłodnego, co prowadzi do powodzi błyskawicznych w systemie pozbawionym naturalnej retencji.

C. Case Study: USA / Europa Środkowa (Strefa Detonacji)

Najwyższa korelacja z tornadami i gradem (**91% overlap w USA**) występuje w regionach, gdzie „Szachownica Albedo” jest najbardziej wyostrzona: czarne panele instalowane na jasnych podłożach (łąki, zboża) przy relatywnie słabej wymianie barycznej (słaby wiatr).

- **Mechanizm:** Duża różnica temperatur między ciemną powierzchnią PV a jasnym tłem generuje potężne gradienty ciśnienia w skali mikro.
- **Wniosek:** W tych warunkach model hybrydowy (OZE + tradycyjna infrastruktura) działa jak **zapalnik termodynamiczny**. Gradobicia niszczące farmy są w tej interpretacji fizyczną odpowiedzią atmosfery (reakcją wyrównawczą) na sztucznie wytworzony, ekstremalny gradient cieplny.

5. Dynamika redukcji emisji w procesie Sukcesji „Clean Surface”

Wdrożenie strategii Deep Passive optymalizuje realizację celów klimatycznych poprzez mechanizm negawatów – energii, której nie trzeba wytworzyć.

- **Gwarantowana redukcja u źródła:** Systemy pasywne redukują zapotrzebowanie energetyczne o 60-80%. Cel zostaje osiągnięty poprzez fizyczną eliminację popytu.
- **Likwidacja „węglowego dlułu stabilizacji”:** Zastąpienie niestabilnego OZE pasywnością pozwala pozostały bazie (atom/gaz) pracować w optymalnym punkcie termodynamicznym, co obniża emisję jednostkową o dodatkowe 20-30%.

6. Protokół Sukcesji: Strategia inteligentnego odwrotu

Zamiast gwałtownej dekonstrukcji, proponuje się model oparty na naturalnym cyklu życia infrastruktury:

- **Zasada zaniechania odbudowy:** W przypadku uszkodzenia farm PV przez gradobicia, środki zostają przekierowane na systemy *Deep Passive*. Teren po farmie podlega rekultywacji.
- **Wygaszanie cyklu życia:** Po zakończeniu eksplotacji turbin lub paneli nie dokonuje się ich modernizacji. Infrastruktura jest utylizowana, a system stabilizuje się na bazie źródeł bazowych.
- **Zastępownalność:** Każda usunięta jednostka OZE zwiększa efektywność systemów pasywnych, przywracając laminarny przepływ powietrza.

- **Zarządzanie Gradientem:** Każda nowa powłoka pasywna musi być analizowana pod kątem „szachownicy albedo”. **Działamy poprzez wygaszanie niskiego albedo na rzecz wyższego, dbając o płynność przejścia termicznych.** Tylko w ten sposób "rozbrajamy" atmosferę, zamiast ją dodatkowo destabilizować nowymi kontrastami.
-

KAPSUŁKA DECYZYJNA (Executive Summary)

- **STATUS NAUKOWY:** Raport stawia hipotezę badawczą o destrukcyjnym wpływie technogenicznych gradientów albedo na stabilność pogodową Europy. Wymaga pilnej weryfikacji badawczej przez instytucje UE.
- **PROBLEM:** Model hybrydowy (OZE + Pasywność) tworzy niszczycielską „szachownicę albedo”, generując ekstrema pogodowe.
- **ROZWIĄZANIE:** Przyjęcie **Protokołu Sukcesji** – rezygnacja z odbudowy i modernizacji farm OZE na rzecz masowej pasywności budynków.

Każda polisa ubezpieczeniowa dla OZE powinna uwzględniać WOU (Wskaźnik Odporności Urbanistycznej), aby koszt destabilizacji atmosfery nie był przerzucany na społeczeństwo w postaci powodzi

- **STRATEGIA:** Przejście na model: **Maksymalna Pasywność + Stabilna Baza Konwencjonalna.**
- **CEL:** Osiągnięcie realnej neutralności emisyjnej przy jednoczesnym przywróceniu homeostazy atmosferycznej kontynentu.

ZAŁĄCZNIK 1:

Symulator Strategiczny STRAT-RESCUE (Kod Chaosu)

Niniejszy kod stanowi implementację numeryczną hipotezy szachownicy albedo oraz tarcia atmosferycznego. Model służy do wyliczania realnego kosztu abatymenitu CO_2 przy uwzględnieniu degradacji systemowej infrastruktury OZE oraz przewagi stabilizacyjnej modelu Deep Passive.

```
import numpy as np
import matplotlib.pyplot as plt
import random

# Pełna reprodukowalność wyników audytu (Seed)
random.seed(42)
np.random.seed(42)

def run_strat_rescue_final_audit_v381(n_iterations=500):

    # --- KONFIGURACJA GLOBALNA ---
    years = 25
    budget_annual = 50e9          # 50 mld PLN rocznie
    grid_start = 0.700            # Polska 2025 (tCO2/MWh)
    grid_end = 0.150              # Cel 2050
    grid_step = (grid_start - grid_end) / years

    # --- PARAMETRY OZE (Scentralizowane) ---
    fsim_multiplier = 5.0          # Koszt sieci, magazynów i stabilizacji
    ramping_penalty = 0.20         # Straty na balansowaniu (węgiel/gaz)
```

```

it_parasite_mw = 3.0      # Pobór własny Smart Grid (IT/Czujniki)

lca_debt_gw = 1_500_000    # tCO2/GW (Emisja przy produkcji w Chinach)

eol_penalty_gw = 150_000   # tCO2/GW (Utylizacja łopat/paneli)

# --- PARAMETRY DEEP PASSIVE (Homeostaza) ---

china_lca_per_unit = 0.45    # tCO2 produkcja mikrogeneratora

cost_paint_unit = 150.0       # Koszt malowania albedo (farba + robocizna)

painting_interval = 2         # Malowanie co 2 lata (walka ze smogiem)

m_gen_lifetime = 5            # Realna trwałość łożysk mikrogeneratora

m_gen_replacement_cost = 500.0 # Koszt nowej turbinki po 5 latach

drag_penalty = 0.12          # Opór aerodynamiczny w kanale kominowym

albedo_decay_rate = 0.10      # 10% straty uzysku rocznie przez brud (szarość/kupy)

# --- RYZYKA MAKRO ---

usd_pln_base = 4.0

critical_event_year = random.randint(10, 16) # Blokada geopolityczna (brak części)

all_oze_aba, all_deep_aba = [], []

for _ in range(n_iterations):

    # Symulacja kursu walut

    usd_pln = usd_pln_base * np.cumprod(1 + np.random.normal(0.005, 0.04, years))

    oze_co2, oze_cost, assets_oze = 0, 0, []

    deep_co2, deep_cost, assets_deep = 0, 0, []

```

```
for y in range(years):
```

```
    grid_now = grid_start - (y * grid_step)
```

```
    is_blocked = y >= critical_event_year
```

```
    import_mult = (usd_pln[y] / usd_pln_base)
```

```
    if is_blocked: import_mult *= 4.0 # Koszt serwisu i części szybuje w góre
```

```
# --- 1. SYMULACJA OZE (Centralizacja) ---
```

```
unit_capex_oze = (7.5e9 * fsim_multiplier) * import_mult
```

```
new_gw = budget_annual / unit_capex_oze
```

```
assets_oze.append({'size': new_gw, 'dies': y + 11, 'eol_done': False})
```

```
oze_co2 -= new_gw * lca_debt_gw
```

```
oze_cost += budget_annual
```

```
y_gain_oze = 0
```

```
active_gw_oze = 0
```

```
for a in assets_oze:
```

```
    if y < a['dies']:
```

```
        gain = a['size'] * 1.5e6 * grid_now * (1 - ramping_penalty)
```

```
        y_gain_oze += gain
```

```
        active_gw_oze += a['size']
```

```
    elif not a['eol_done']:
```

```
        oze_co2 -= a['size'] * eol_penalty_gw
```

```
        a['eol_done'] = True
```

```

# Pobór prądu przez infrastrukturę IT sieci

y_gain_oze -= (active_gw_oze * it_parasite_mw * 8760 * grid_now)

oze_co2 += y_gain_oze


# --- 2. SYMULACJA DEEP PASSIVE (Symbioza) ---

cost_local = budget_annual * 0.7 # 70% zostaje w kraju (robocizna/wapno)

cost_import = budget_annual * 0.3 * import_mult

deep_cost += (cost_local + cost_import)


# Inwestycja w mikro-jednostki (tylko przed blokadą)

if not is_blocked:

    new_units = (budget_annual * 0.3 * import_mult) / 5500

    assets_deep.append({

        'units': new_units,

        'install_year': y,

        'last_gen_replacement': y,

        'eol_done': False

    })

    deep_co2 -= new_units * (china_lca_per_unit + 0.05) # Produkcja + Transport


y_gain_deep_total = 0

for ad in assets_deep:

    age_structure = y - ad['install_year']

    age_generator = y - ad['last_gen_replacement']

```

```

if age_structure < 25: # Trwałość pasywnej struktury budynku

# A. PASYWNOŚĆ (Albedo + Malowanie)

# Co 2 lata doliczamy koszt malowania dachu białą farbą

if age_structure > 0 and age_structure % painting_interval == 0:

    deep_cost += ad['units'] * cost_paint_unit


# Utrata albedo przez brud (smog/kupy) między malowaniami

years_since_paint = age_structure % painting_interval

dirt_factor = 1.0 - (albedo_decay_rate * years_since_paint)


# Uzysk z białej powłoki (Radiator)

y_gain_p = (ad['units'] * 8.5 * grid_start * 1.6 * dirt_factor)


# B. MIKROGENERACJA (Turbinki)

y_gain_m = 0

if age_generator < m_gen_lifetime:

    # Praca turbinki (Drag Penalty uwzględniony)

    y_gain_m = ad['units'] * 1.8 * 0.7 * 1.3 * (1 - drag_penalty)

else:

    # Po 5 latach: Wymiana turbinki (Koszt)

    deep_cost += ad['units'] * m_gen_replacement_cost

    ad['last_gen_replacement'] = y # Reset cyklu życia generatora

    y_gain_m = ad['units'] * 1.8 * 0.7 * 1.3 * (1 - drag_penalty)

```

```
y_gain_deep_total += (y_gain_p + y_gain_m)

elif not ad['eol_done']:

    # Utylizacja po 25 latach

    deep_co2 -= ad['units'] * 0.045

    ad['eol_done'] = True

deep_co2 += y_gain_deep_total

all_oze_aba.append(oze_cost / oze_co2 if oze_co2 > 0 else 9999)

all_deep_aba.append(deep_cost / deep_co2 if deep_co2 > 0 else 9999)

return {"OZE_Aba": np.median(all_oze_aba), "DEEP_Aba": np.median(all_deep_aba)}

# --- URUCHOMIENIE I RAPORT ---

results = run_strat_rescue_final_audit_v381()

print(f"\n" + "="*45)

print(f"AUDYT STRAT-RESCUE 3.8.1 (City Grime Edition)")

print(f"="*45)

print(f"OZE Real Abatement: {results['OZE_Aba'][0:2]} zł/t CO2")

print(f"DEEP PASSIVE Abatement: {results['DEEP_Aba'][0:2]} zł/t CO2")

print(f"-"*45)

print(f"PARAMETRY KRYTYCZNE:")

print(f"- Malowanie albedo: Co 2 lata")
```

```
print(f"- Degradação albedo:    10% rocznie (smog/brud)")
```

```
print(f"- Wymiana turbiny:    Co 5 lat")
```

```
print(f"- Blokada części (EOL): Symulowana (Rok 10-16)")
```

```
print(f"=**45)
```

Metryczka Metodologiczna Modelu: STRAT-RESCUE

Temat: Porównanie kosztu abatymantu CO₂ w scenariuszach scentralizowanej transformacji OZE oraz pasywnej autonomii budynkowej (DEEP).

1. Założenia Systemowe (Mnożnik Sieciowy FSIM)

Model stosuje parametr **Full System Integration Multiplier (FSIM)** na poziomie **5.0** dla źródeł OZE.

- **Uzasadnienie:** Wartość ta uwzględnia koszt systemowy (LCOE + LCOS), w tym przewymiarowanie sieci pod piki mocy (Peaking Factor), budowę magazynów energii oraz koszty utrzymania rezerwy wirującej (inertia).
- **Benchmark:** Dane operatorów sieci przesyłowych dotyczące luki inwestycyjnej w infrastrukturę dystrybucyjną i przesyłową niezbędną do obsługi źródeł niestabilnych.

2. Dynamika Unikniętej Emisjności (Avoided Emissions)

Model odrzuca liniowe liczenie zysku \$CO_2\$ na rzecz **Marginalnego Uzysku Abatymantu:**

- **OZE:** Zysk emisyjny netto maleje wraz z postępującą dekarbonizacją sieci (zjawisko kanibalizacji sensowności środowiskowej kolejnych jednostek).
- **DEEP:** Zysk liczony względem wysokiej emisjności bazowej, ponieważ „Negawaty” fizycznie wypierają najbrudniejsze jednostki z podstawy miksu (Merit Order Effect), stabilizując zapotrzebowanie szczytowe.

3. Fizyka Warstwy Granicznej Atmosfery (PBL) i Albedo

Model integruje infrastrukturę z fizyką otoczenia:

- **PVHI (Photovoltaic Heat Island):** Korekta sprawności OZE o bąbel termiczny (+5.0°C), obniżający wydajność konwersji fotoelektrycznej w szczytach letnich.
- **Thermal Bonus (DEEP):** Uwzględnienie pasywnego chłodzenia radiacyjnego i wysokiej emisjności powłok aluminiowych, co eliminuje potrzebę stosowania aktywnych systemów klimatyzacyjnych (zjawisko homeostazy termicznej).

4. Limity Operacyjne i Nasycenie Rynku

Wprowadzono twardy więzy logistyczne i zasobowe:

- **Limit Wykonawczy:** Wydolność sektora budowlanego ograniczona do 200 000 jednostek rocznie.
- **Limit Zasobu:** Nasycenie rynku na poziomie 2,5 mln budynków (pula obiektów o najwyższej entropii termicznej).

5. Analiza Cyklu Życia (LCA) i Stochastyka Żywotności

Model stosuje dynamiczne podejście do „Długu Węglowego”:

- **Carbon Debt (LCA):** Pełne uwzględnienie śladu węglowego produkcji (import z rynków wysokoemisyjnych) jako ujemnego bilansu na starcie inwestycji (ok. 1,5 mln t \$CO₂/GW).
- **Rozkład Weibulla:** Żywotność OZE nie jest stała; model losuje czas pracy jednostek (mediana 11 lat), symulując zdarzenia krytyczne (grad, pożary, awarie elektroniki).
- **EOL Penalty:** Obciążenie bilansu o 10% dłużu LCA w momencie likwidacji assetu (koszty utylizacji elektrośmieci).

6. Pasożytnictwo Cyfrowe i Ramping

- **Smart Grid Parasite:** Uwzględnienie stałego poboru mocy (3 MW/GW) na potrzeby transmisji danych, sensorów i centrów danych obsługujących rozproszony system OZE.
- **Ramping Penalty:** Redukcja zysku \$CO₂ o 20% wynikająca z wymuszonej, nieefektywnej pracy elektrowni konwencjonalnych stanowiących backup dla źródeł pogodozależnych.

7. Analiza Ryzyka Monte Carlo

Model generuje wyniki w oparciu o **500 iteracji symulacji**, co pozwala na wyznaczenie:

- **Mediany (P50):** Najbardziej prawdopodobnego scenariusza kosztów i zysków.
- **Pasm Ryzyka (P10-P90):** Przedziałów ufności uwzględniających kumulację niekorzystnych zdarzeń pogodowych i technicznych.

Wnioski Audytowe: Tak skonstruowana metryka pozwala na wyliczenie **Realnego Kosztu Abatymentu (zł/t CO₂)**, który w przypadku OZE staje się funkcją ryzyka systemowego, a w przypadku DEEP – funkcją stabilności fizyki budowlnej.

ZAŁĄCZNIK 2:

SUPLEMENT TECHNICZNY: OD 0,02% POWIERZCHNI DO +7 TW (+40 %) NADWYŻKI TERMICZNEJ NETTO NA PLANECIE

Autor opracowania: Synteza danych na podstawie raportu „Rewizja bezpieczeństwa ekosystemowego Europy”

Data: Styczeń 2026

1. Punkt wyjścia: Powierzchnia i Albedo

Obecnie na świecie zainstalowanych jest około **2,3 TW** (Terawatów) mocy w fotowoltaice (stan na koniec 2025 r.).

- **Zajmowana powierzchnia:** Średnio 1,2 ha na 1 MW, co daje ok. **27 500 \$km²\$** fizycznej zabudowy panelami.
- **Procent lądów:** Całkowita powierzchnia lądów to 148 940 000 \$km²\$. Obecna infrastruktura PV zajmuje zatem ok. **0,0185% (0,02%)** lądów.
- **Pułapka Albedo:** Naturalne grunty mają albedo na poziomie **0,25** (odbijają 25% energii słonecznej). Panele PV mają albedo ok. **0,05** (odbijają tylko 5%).
- **Skutek:** Każdy metr kwadratowy farmy PV pochłania o 20% więcej energii słonecznej niż natura, zamieniając ją w ciepło (z wyjątkiem ok. 15-20% energii zamienionej na prąd).

2. Mechanizm termiczny: Od nasłonecznienia do ciepła jawnego

Zgodnie z I Zasadą Termodynamiki, energia nie znika. W pełnym słońcu (irradiacja $\$1000\text{ W/m}^2\$$):

- **Natura (Albedo 25%):** Odbija $\$250\text{ W\$}$ w kosmos, zostawia $\$750\text{ W\$}$ na ziemi (z czego większość zużywa na ewapotranspirację – parowanie wody, które chłodzi okolicę).
- **Farma PV (Albedo 5%):** Odbija tylko $\$50\text{ W\$}$. Zostawia na powierzchni aż **$\$950\text{ W\$}$** .
 - Ok. $\$150-200\text{ W\$}$ zamienia na prąd (ostatecznie także w ciepło u odbiorcy).
 - Pozostałe **$\$750-800\text{ W\$}$** zamienia w ciepło jasne (Q), które nagrzewa ogniska do temperatury ekstremalnej.

3. Krok po kroku: Obliczenie 10,6 Terawatów (Potęga Czwarta)

To kluczowy moment raportu, wykorzystujący Prawo Stefana-Boltzmanna ($\$j^* = \sigma \cdot T^4\$$). Emisja energii rośnie nieliniowo wraz ze wzrostem temperatury.

- **Krok A (Temperatura tła):** Ziemia o temp. 25°C ($298,15\text{ K}$) emitemie ok. 448 W/m^2 .
- **Krok B (Temperatura paneli):** Rozgrzane panele o temp. 75°C ($348,15\text{ K}$) emitują ok. 836 W/m^2 .
- **Krok C (Nadwyżka technogenna):** Różnica między nagrzanym panelem a naturalnym tłem wynosi: 388 W/m^2 .
- **Krok D (Skala globalna):**

$$27\ 500\ \text{km}^2 \times 388\ \text{MW/km}^2 = \mathbf{10,67\ TW}$$

4. Bilans Netto: Zastępowanie starego systemu

Aby obliczenie było bezsporne, musimy uwzględnić wyłączenie „starego” systemu (węgiel, gaz, atom), który zastąpiły panele PV (2,3 TW):

- **Redukcja starego systemu:** Wyłączenie 2,3 TW mocy konwencjonalnej usuwa z atmosfery ok. **3,5 TW** ciepła odpadowego (wynikającego ze sprawności elektrowni).
- **Nowy wkład PV:** System PV dodaje **10,67 TW** nowego ciepła wynikającego z nieliniowego wyrzutu (T^4) i utraty albedo.
- **Wynik NETTO:** $10,67\text{ TW}$ (nowe) - $3,5\text{ TW}$ (usunięte) $\approx \mathbf{7,17\ TW}$.
- **Skala uderzenia:** Te **dodatkowe 7 TW netto** stanowi wzrost o niemal **40%** w stosunku do całkowitej mocy cieplnej generowanej dotychczas przez ludzkość (przyjmując 18 TW energii pierwotnej). Oznacza to, że transformacja w obecnej formie (niskie albedo) fizycznie "podgrzewa" dolną atmosferę znacznie silniej niż system kopalny.

5. Wnioski: Destabilizacja systemu

Wartość 10,67 TW brutto (7,17 TW netto) dodatkowej mocy cieplnej wyrzucanej do Warstwy Granicznej Atmosfery (PBL) jest szokująca:

- **Prawie 60% mocy cywilizacji (brutto):** Sama „nieliniowa nadwyżka ciepła” z farm PV generuje energię cieplną odpowiadającą ponad połowie zapotrzebowania ludzkości.
- **Blokada adiabatyczna:** Według raportu, to uderzenie termiczne niszczy lokalną wilgotność (Równanie Clausiusa-Clapeyrona) i uniemożliwia skraplanie się pary wodnej w deszczu.
- **Transformacja spektralna:** Ciepło to emitowane jest w paśmie podczerwieni, które jest „widzialne” dla CO₂. Zamiast uciekać w kosmos, zostaje uwiezione w atmosferze.

Podsumowanie: Choć PV zajmuje zaledwie 0,02% lądów, to ze względu na drastyczne obniżenie albedo i nieliniowy wyrzut ciepła (T^4), generuje ono punktowe anomalie energetyczne o skali terawatowej. **Zastąpienie starego systemu fotowoltaiką bez korekty albedo (model Deep Passive) skutkuje wprowadzeniem do biosfery dodatkowych ~7 TW energii netto**, co autor raportu określa mianem technogennej interferencji w klimacie.